

UNIVERSIDADE FEDERAL DE SANTA CATARINA
PROGRAMA DE PÓS-GRADUAÇÃO EM ENGENHARIA ELÉTRICA

CONTROLE DE VELOCIDADE DO MOTOR MONOFÁSICO DE INDUÇÃO ALIMENTADO SOB
FREQUÊNCIA VARIÁVEL

TESE SUBMETIDA À UNIVERSIDADE FEDERAL DE SANTA CATARINA PARA OBTEN-
ÇÃO DO GRAU DE MESTRE EM ENGENHARIA

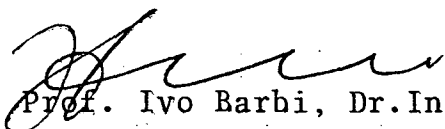
KLEIBER DAVID RODRIGUES

FLORIANÓPOLIS, DEZEMBRO 1982

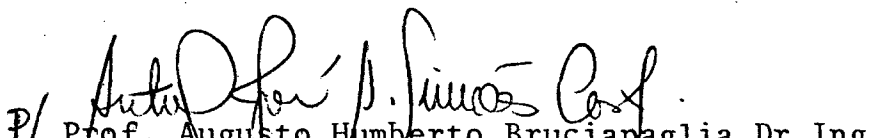
CONTROLE DE VELOCIDADE DO MOTOR MONOFÁSICO DE INDUÇÃO ALIMENTADA SOB
FREQUÊNCIA VARIÁVEL

KLEIBER DAVID RODRIGUES

ESTA DISSERTAÇÃO FOI JULGADA PARA A OBTENÇÃO DO TÍTULO DE MESTRE EM
ENGENHARIA, ESPECIALIDADE ENGENHARIA ELÉTRICA E APROVADA EM SUA FOR
MA FINAL PELO CURSO DE PÓS-GRADUAÇÃO.

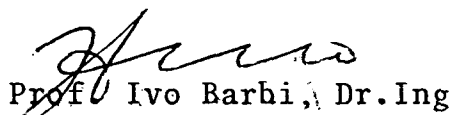


Prof. Ivo Barbi, Dr.Ing.
ORIENTADOR

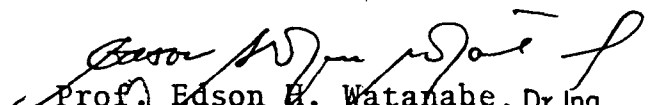


P/ Prof. Augusto Humberto Bruciapaglia, Dr.Ing.
Coordenador do Curso de Pós-Graduação em
Engenharia Elétrica

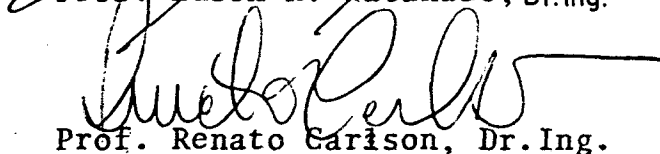
BANCA EXAMINADORA



Prof. Ivo Barbi, Dr.Ing



Prof. Edson H. Watanabe, Dr.Ing.



Prof. Renato Carison, Dr.Ing.

À minha esposa ,meus pais
e minha filha.

AGRADECIMENTOS

Ao Prof. Ivo Barbi, pela abnegada dedicação.

Aos meus colegas, amigos e professores que contribuíram para a realização deste trabalho, em especial aos Professores Denizar Cruz Martins e Jorge Dantas Melo.

Aos Professores componentes da Banca Examinadora.

Ao Programa CAPES - PICD e à Universidade Federal de Santa Catarina pelo apoio financeiro.

À minha esposa Valquíria pela paciência e incentivo.

RESUMO

Este trabalho trata do estudo do comportamento do motor monofásico de indução alimentado por fonte de tensão e frequência variáveis, com o objetivo de controlar a sua velocidade.

São apresentados modelos para o estudo do motor em regimes permanente e transitório e programas para análise do seu comportamento, a partir dos modelos.

É realizado estudo do comportamento do fluxo magnético; são obtidas expressões que estabelecem vínculos entre a tensão de alimentação, a frequência de alimentação e os parâmetros do motor, para manter o fluxo constante.

A questão da estabilidade do motor é abordada, sendo apresentados métodos simples para o controle indireto do torque desenvolvido.

Todos os resultados teóricos são comparados experimentalmente, com o emprego de um protótipo de laboratório de 1/2 H.P.

ABSTRACT

This work investigates the behavior of the single-phase induction motor as fed by a variable voltage and frequency source. The purpose is primarily to control the motor's speed.

Models for both transient and steady-state conditions are presented, and computer programs based on these models have been developed to study the performance of the motor.

The behavior of the magnetic flux has been investigated. Also, equations relating the source voltage and frequency and motor parameters, in order to keep a constant flux have been established.

The problem of motor stability is also studied, and simple methods for indirect torque control are presented.

All theoretical results are experimentally verified through the use of a 1/2 HP laboratory prototype.

SIMBOLOGIA

- a - relação de transformação estator-rotor
- E - tensão contínua
- E_g - tensão gerada
- E_{REF} - tensão referência
- f_s - frequência de alimentação
- f_r - frequência do rotor
- I_a - corrente da armadura da máquina de corrente contínua
- I_r^s - corrente do rotor no eixo direto (valor eficaz)
- I_{REF} - corrente de referência
- I_r^q - corrente do rotor do eixo em quadratura (valor eficaz)
- I_r^{*q} - complexo conjugado de I_r^q
- I_{rt} - corrente de alimentação do motor, com rotor travado
- I_r⁺, I_r⁻ - componentes de seqüências positiva e negativa da corrente do rotor
- i_r^d - corrente do rotor no eixo direto (valor instantâneo)
- I_s - corrente do estator
- I_s^d - corrente do estator no eixo direto (valor eficaz)
- I_s^q - corrente do estator no eixo em quadratura (valor eficaz)
- I_s⁺, I_s⁻ - componentes de seqüências positiva e negativa da corrente do estator
- I_s^o, I_s^α, I_s^β - componentes oαβ da corrente do estator
- i_s - corrente do estator (valor instantâneo)

i_s^d	- corrente do estator no eixo direto (valor instantâneo)
i_s^q	- corrente do estator no eixo em quadratura (valor instantâneo)
I_{vazio}	- corrente de alimentação do motor, a vazio
K	- constante entre a tensão e a frequência de alimentação
L_s	- indutância cíclica do estator
L_r	- indutância cíclica do rotor
l_1	- indutância de dispersão do estator
l_2	- indutância de dispersão do rotor referida ao estator
m	- indutância magnetizante
m_{sr}	- indutância mútua cíclica estator-rotor
N	- número de espiras
N_s	- número de espiras do estator
N_B	- número de espiras da bobina de sondagens
n	- número de pares de polos
n_1	- relação entre velocidade mecânica e velocidade síncrona
P_e	- perdas na fonte de tensão (E)
P_i	- perdas no inversor
P_j	- perdas Joule
P_{mec}	- perdas mecânicas
P_{rt}	- potência com rotor travado
p	- símbolo de derivada
R	- resistência de carga

- R_e - resistência equivalente
 R_r - resistência do rotor
 R_s, R_1 - resistências do estator
 R_2 - resistências do rotor referida ao estator
 s - escorregamento
 T - torque
 T_{nom} - torque nominal
 t - tempo
 V - tensão de alimentação
 V_B - tensão na bobina de sondagem
 V_m - máxima tensão de pico na bobina de sondagem
 V_{nom} - tensão de alimentação nominal
 V_{rt} - tensão de alimentação com rotor travado
 v_s^d - tensão do estator no eixo direto
 v_s^q - tensão do estator no eixo em quadratura
 \bar{V}_s^+, \bar{V}_s^- - componentes de seqüências positiva e negativa da tensão
 X_e - reatância equivalente
 X_m - reatância de magnetização
 $X_{m_{sr}}$ - reatância cíclica estator-rotor
 X_r - reatância do rotor
 X_s, X_1 - reatâncias do estator
 X_2 - reatância de dispersão do rotor referida ao estator

- $[Z]$ - matriz impedância
 $[Z_c]^t$ - matriz dos cofatores de $[Z]$, transposta
 Z_e - impedância equivalente
 Z_1 - impedância do estator
 α - relação de transformação estator-bobina de sondagem
 ΔV - queda de tensão do estator
 θ' - velocidade do rotor
 λ - fluxo real medido
 λ_c - fluxo real calculado
 \emptyset - fluxo concatenado
 \emptyset_c - fluxo concatenado calculado
 $\emptyset_r^0, \emptyset_r^\alpha, \emptyset_r^\beta$ - componentes $\alpha\beta$ do fluxo do rotor
 $\emptyset_s^0, \emptyset_s^\alpha, \emptyset_s^\beta$ - componentes $\alpha\beta$ do fluxo do estator
 ψ' - velocidade do eixo de referência
 ω - pulsação da tensão na saída do inversor
 ω_m - velocidade mecânica
 ω_r - pulsação da corrente do rotor
 ω_s - velocidade síncrona

SUMÁRIO

SIMBOLOGIA	vii
INTRODUÇÃO	01
CAPÍTULO 1 - MODELOS DO MOTOR MONOFÁSICO DE INDUÇÃO	
1.1. Introdução	03
1.2. Modelo generalizado de Park da máquina de indução polifásica	03
1.3. Modelo generalizado de Park para o motor monofásico de indução	05
1.4. Modelo para regime permanente, alimentação senoidal, a partir do modelo de Park - circuito equivalente	06
1.5. Modelo clássico para o motor monofásico de indução em regime permanente - circuito equivalente	08
1.6. Conclusões	11
CAPÍTULO 2 - ANÁLISE DO MOTOR MONOFÁSICO DE INDUÇÃO, FREQUÊNCIA VARIÁVEL, ALIMENTAÇÃO SENOIDAL, EM REGIME PERMANENTE, LEI TENSÃO-FREQUÊNCIA DE ALIMENTAÇÃO LINEAR	
2.1. Introdução	12
2.2. Equações da corrente do estator e do rotor	12
2.3. Equação da corrente do estator em função da velocidade do motor	14
2.4. Expressão do torque em função da velocidade	17
2.5. Equação do fluxo concatenado em função da velocidade do motor	19
2.6. Obtenção das características do motor utilizado	22
2.7. Análise das características obtidas	28
2.8. Verificação experimental do comportamento do fluxo	28
2.8.a. - Método para obtenção do fluxo em laboratório	28
2.8.a.1. - Filtro duplo estágio	29
2.8.a.2. - Bobinas de sondagem	30
2.8.a.3. - Taco-gerador de corrente contínua	30
2.8.a.4. - Forma de onda do fluxo nos terminais da bobina de sondagem	30
2.8.b. - Obtenção do fluxo concatenado em laboratório	31
2.8.c. - Obtenção do número de espiras do enrolamento do estator	33

2.8.d. Obtenção do fluxo real calculado	35
2.9. Comparação entre o fluxo real medido e o fluxo real calculado	36
2.10. Conclusões	38
CAPÍTULO 3 - ESTUDO DA LEI TENSÃO-FREQÜÊNCIA DE ALIMENTAÇÃO	
3.1. Introdução	39
3.2. Lei tensão-freqüência de alimentação para manter o fluxo constante	39
3.3. Obtenção da lei tensão-freqüência de alimentação simplificada	44
3.4. Características torque-velocidade, com lei tensão-freqüência de alimentação para fluxo constante	45
3.5. Conclusões	48
CAPÍTULO 4 - COMPORTAMENTO EM REGIME PERMANENTE, ALIMENTAÇÃO RE TANGULAR, FREQÜÊNCIA VARIÁVEL	
4.1. Introdução	49
4.2. Tensão na saída do inversor	49
4.3. Obtenção do modelo de estado do motor monofásico de indução	52
4.4. Simulação das equações do motor	55
4.4.1. Simulação do motor monofásico de indução, alimentação senoidal.....	55
4.4.2. Simulação do motor monofásico de indução alimentado por inversor.....	57
4.5. Análise dos resultados obtidos na simulação.....	64
4.6. Obtenção da corrente do estator em laboratório.....	64
4.7. Valor de pico da corrente do estator.....	67
4.8. Conclusões	67
CAPÍTULO 5 - ESTUDO DO CONTROLE DO TORQUE MÁXIMO	
5.1. Introdução.....	71
5.2. Relação entre torque e a corrente contínua na entrada do inversor.....	73
5.3. Relação entre o torque e a freqüência do rotor.....	75
5.4. Estudo experimental do torque em função da corrente contínua na entrada do inversor	78
5.5. Torque em função da corrente contínua na entrada do inversor, para fluxo corrigido	81

5.6. Conclusões	83
CAPÍTULO 6 - ESTUDO EXPERIMENTAL DO CONTROLE DO TORQUE SOB CONDIÇÕES TRANSITÓRIAS	
6.1. Introdução	84
6.2. Descrição do ensaio e resultados	84
6.3. Interpretação dos resultados experimentais	89
6.4. Conclusões	89
CONCLUSÕES	90
APÊNDICE A	91
APÊNDICE B	98
APÊNDICE C	99
REFERÊNCIAS BIBLIOGRÁFICAS	100

INTRODUÇÃO

Classicamente, quando se deseja um acionamento à velocidade variável, tem-se empregado os motores de corrente contínua, devido a sua facilidade de controle.

Contudo, alguns fatores, tais como, custo elevado, manutenção frequente, vida útil curta, incapacidade de operar com velocidades, correntes e potências elevadas, inadequação a atmosferas empoeiradas ou explosivas, limitam o seu emprego.

Em substituição ao motor de corrente contínua, tem-se empregado o motor de indução alimentado com frequência variável. Com esse tipo de alimentação ele apresenta características análogas ao motor de corrente contínua, sem os inconvenientes acima citados, apesar de exigir comandos muito mais complexos a nível de estrutura de conversor estático de potência e circuitos auxiliares.

Além disso, quando se trata de potências fracionárias, o custo relativo do conversor torna-se muito elevado em relação ao custo do motor, aliado ao fato que comumente, nesses casos, o motor empregado é o monofásico.

Nesses casos, em que a carga exige apenas motores de potência fracionária, a obtenção de velocidade variável a partir de motor monofásico com frequência variável, foi proposto como uma opção interessante, no seio do grupo de pesquisa que constitui o LAMEP (Laboratório de Máquinas Elétricas e Eletrônicas de Potência) da UFSC.

Espera-se com isto reduzir a complexidade a nível eletrônico, reduzir o custo relativo do conversor em relação ao custo do motor e reduzir o custo total do sistema.

Neste trabalho são apresentados os estudos realizados com o objetivo mencionado, ou seja, controlar a velocidade do motor monofásico de indução por meio de frequência de alimentação variável.

CAPÍTULO 1

MODELOS DO MOTOR MONOFÁSICO DE INDUÇÃO1.1. Introdução:

Neste capítulo, será feito um estudo de alguns modelos do motor monofásico de indução, os quais serão apresentados com a finalidade de atender as necessidades básicas deste trabalho, não havendo, portanto, uma preocupação com o desenvolvimento e a origem dos mesmos.

1.2. Modelo Generalizado de Park da Máquina de Indução Polifásica:

O modelo generalizado de Park para a máquina de indução polifásica é dado por [1]:

$$\begin{bmatrix} v_s^d \\ v_s^q \\ v_r^d \\ v_r^q \end{bmatrix} = \begin{bmatrix} R_s + pL_s & -L_s\psi' & pm_{sr} & -m_{sr}\psi' \\ L_s\psi' & R_s + pL_s & m_{sr}\psi' & pm_{sr} \\ pm_{sr} & -nm_{sr}(\psi' - \theta') & R_r + pL_r & -nL_r(\psi' - \theta') \\ nm_{sr}(\psi' - \theta') & pm_{sr} & nL_r(\psi' - \theta') & R_r + pL_r \end{bmatrix} \begin{bmatrix} i_s^d \\ i_s^q \\ i_r^d \\ i_r^q \end{bmatrix} \quad (1.1.a)$$

$$T = nm_{sr} (i_s^q i_r^d - i_s^d i_r^q) \quad (1.1.b)$$

- v_s^d e i_s^d tensão e corrente do estator no eixo direto
 v_s^q e i_s^q tensão e corrente do estator no eixo em quadratura
 v_r^d e i_r^d tensão e corrente do rotor no eixo direto
 v_r^q e i_r^q tensão e corrente do rotor no eixo em quadratura

R_S	resistência do estator
R_R	resistência do rotor
L_S	indutância cíclica do estator
L_R	indutância cíclica do rotor
p	símbolo de derivada
ψ'	velocidade dos eixos de referência
θ'	velocidade do rotor
n	número de pares de polos
T	torque instantâneo

O sistema de equações apresentado é uma representação do esquema que se sugere, figura (1.1.), onde:

S_α e S_β são eixos estacionários
 d e q são eixos de referência que giram a uma velocidade ψ' .

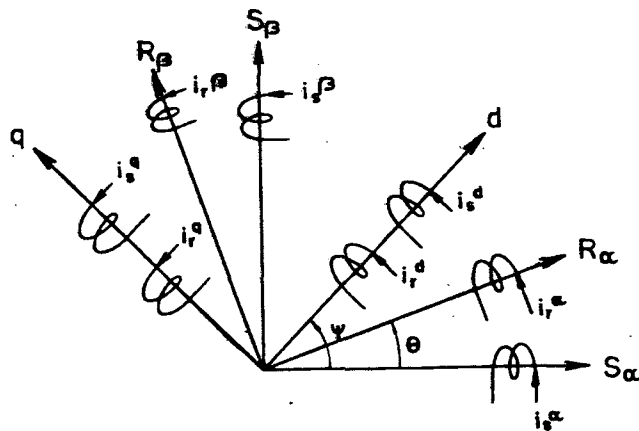


Figura 1.1. - Esquema da máquina de indução polifásica (modelo de Park generalizado)

Este modelo generalizado de Park para o motor de indução polifásico, será utilizado para se obter o modelo generalizado do motor de indução monofásico.

1.3. Modelo generalizado de Park para o Motor Monofásico de Indução:

Tomando a equação (1.1.a) e o esquema do motor monofásico de indução da figura 1.2.,

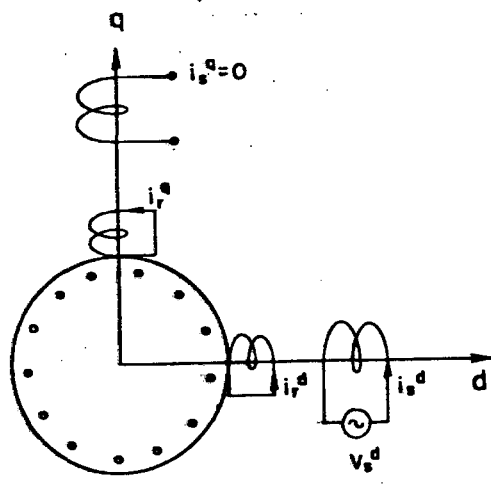


Figura 1.2. - Esquema do motor monofásico de indução

sabendo que:

- A corrente no eixo em quadratura é nula, pois o enrolamento está aberto;
- A tensão no eixo em quadratura não interfere no sistema, podendo ser desprezada;
- Sendo o rotor do motor de indução monofásico do tipo Gaiola, as tensões rotóricas do eixo direto e em quadratura, são nulas.

Assim, o modelo para regimes transitórios do motor monofásico de indução será [1]:

$$\begin{bmatrix} v_s^d \\ 0 \\ 0 \end{bmatrix} = \begin{bmatrix} R_s + pL_s & pm_{sr} & -m_{sr} \psi' \\ pm_{sr} & R_r + pL_r & -nL_r(\psi' - \theta') \\ nm_{sr}(\psi' - \theta') & nL_r(\psi' - \theta') & R_r + pL_r \end{bmatrix} \begin{bmatrix} i_s^d \\ i_r^d \\ i_r^q \end{bmatrix} \quad (1.2.a)$$

$$T = n m_{sr} (i_s^d \ i_r^q) \quad (1.2.b)$$

1.4. Modelo para Regime Permanente, alimentação Senoidal a partir do Modelo de Park - Circuito Equivalente:

Para obtenção do modelo do motor monofásico de indução em regime permanente, toma-se o modelo transitório, fazendo as seguintes considerações:

- Referência no estator ($\psi' = 0$)
- Regime permanente, alimentação senoidal, daí:

$$\theta' = \omega_m$$

$$p = j\omega$$

$$n = \frac{\omega}{\omega_s}$$

$$\omega_s = \frac{120 \cdot f_s}{\text{número de polos}}$$

$$n_1 = \frac{\omega_m}{\omega_s}$$

$$v_s^d = V$$

$$i_s^d = I_s^d$$

$$i_r^d = I_r^d$$

$$i_r^q = I_r^q$$

Obtem-se, assim [1]:

$$\begin{bmatrix} V \\ 0 \\ 0 \end{bmatrix} = \begin{bmatrix} R_s + jX_s & jX_{m_{sr}} & 0 \\ jX_{m_{sr}} & R_r + jX_r & n_1 X_r \\ -\bar{n}_1 X_{m_{sr}} & -n_1 X_r & R_r + jX_r \end{bmatrix} \begin{bmatrix} I_s^d \\ I_r^d \\ I_r^q \end{bmatrix} \quad (1.3.a)$$

$$T = n m_{sr} R (I_r^{*q} I_s^d) \quad (1.3.b)$$

Sendo:

ω_m	velocidade mecânica
ω	pulsação da tensão de alimentação
ω_s	velocidade de sincronismo
f_s	freqüência de alimentação
V	tensão de alimentação em regime permanente, alimentação senoidal (valor eficaz)
I_s^d	corrente do estator do eixo direto, para regime permanente, alimentação senoidal
I_r^d	corrente do rotor de eixo direto, para regime permanente, alimentação senoidal
I_r^q	corrente do rotor do eixo em quadratura, para regime permanente, alimentação senoidal
n	número de pares de polos
R_s	resistência do estator
R_r	resistência do rotor
X_s	reatância cíclica do estator
X_r	reatância cíclica do rotor
$X_{m_{sr}}$	reatância de magnetização
I_r^{*q}	complexo conjugado de I_r^q

A equação (1.3.b) é a expressão do torque para grandezas fasoriais.

O circuito equivalente para o modelo de Park do motor monofásico de indução em regime permanente, alimentação senoidal está re

presentado na figura (1.3.) [3].

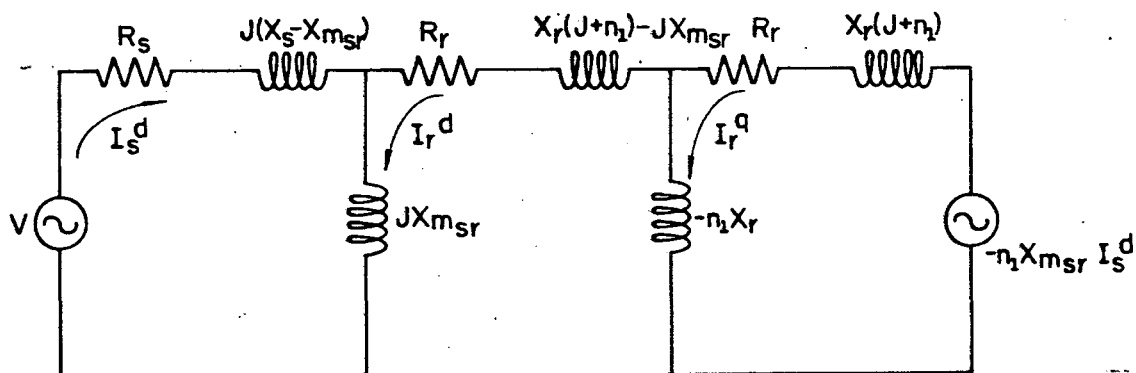


Figura 1.3. - Circuito equivalente do motor de indução monofásico em regime permanente, alimentação senoidal, a partir do modelo de Park.

1.5. Modelo clássico para o motor monofásico de Indução em regime permanente - circuito equivalente:

As equações de tensão em componentes simétricas para o motor trifásico de indução ou bifásico desbalanceado são [1]:

$$\bar{V}_s^+ = (R_s + j\omega_s L_s) \bar{I}_s^+ + j\omega_s \cdot m_{sr} \cdot \bar{I}_r^+ \quad (1.4.a)$$

$$0 = j\omega_s m_{sr} \cdot \bar{I}_s^+ + \left(\frac{R_r}{s} + j\omega_s L_r \right) \bar{I}_r^+ \quad (1.4.b)$$

$$\bar{V}_s^- = (R_s + j\omega_s L_s) \bar{I}_s^- + j\omega_s \cdot m_{sr} \cdot \bar{I}_r^- \quad (1.4.c)$$

$$0 = j\omega_s \cdot m_{sr} \bar{I}_s^- + \left[\frac{R_r}{(2-s)} + j\omega_s \cdot L_r \right] \bar{I}_r^- \quad (1.4.d)$$

Como:

$$\bar{V}_s^+ = \frac{V_s^d + jV_s^q}{\sqrt{2}} \quad (1.5.)$$

$$\bar{V}_s^- = \frac{V_s^d - jV_s^q}{\sqrt{2}} \quad (1.6.)$$

$$\bar{I}_s^+ = \frac{I_s^d + jI_s^q}{\sqrt{2}} \quad (1.7.)$$

$$\bar{I}_s^- = \frac{I_s^d - jI_s^q}{\sqrt{2}} \quad (1.8.)$$

Para o motor monofásico de indução, $I_s^q = 0$, daí:

$$\bar{I}_s^+ = \bar{I}_s^- = \frac{I_s^d}{\sqrt{2}} \quad (1.9.)$$

Adicionando \bar{V}_s^+ e \bar{V}_s^- , e fazendo $V_s^d = V$:

$$\bar{V}_s^+ + \bar{V}_s^- = \sqrt{2} \cdot V \quad (1.10.)$$

Mas:

$$\bar{V}_s^+ = \bar{Z}^+ \bar{I}_s^+$$

$$\bar{V}_s^- = \bar{Z}^- \bar{I}_s^-$$

Então:

$$\bar{V}_s^+ + \bar{V}_s^- = \bar{Z}^+ \bar{I}_s^+ + \bar{Z}^- \bar{I}_s^- \quad (1.11.)$$

Substituindo as equações (1.9.) e (1.10) em (1.11.):

$$\begin{aligned} \sqrt{2} \cdot V &= (\bar{Z}^+ + \bar{Z}^-) \cdot \frac{I_s^d}{\sqrt{2}} \\ V &= \frac{(\bar{Z}^+ + \bar{Z}^-)}{2} \cdot I_s^d \end{aligned} \quad (1.12.)$$

O circuito equivalente obtido a partir dessas expressões está representado na figura (1.4.) [1], [2], [3].

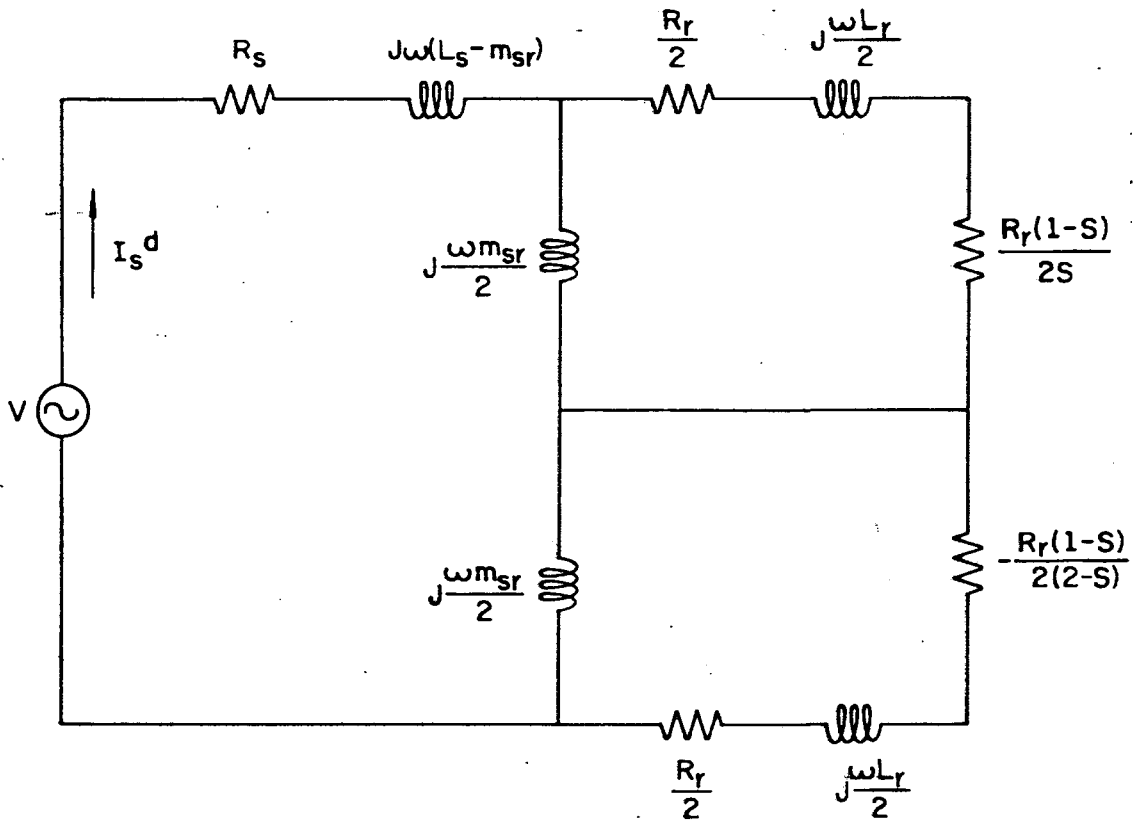


Figura 1.4. - Circuito equivalente do motor monofásico de indução em regime permanente, alimentação senoidal, utilizando parâmetros cíclicos.

Como os parâmetros de dispersão do motor são:

$$l_1 = L_s - am_{sr} \quad \text{indutância de dispersão do estator.}$$

$$l_2 = a^2 L_r - am_{sr} \quad \text{indutância de dispersão do rotor referida ao estator}$$

$$m = am_{sr} \quad \text{indutância de magnetização}$$

$$\frac{R_r}{s} = \frac{a^2 R_r}{s} \quad \text{resistência do rotor referido ao estator}$$

$$R_1 = R_s \quad \text{resistência do estator}$$

a relação de transformação estator-rotor que será considerada igual a um, porque todas as medidas foram feitas a partir do estator.

Então o circuito equivalente em termos de parâmetros de dispersão será:

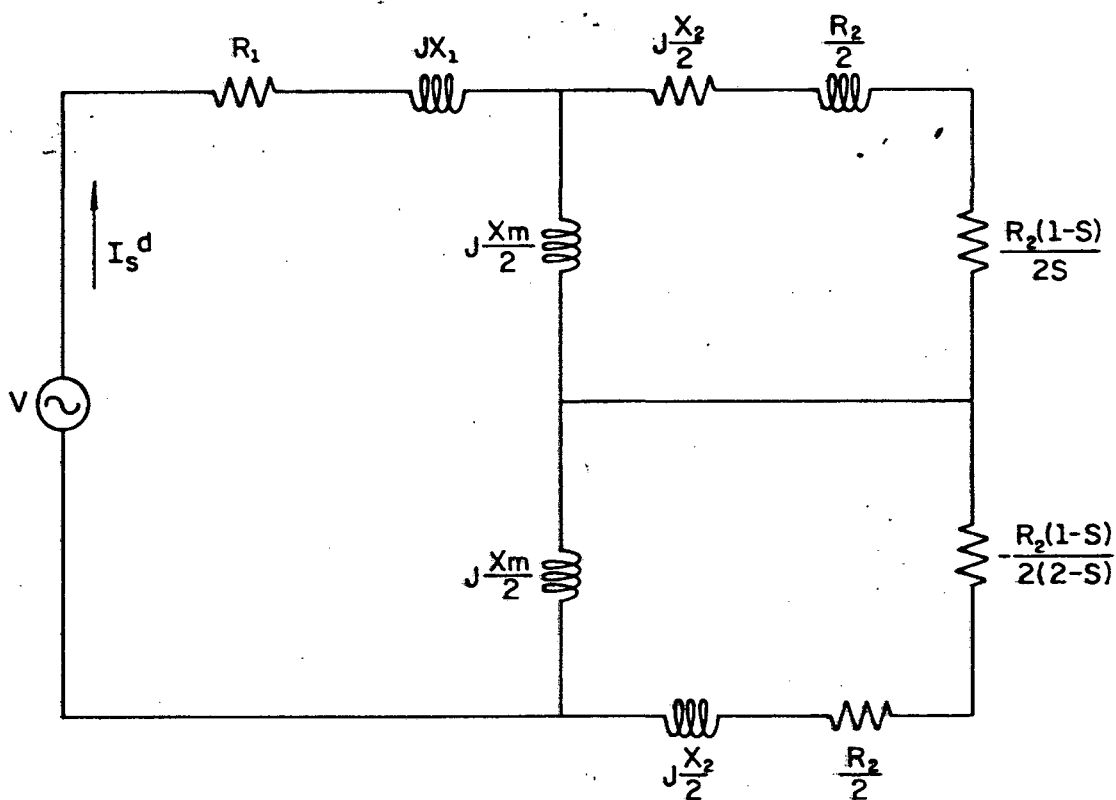


Figura 1.5. - Circuito equivalente clássico do motor monofásico de indução em regime permanente, alimentação senoidal, utilizando parâmetros de dispersão.

1.6. Conclusões:

Os modelos para o motor monofásico de indução apresentados, abrangem todas suas condições de funcionamento; desde o regime permanente, alimentação senoidal, até o regime transitório sob qualquer tipo de alimentação.

Esses modelos serão utilizados nos capítulos seguintes, no desenvolvimento deste trabalho.

CAPÍTULO 2

ANÁLISE DO MOTOR MONOFÁSICO DE INDUÇÃO, SOB FREQUÊN-
CIA VARIÁVEL, ALIMENTAÇÃO SENOIDAL, EM REGIME PERMA
NENTE, LEI TENSÃO - FREQUÊNCIA DE ALIMENTAÇÃO LINEAR

2.1: Introdução :

O objetivo deste capítulo, é obter, a partir dos modelos do capítulo 1, as equações de corrente eficaz do estator, do torque médio e do fluxo concatenado, todos em função da velocidade do motor, para várias frequências de alimentação.

Tendo sido estabelecidas essas equações, obter a partir delas as respectivas características do motor utilizado.

Deve-se observar, que a relação entre a tensão de alimentação, por enquanto senoidal, e a frequência de alimentação, é linear, ou, $\frac{V}{\omega}$ igual a um valor constante pré-estabelecido.

2.2. Equações das Correntes do Estator e do Rotor:

Tomando o modelo do motor monofásico de indução estabelecido a partir do modelo de Park [1], para regime permanente, alimentação senoidal, como foi mostrado no capítulo 1, tem-se:

$$\begin{bmatrix} V \\ 0 \\ 0 \end{bmatrix} = \begin{bmatrix} R_s + jX_s & jX_{m_{sr}} & 0 \\ jX_{m_{sr}} & R_r + jX_r & n_1 X_r \\ -n_1 X_{m_{sr}} & -n_1 X_r & R_r + jX_r \end{bmatrix} \begin{bmatrix} I_s^d \\ I_r^d \\ I_r^q \end{bmatrix} \quad (2.1.a)$$

$$T = n m_{sr} R \begin{bmatrix} I_r^{*q} & I_s^d \end{bmatrix} \quad (2.1.b)$$

Fazendo:

$$[Z] = \begin{bmatrix} R_S + jX_S & jX_{m_{SR}} & 0 \\ jX_{m_{SR}} & R_R + jX_R & n_1 X_R \\ -n_1 X_{m_{SR}} & -n_1 X_R & R_R + jX_R \end{bmatrix} \quad (2.2.)$$

Para se obter as expressões das correntes na equação(2.1.a) é necessário inverter a matriz [Z].

$$[Z]^{-1} = \frac{[Zc]^t}{\det[Z]} \quad (2.3.)$$

Sendo:

$[Zc]^t$ = matriz dos co-fatores de [Z], transposta

$[Z]^{-1}$ = inverso da matriz [Z]

$\det[Z]$ = determinante da matriz [Z]

$$[Zc]^t = \begin{bmatrix} (R_R + jX_R)^2 + (n_1 X_R)^2 & -jX_{m_{SR}}(R_R + jX_R) & jX_{m_{SR}} n_1 X_R \\ -jX_{m_{SR}}(R_R + jX_R) - & (R_R + jX_R)(R_S + jX_S) & -(R_S + jX_S)n_1 X_R \\ -n_1^2 X_R X_{m_{SR}} & & \\ -n_1 jX_{m_{SR}} X_R + & (R_S + jX_S)n_1 X_R & (R_S + jX_S)(R_R + jX_R) + \\ +n_1 X_{m_{SR}}(R_R + jX_R) & -jn_1 X_{m_{SR}}^2 & + X_{m_{SR}} \end{bmatrix} \quad (2.4.)$$

$$\det[Z] = (R_S + jX_S) \{ [(R_R + jX_R)^2 + (n_1 X_R)^2 + X_{m_{SR}}^2] [R_R + j(1 - n_1^2)X_R] \} \quad (2.5.)$$

E ainda:

$$\begin{bmatrix} I_s^d \\ I_r^d \\ I_r^q \end{bmatrix} = [Z]^{-1} \begin{bmatrix} V \\ 0 \\ 0 \end{bmatrix} \quad (2.6.)$$

Assim:

$$I_s^d = \frac{[(R_r + jX_r)^2 + (n_1 X_r)^2] \cdot V}{\det[Z]} \quad (2.7.)$$

$$I_r^d = \frac{-jX_{m_{sr}}[R_r + j(1-n_1^2) X_r] \cdot V}{\det[Z]} \quad (2.8.)$$

$$I_r^q = \frac{j(n_1 X_{m_{sr}} R_r) \cdot V}{\det[Z]} \quad (2.9.)$$

2.3. Equação da Corrente do Estator em Função da Velocidade do Motor:

Da equação (2.7.):

$$I_s^d = \frac{[(R_r + jX_r)^2 + (n_1 X_r)^2] \cdot V}{\det[Z]}$$

Daí vem:

$$I_s^d = \left\{ \frac{R_r^2 + j2R_r X_r - X_r^2 + n_1^2 X_r^2}{\det[Z]} \right\} \cdot V$$

Em módulo:

$$I_s^d = \frac{\{ [R_r^2 + X_r^2 (n_1^2 - 1)]^2 + (2R_r X_r)^2 \}^{1/2}}{|\det[Z]|} \cdot V$$

A equação da corrente do estator (valor eficaz), em função da velocidade será dado pela expressão (2.10):

$$I_S^d = \left\{ \frac{[R_Y^2 + X_Y^2 (n_1^2 - 1)]^2 + (2R_Y X_Y)^2}{\{R_S [R_Y^2 + X_Y^2 (n_1^2 - 1)] + R_Y [X_{m_{SR}}^2 - 2X_S X_Y] \}^2 + \{X_S [R_Y^2 + X_Y^2 (n_1^2 - 1)] + X_Y [X_{m_{SR}}^2 (1 - n_1^2) + 2R_S R_Y] \}^2} \right\}^{1/2} \cdot V \quad (2.10.)$$

2.4. Expressão do Torque em Função do Velocidade:

Substituindo as equações da corrente do estator (2.7.) e corrente do rotor em quadratura (2.8.) na equação do torque (2.1.b):

$$T = n m_{sr} R \left\{ \frac{n_1 X_{m_{sr}} R_r}{(\det [Z])^*} \cdot \frac{(R_r + jX_r)^2 + (n_1 X_r)^2}{\det [Z]} \right\} V^2$$

Multiplicando e dividindo por ω :

$$T = -n \frac{\omega \cdot m_{sr}}{\omega} \cdot R \left\{ n_1 X_{m_{sr}} R_r [R_r^2 - j2R_r X_r - X_r^2] + n_1^3 X_{m_{sr}} X_r^2 R_r \right\} \frac{V^2}{|\det [Z]|^2}$$

$$T = -n \frac{X_{m_{sr}}}{\omega} \left\{ n_1 X_{m_{sr}} R_r [R_r^2 + (n_1^2 - 1) X_r^2] \right\} \frac{V^2}{|\det [Z]|^2}$$

$$T = \frac{n X_{m_{sr}}^2}{\omega} \left\{ \frac{n_1 R_r [X_r^2 (1 - n_1^2) - R_r^2]}{|\det [Z]|^2} \right\} V^2$$

Da equação (2.5.), vem:

$$|\det [Z]|^2 = \{ [R_s (R_r^2 - X_r^2 + n_1^2 X_r^2) + R_r (X_{m_{sr}}^2 - 2X_s X_r)]^2 + [X_s (R_r^2 - X_r^2 + n_1^2 X_r^2) + X_r (X_{m_{sr}}^2 - n_1^2 X_{m_{sr}}^2 + 2R_s R_r)]^2 \} \quad (2.11.)$$

Então, o torque médio em função da velocidade será dado pela expressão (2.12.)

$$T = \frac{n(VX_{mSR})^2}{\omega} \left\{ \frac{n_1 R_Y [X_Y^2 (1-n_1^2) - R_Y^2]}{\{R_S [R_Y^2 + X_Y^2 (n_1^2 - 1)] + R_Y [X_{mSR}^2 - 2X_S X_Y]\}^2 + \{X_S [R_Y^2 + X_Y^2 (n_1^2 - 1)] + X_Y [X_{mSR}^2 (1-n_1^2) - 2R_S R_Y]\}^2} \right\} \quad (2.12.)$$

2.5. Equação do Fluxo Concatenado em Função da Velocidade do Motor:

O fluxo do motor de indução é representado em variáveis $\alpha\beta$, pela equação (2.13.) [1]:

$$\begin{bmatrix} \phi_s^0 \\ \phi_s^\alpha \\ \phi_s^\beta \\ \phi_r^0 \\ \phi_r^\alpha \\ \phi_r^\beta \end{bmatrix} = \begin{bmatrix} L_{s0} & 0 & 0 & 0 & 0 & 0 \\ 0 & L_s & 0 & 0 & m_{sr} & 0 \\ 0 & 0 & L_s & 0 & 0 & m_{sr} \\ 0 & 0 & 0 & L_{r0} & 0 & 0 \\ 0 & m_{sr} & 0 & 0 & L_r & 0 \\ 0 & 0 & m_{sr} & 0 & 0 & L_r \end{bmatrix} \begin{bmatrix} I_s^0 \\ I_s^\alpha \\ I_s^\beta \\ I_r^0 \\ I_r^d \\ I_r^q \end{bmatrix} \quad (2.13.9)$$

Na equação (2.13.), os termos possuem o seguinte significado:

- ϕ_s^0 - fluxo do estator para desequilíbrio de fase
- $\phi_s^\alpha = \phi_s^d = \phi_s$ - fluxo do estator no eixo direto.
É o fluxo de interesse nesse estudo.
- $\phi_s^\beta = \phi_s^q$ - fluxo do estator no eixo em quadratura
- $\phi_r^0, \phi_r^\alpha, \phi_r^\beta$ - componentes $\alpha\beta$, do fluxo do rotor.

Da equação (2.13.), como $I_s^\alpha = I_s^d$, obtém-se a expressão (2.14.), que representa o fluxo do estator no eixo direto:

$$\phi_s = L_s I_s^d + m_{sr} I_r^d \quad (2.14.)$$

Substituindo as expressões da corrente do estator no eixo direto (2.7.), e a corrente do rotor no eixo em quadratura (2.8.), na expressão (2.14.), vem:

$$\theta_S = \frac{L_S [(R_r + jX_r)^2 + (n_1 X_r)^2] \cdot V}{\det[Z]} + \frac{m_{sr} \{ -jX_{m_{sr}} [R_r + j(1-n_1^2)X_r] \} \cdot V}{\det[Z]}$$

$$\theta_S = \frac{L_S [(R_r^2 - X_r^2 + n_1^2 X_r^2) + j2R_r X_r] \cdot V}{\det[Z]} + \frac{m_{sr} \{ [X_{m_{sr}} X_r (1-n_1^2)] - jX_{m_{sr}} R_r \} \cdot V}{\det[Z]} \quad (2.15.)$$

Multiplicando e dividindo a expressão (2.15.) por ω :

$$\theta_S = \frac{\{ [X_S (R_r^2 - X_r^2 + n_1^2 X_r^2) + X_{m_{sr}}^2 X_r (1-n_1^2)] + j [2X_S X_r R_r - X_{m_{sr}}^2 R_r] \} \cdot \frac{V}{\omega}}{\det[Z]}$$

Em módulo, o fluxo concatenado em função da velocidade, será dado pela expressão (2.16.):

$$\theta_s = \left\{ \frac{X_s (R_I^2 - X_I^2 + n_I^2 X_I^2) + X_{sI}^2 X_I (1-n_I)^2 + [2X_s X_I R_I - X_{sI}^2 R_I J]^2}{\{R_s [R_I^2 + X_I^2 (n_I^2 - 1)] + R_I [X_{sI}^2 - 2X_s X_I J]^2 + \{X_s [R_I^2 + X_I^2 (n_I^2 - 1)] + X_I [X_{sI}^2 (1-n_I)^2 + 2R_I R_s J]^2\}} \right\}^{1/2} \frac{V}{\omega} \quad (2.16.)$$

2.6. Obtenção das Características do Motor Utilizado:

As curvas das figuras (2.1.), (2.2.) e (2.3.), a seguir, foram traçadas utilizando as equações (2.10.), (2.12.) e (2.15.), respectivamente; para um motor monofásico de indução com os seguintes dados de placa:

Potência = 0,5 c.v

Tensão de Alimentação = 220/110 volts

Corrente Nominal = 4,5/9 ampêres

Frequência de Alimentação = 60Hz

Isolação Classe - A

Velocidade Nominal = 1725 RPM

Fator de Serviço = 1,25

Categoria = N

Foram obtidos os seguintes parâmetros, para esse motor (Apêndice A) [2]:

$$R_S = 3.448 \Omega$$

$$R_R = 3.564 \Omega$$

$$X_S = X_R = 123,77 \Omega$$

$$X_{m_{sr}} = 117,56 \Omega$$

Seu torque nominal é obtido da seguinte maneira:

$$T = \frac{\text{Potência (watts)}}{\text{Velocidade (RAD/s)}}$$

$$T_{\text{nom}} = \frac{(0,5) \cdot 735}{1725 \cdot \frac{\pi}{30}}$$

$$T_{\text{nom}} = 2,03 \text{ N} \cdot \text{m}$$

A frequência do rotor nominal pode ser obtida da seguinte maneira:

$$\omega_m = \omega_s - \omega_r$$

ou

$$\frac{\omega_m}{\omega_s} = \left(1 - \frac{\omega_r}{\omega_s}\right)$$

onde:

$$\omega_s = \frac{4 \pi f_s}{n}$$

e

$$\omega_r = 2 \pi f_r$$

Como para o motor em estudo, $n = 2$, vem:

$$\frac{\omega_m}{\omega_s} = \left(1 - \frac{f_r}{f_s}\right)$$

ou

$$\omega_m = \omega_s \left(1 - \frac{f_r}{f_s}\right) \quad (2.17.)$$

A equação (2.17.) possibilita o cálculo da velocidade mecânica do motor, para uma determinada frequência de alimentação e uma frequência do rotor:

Ainda, da equação (2.17), pode-se tirar a equação (2.18.), a seguir:

$$f_r = f_s \left(1 - \frac{\omega_m}{\omega_s}\right) \quad (2.18.)$$

Assim, pode-se calcular, com o uso da equação (2.18.), a frequência do rotor nominal desse motor de 4 polos:

$$f_{r_{nom}} = 60 \left(1 - \frac{1725}{1800} \right)$$

$$f_{r_{nom}} = 2,5 \text{ Hz}$$

Com a frequência do rotor nominal, utilizando a equação (2.17.), calcula-se a velocidade mecânica nominal para cada frequência de alimentação, figura(2.1.)

Para se traçar as curvas das figuras (2.1.), (2.2.) e (2.3.), foi utilizado o programa do Apêndice (C-1)

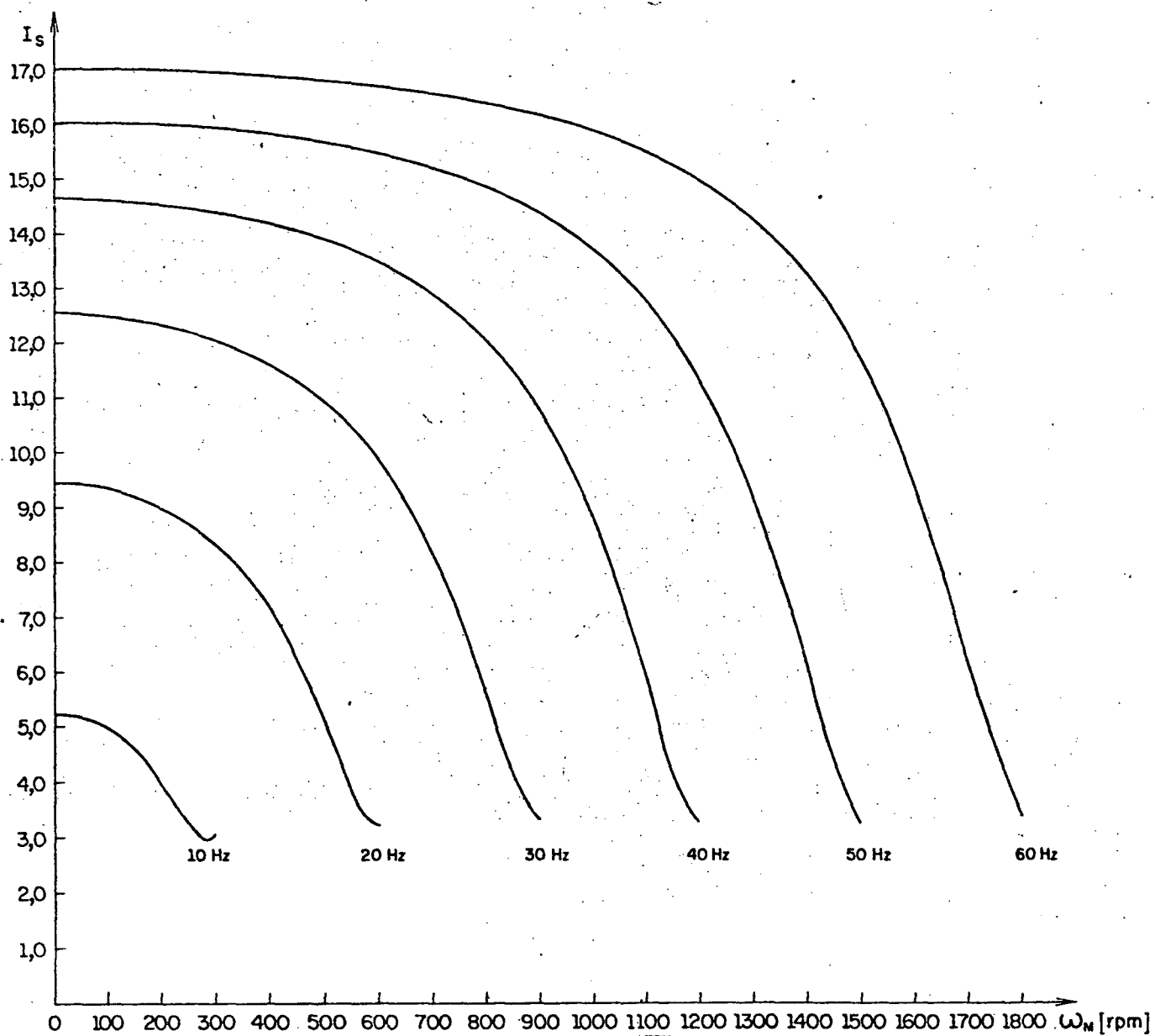


Figura 2.1. - Características corrente do estator- velocidade para várias frequências de alimentação - Lei tensão-frequência linear

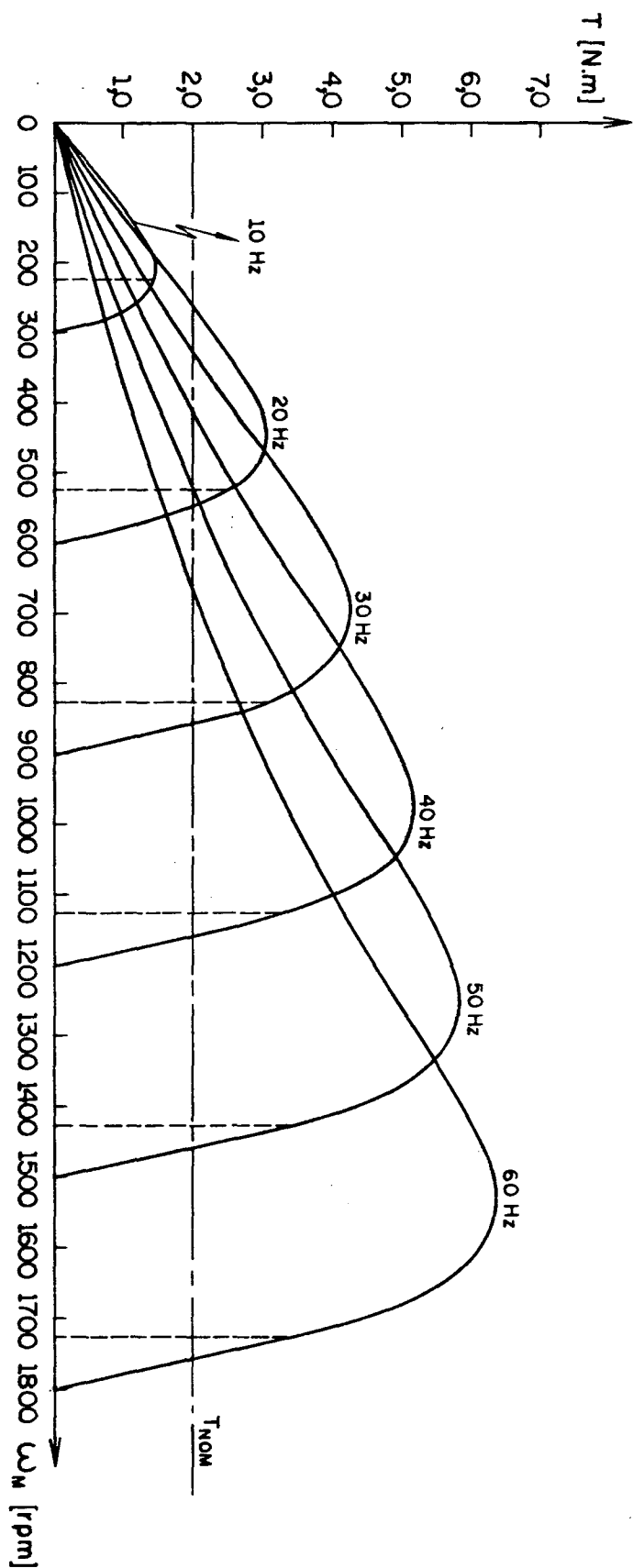


Figura 2.2. - Características torque-velocidade para várias frequências de alimentação. Lei tensão-freqüência linear.

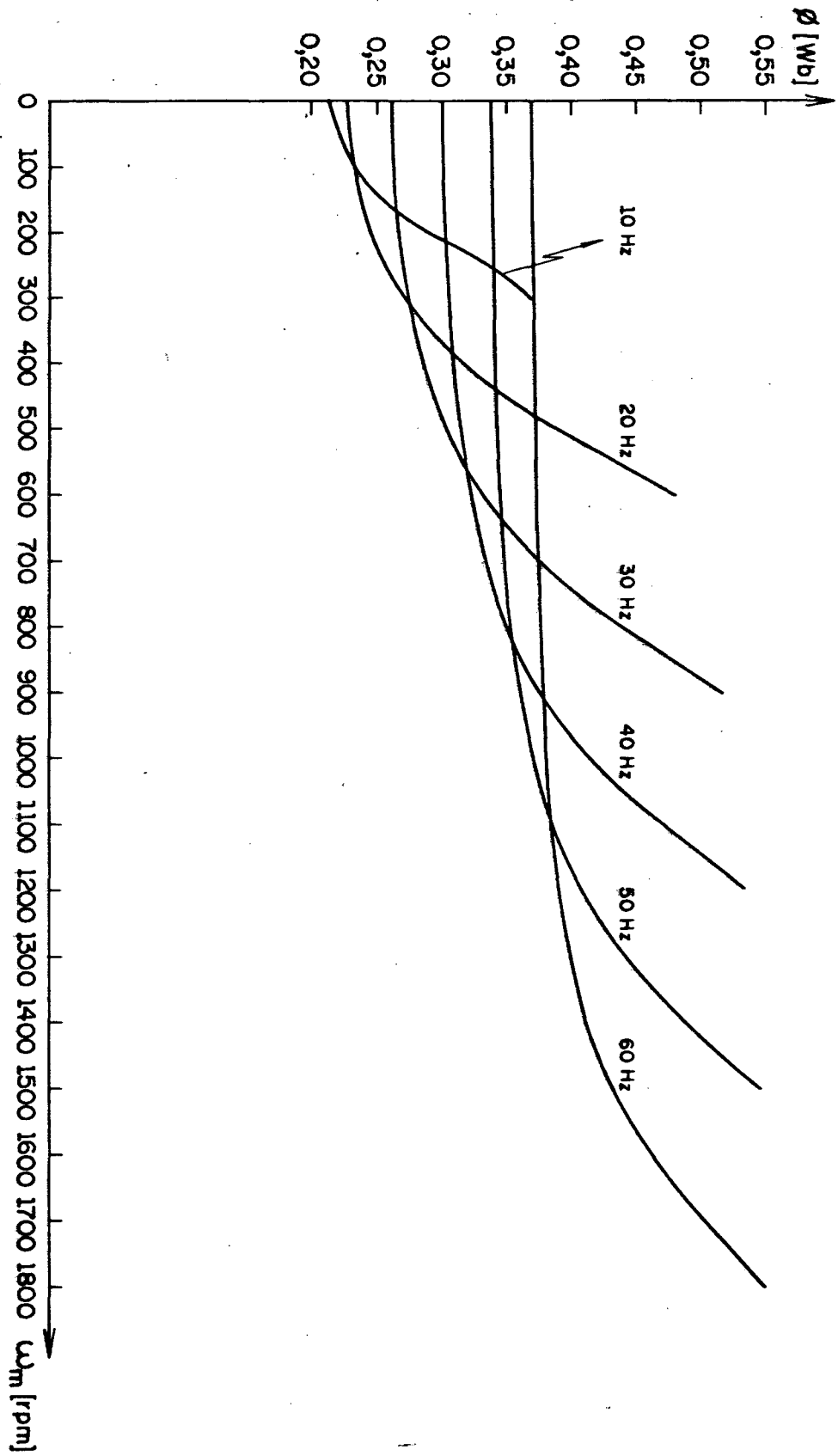


Figura 2.3. - Características fluxo-velocidade para várias frequências de alimentação. Lei tensão-frequência linear.

2.7. Análise das Características Obtidas:

Nas curvas da figura (2.2.), observa-se que o torque máximo cai com o decréscimo da frequência de alimentação, tanto que, para determinadas frequências, torna-se inferior ao torque nominal.

Isso ocorre porque o fluxo concatenado cai com o decréscimo da frequência de alimentação, como se pode verificar nas curvas da figura (2.3.). Observa-se nessa figura, também, que o fluxo concatenado cai com a velocidade, para uma mesma frequência de alimentação limitando dessa maneira, a operação do motor para as velocidades próximas da síncrona, para cada frequência de alimentação, como se pode ver na figura (2.2.).

2.8. Verificação Experimental do Comportamento do Fluxo:

A seguir, faz-se um estudo comparativo entre o fluxo calculado através da expressão (2.15) e o fluxo obtido através de ensaios em laboratório.

2.8.a. - Método para obtenção de fluxo em laboratório:

Para obtenção do fluxo do motor, foram utilizadas duas bobinas de sondagem de 40 espiras cada uma, ligadas em série aditiva, alocadas nas ranhuras do estator. Na sua medição foi utilizado o sistema que se apresenta na figura (2.4.):

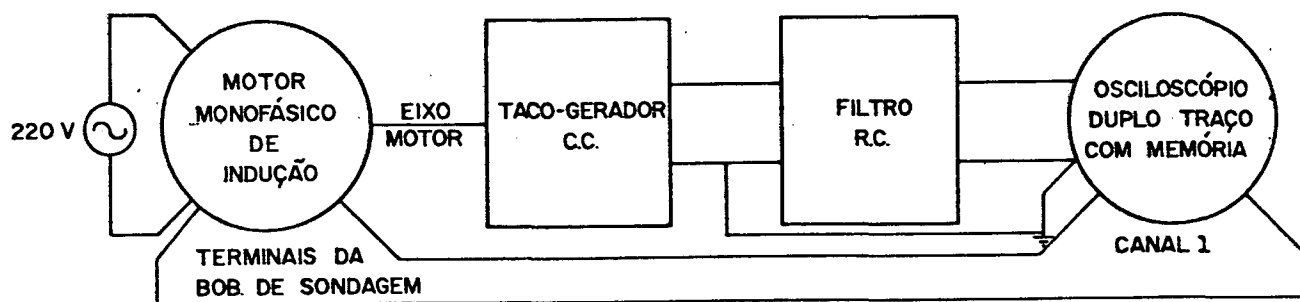


Figura 2.4. - Sistema utilizado para medição do fluxo do motor.

A seguir são discutidos os componentes do sistema de medição empregado:

2.8.a.1. - Filtro de duplo estágio:

O filtro R.C. de duplo estágio possui o circuito apresentado na figura (2.5.):

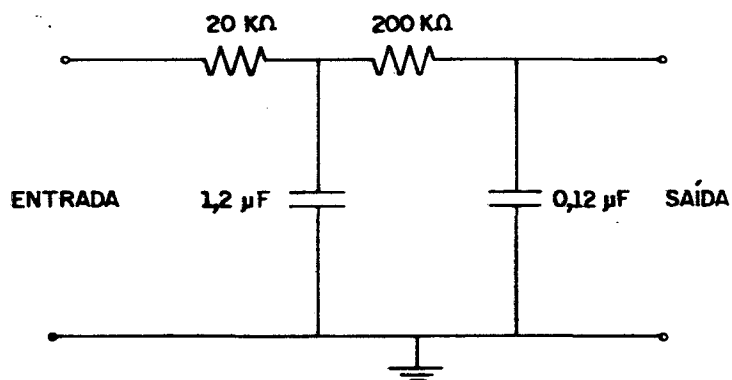


Figura 2.5. Circuito do filtro RC de duplo estágio.

Como a impedância da entrada de 5K do osciloscópio é menor que a impedância do filtro, coloca-se um amplificador operacional com configuração seguidor na saída deste, impedindo que o osciloscópio absorva o sinal observado.

2.8.a.2. - Bobinas de sondagem:

Essas bobinas possuem 40 espiras cada. São ligadas em série aditiva, dando 46,66 volts nos seus terminais, quando a tensão de alimentação é de 220 volts (valor eficaz).

Foi empregado fio esmaltado, # 22AWG, para que pudessem ser colocados nas ranhuras do estator, sem prejudicar o movimento do rotor.

O motor possui 4 polos. As bobinas foram colocadas em 2 polos distintos subsequentes.

2.8.a.3. - Taco-gerador de corrente contínua:

Ligado mecanicamente ao eixo do motor, o taco-gerador de corrente contínua fornece uma tensão de 10 volts na saída do filtro R.C. para 1790 rpm.

Este sinal é utilizado para realização da varredura do osciloscópio.

2.8.a.4. - Forma da onda do fluxo nos terminais da bobina de sondagem.

A forma de onda da tensão nos terminais da bobina de sondagem é a que se apresenta na figura (2.6.):

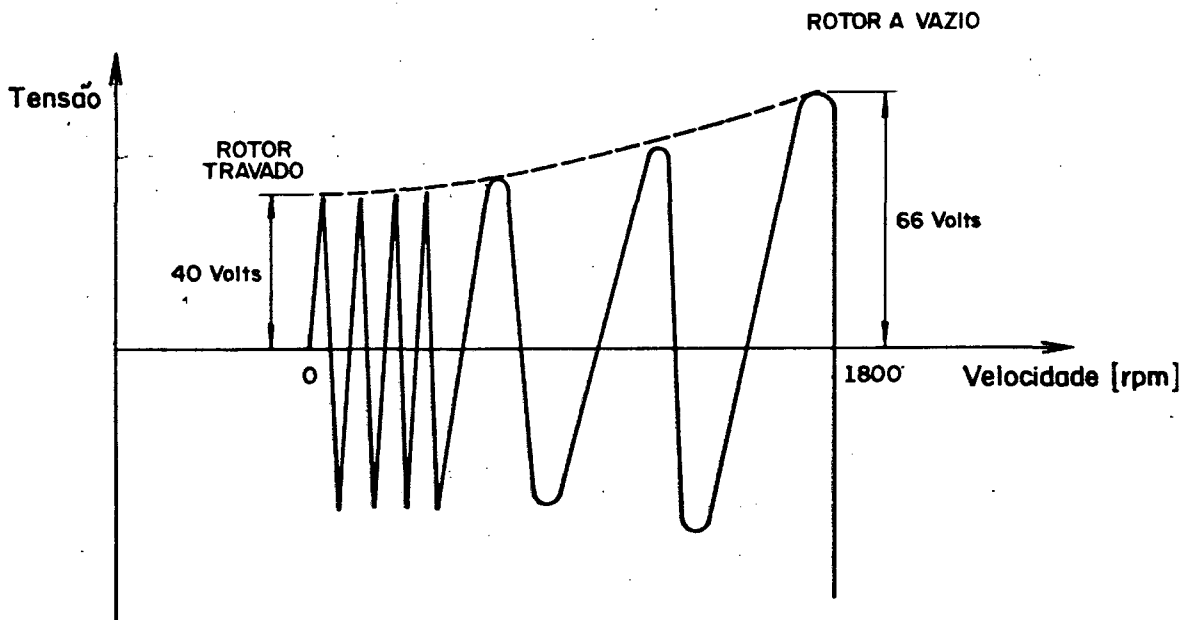


Figura 2.6. - Tensão obtida nos terminais da bobina de sondagem em função da velocidade.

2.8.b. - Obtenção do fluxo concatenado e real do motor em laboratório:

Tomando os valores de pico da forma de onda da tensão obtida nos terminais da bobina de sondagem, pode-se calcular os fluxos concatenado (\emptyset) e real (λ) motor.

Para obtenção desses fluxos em Weber, faz-se:

$$\emptyset = N \cdot \lambda = \frac{V_m}{\omega}$$

Sendo:

\emptyset - fluxo concatenado em Weber (valor de pico)

λ - fluxo real em Weber (valor de pico)

N - número de espiras da bobina

ω - pulsação da tensão de alimentação

V_m valor máximo da tensão nos terminais da bobina de son-
dagem

Um exemplo do cálculo do fluxo concatenado e do fluxo real:

$$V_m = 66 \text{ volts}$$

$$N = 80 \text{ espiras}$$

$$f = 60 \text{ hertz}$$

Assim:

$$\emptyset = \frac{66}{2 \cdot \pi \cdot 60}$$

$$\emptyset = 0,175 \text{ [Wb]}$$

e

$$\lambda = \frac{\emptyset}{N} = \frac{0,175}{80}$$

$$\lambda = 2,18 \times 10^{-3} \text{ [Wb]}$$

Esses são os valores dos fluxos concatenado e real para o motor com funcionamento a vazio, com tensão de 220 volts e frequência de alimentação 60 Hz.

Assim monta-se a tabela 2.2.:

Tensão de Pico (volts)	Divisões Horizontais	Escorregamento (s)	Velocidade (ω_m) [RPM]	Fluxo concatenado eficaz (\emptyset) [Wb]	Fluxo real eficaz (λ) $\times 10^{-3}$ [Wb].
66	0	0,0	1800	0,1237	1,54
60	1	0,104	1612,8	0,1125	1,40
52	2	0,179	1477,8	0,0975	1,21
48	3	0,253	1344,6	0,0900	1,12
46	4	0,402	1076,4	0,0862	1,07
44	5	0,552	806,4	0,0825	1,03
40	5,5	0,701	538,2	0,0750	0,93
40	6,0	0,85	270,0	0,0750	0,93
40	6,7	1,0	0,0	0,0750	0,93

Tabela 2.2 - Fluxos concatenado e real medidos para frequência de alimentação 60Hz e vários valores de velocidade.

2.8.c. - Obtenção do número de espiras equivalentes do enrolamento do estator:

Para se calcular o fluxo real do motor, é necessário a determinação do número de espiras do seu enrolamento do estator.

Assim, considera-se o motor operando com tensão nominal (220 volts) e frequência de 60 Hz, sem carga no seu eixo. Dessa maneira, tem-se:

$$I_{\text{vazio}} = 3,52\text{A}$$

$$R_1 = 3,448\Omega$$

$$X_1 = 5,617\Omega$$

- Cálculo da queda de tensão no estator:

$$Z_1 = \sqrt{R_1^2 + X_1^2}$$

$$Z_1 = \sqrt{(3,448)^2 + (5,617)^2}$$

$$Z_1 = 6,59\Omega$$

Então:

$$\Delta V = Z_1 \cdot I_{\text{vazio}}$$

$$\Delta V = (6,59) \cdot (3,52)$$

$$\Delta V = 23,19 \text{ volts}$$

Os enrolamentos do estator e da bobina de sondagem estão representados na figura (2.7.):

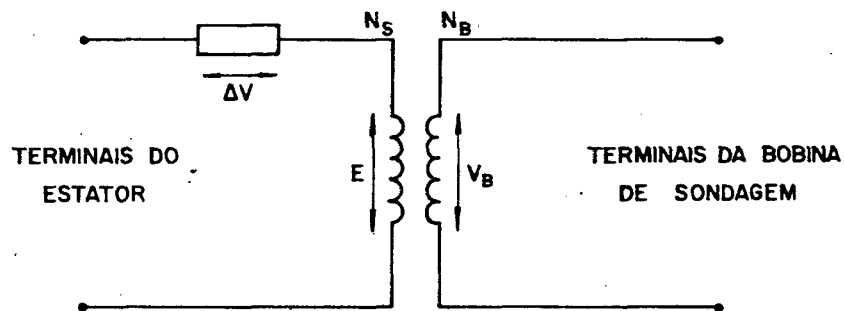


Figura 2.7. Representação dos enrolamentos do estator e da bobina de sondagem.

- Cálculo da tensão (E) de magnetização:

$$E = V - \Delta V$$

$$E = 220 - 23,19$$

$$E = 196,803 \text{ volts}$$

- Cálculo da tensão (V_B) na bobina de sondagem:

Quando a tensão no estator é de 220 volts, 60Hz, a tensão de pico da bobina de sondagem é de 66 volts, de acordo com a tabela (2.2.).

Assim, o seu valor eficaz, será:

$$V_B = 46,66 \text{ volts}$$

Com a tensão E e a tensão V_B , determina-se a relação de transformação (α), entre os enrolamentos do estator e da bobina de sondagem. Assim:

$$\alpha = \frac{E}{V_B}$$

$$\alpha = \frac{196,83}{46,66}$$

$$\alpha = 4,217$$

Sabendo que o número de espiras da bobina, é:

$$N_B = 80 \text{ espiras}$$

- Então:

$$\frac{N_S}{N_B} = 4,217$$

$$\frac{N_S}{80} = 4,217$$

$$N_S = 338 \text{ espiras equivalentes}$$

2.8.d. - Obtenção do fluxo real calculado (λ_c):

Utilizando os valores do fluxo concatenado do motor, obtido através da expressão (2.15), e dividindo-os pelo número de espiras do estator, obtem-se o fluxo real calculado, podendo ser montada a tabela (2.3.):

Escorregamento (s)	velocidade mecânica ω_m [RPM]	Fluxo concatenado calculado (θ_c) [Wb]	Fluxo real calculado (λ_c) $\times 10^{-3}$ [Wb]
0,0	1800	0,5517	1,632
0,1	1620	0,4687	1,386
0,2	1440	0,4189	1,239
0,3	1260	0,3956	1,170
0,4	1080	0,3841	1,136
0,5	900	0,3779	1,118
0,6	720	0,3743	1,107
0,7	540	0,3721	1,10
0,8	360	0,3708	1,097
0,9	180	0,3702	1,095
1,0	0,0	0,3700	1,094

Tabela 2.3 - Fluxo real calculado para frequência de alimentação de 60Hz e vários valores de velocidade.

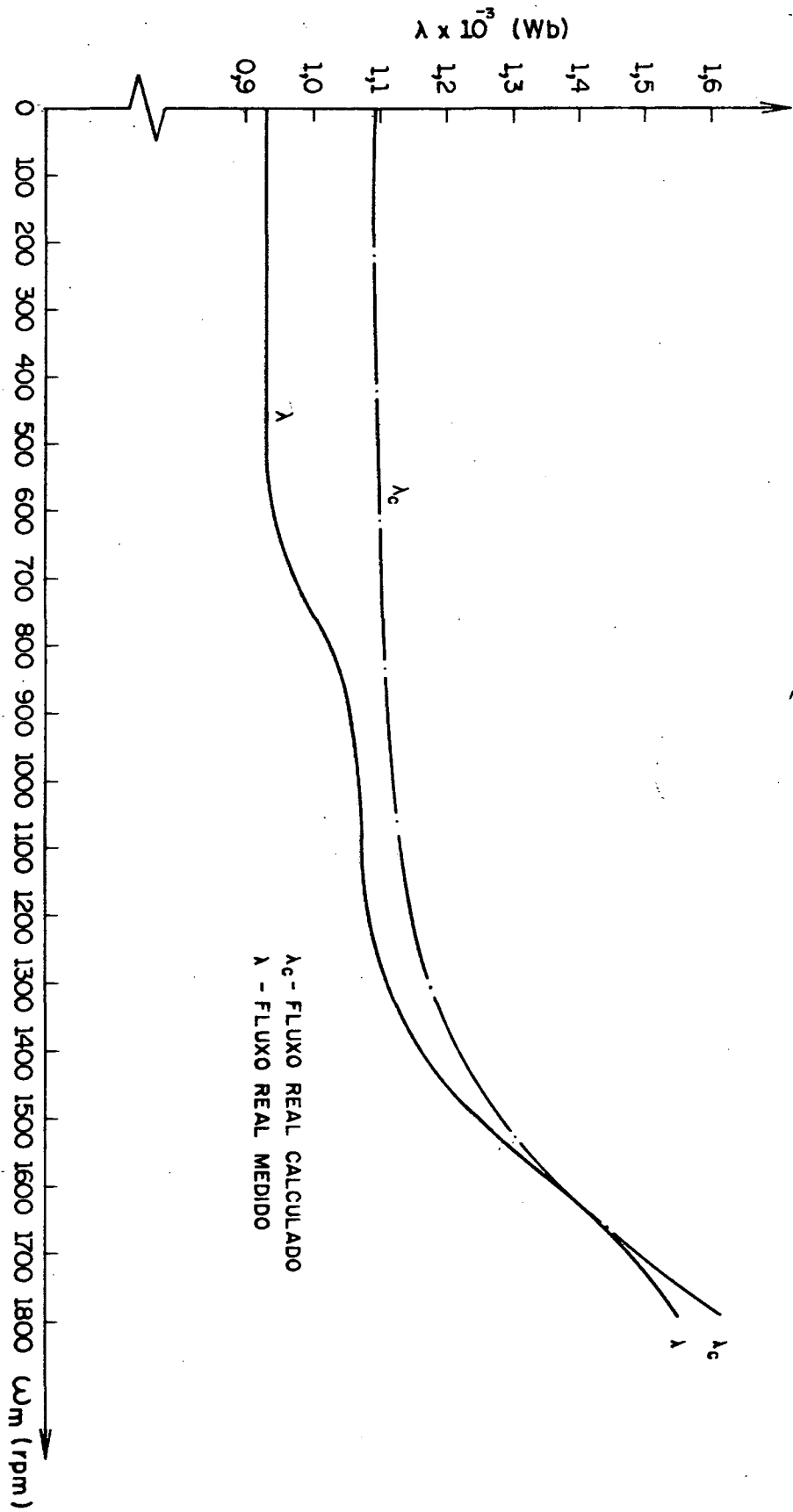


Figura 2.8. - Comparação entre fluxo real medido e fluxo real calculado, alimentação senoidal, Lei tensão-frequência de alimentação linear.

2.10. Conclusões:

Observou-se com o estudo deste capítulo que o fluxo do motor monofásico de indução cai com a velocidade, para uma dada frequência de alimentação e cai, também com o decréscimo da mesma, para uma lei tensão-frequência de alimentação linear.

A diminuição do fluxo para uma dada frequência de alimentação, limita para altas velocidades a faixa onde o motor opera com estabilidade.

A diminuição do fluxo com o decréscimo da frequência de alimentação, provoca uma diminuição do torque máximo para cada frequência de alimentação (figuras 2.2. e 2.3.).

A comparação entre os fluxos medidos e calculados, figura (2.8.), mostra a validade dos modelos que estão sendo empregados no desenvolvimento desse trabalho.

CAPÍTULO 3

ESTUDO DA LEI TENSÃO-FREQÜÊNCIA DE ALIMENTAÇÃO3.1. Introdução:

Com a lei tensão-freqüência de alimentação linear, não foi possível manter o fluxo constante, como se pode verificar no capítulo 2.

A variação do fluxo com a velocidade, figura (2.3.), provoca no motor um decréscimo do torque máximo, na medida em que a freqüência estatórica diminui, o que é indesejável do ponto de vista prático, pois limita o valor do torque mecânico máximo aproveitável no seu eixo.

Assim será estabelecida uma nova lei tensão-freqüência de alimentação para manter o fluxo constante, em toda a faixa de operação do motor monofásico de indução, buscando eliminar ou reduzir os problemas citados no parágrafo anterior, em relação ao torque que o motor pode fornecer no seu eixo.

3.2. Lei Tensão-Freqüência de Alimentação para Manter o Fluxo Constante:

Tomando a equação (2.16.), verifica-se que ela é da forma:

$$\phi_s = \sqrt{Z} \cdot \frac{V}{\omega} \quad (3.1.)$$

Então:

$$V = \frac{1}{\sqrt{Z}} \cdot \omega \cdot \phi_s \quad (3.2.)$$

Sendo que:

Z é função dos parâmetros cíclicos do motor, da frequência de alimentação e da frequência do rotor, pois

$$n_1 = \left(1 - \frac{f_r}{f_s} \right)$$

sendo, f_s a frequência de alimentação do motor e f_r a frequência do rotor.

Sabendo-se que:

$$X_r = \omega \cdot L_r = 2 \cdot \pi \cdot f_s \cdot L_r$$

$$X_s = \omega \cdot L_s = 2 \cdot \pi \cdot f_s \cdot L_s$$

$$X_{m_{sr}} = \omega \cdot m_{sr} = 2 \cdot \pi \cdot f_s \cdot m_{sr}$$

Substituindo a equação (2.16.) em (3.2.) resulta a equação (3.3.):

$$V = \frac{\{R_S [R_I^2 + (\omega L_I)^2 (n_1^2 - 1)] + R_I [(\omega m_{SI})^2 - 2\omega^2 L_S L_I] \}^2 + \{\omega L_S [R_I^2 + (\omega L_I)^2 (n_1^2 - 1)] + \omega L_I [(\omega m_{SI})^2 (1 - n_1^2) + 2R_S R_I]\}^2}{\{\omega L_S [R_I^2 + (\omega L_I)^2 (n_1^2 - 1)] + (\omega m_{SI})^2 (\omega L_I) (1 - n_1^2)\}^2 + [2\omega^2 L_I L_S R_I - (\omega m_{SI})^2 \cdot R_I]^2} \cdot \rho_S \cdot \omega \quad (3.3.)$$

Utilizando o motor já especificado no capítulo 2, traça-se as curvas características, tensão de alimentação em função da frequência do estator para várias frequências do rotor, para fluxo constante pré-estabelecido, dado por:

$$\phi_s = \frac{V}{\omega}$$

$$\phi_s = \frac{220}{2 \cdot \pi \cdot 60}$$

$$\phi_s = 0,5835 [\text{Wb}]$$

Para obtenção das curvas da figura 3.1., foi utilizado o programa DAVID FORTRAN, ver Apêndice (C-2).

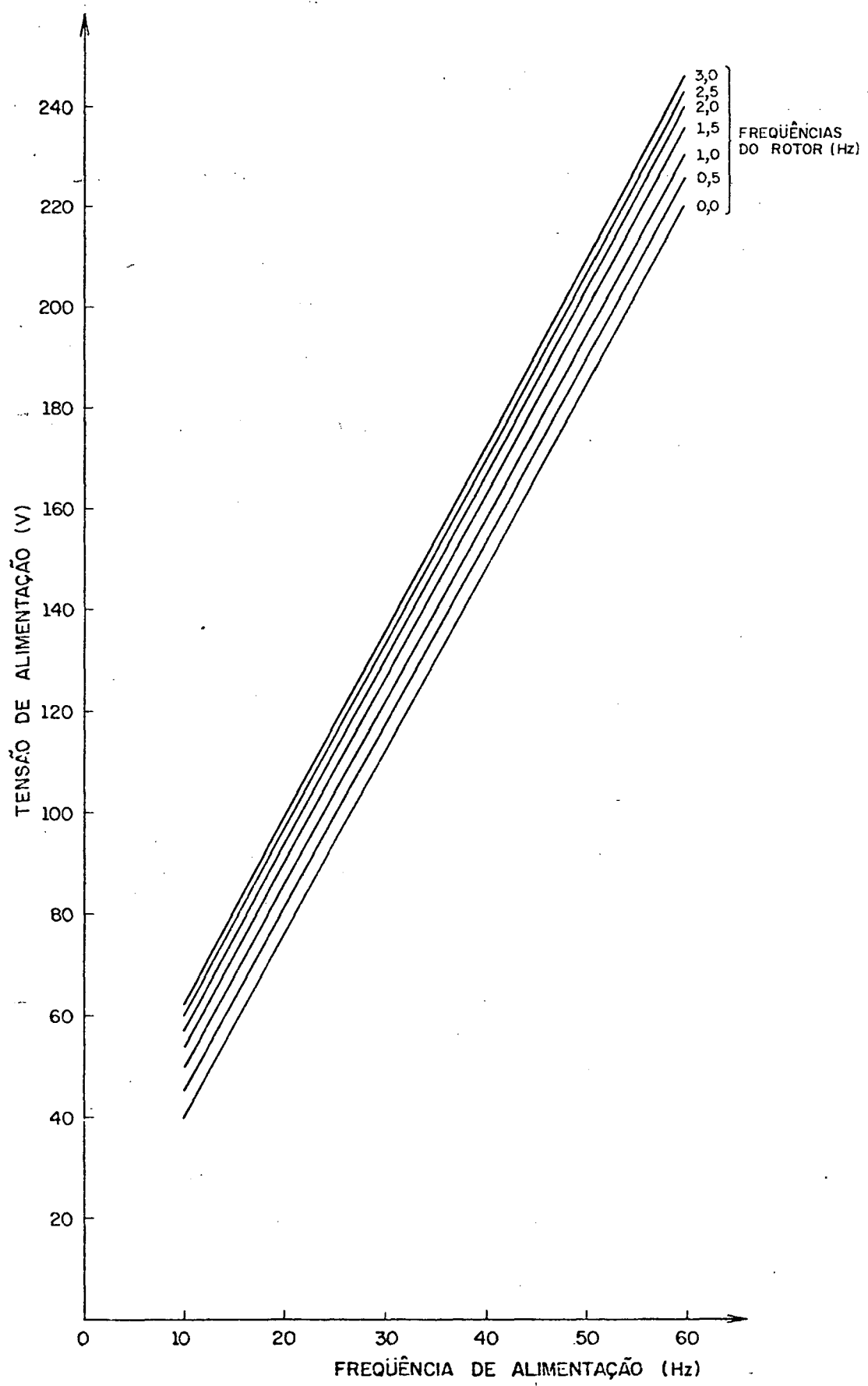


Figura 3.1. - Lei tensão-freqüência para manter o fluxo constante e igual a 0,5835 [Wb]

Apesar da complexidade e dimensão da equação (3.3.), e resultado da lei tensão-frequência de alimentação na figura (3.1.) é simples.

3.3. Obtenção da Lei Tensão-Frequência de Alimentação Simplificada:

A equação (3.3.) é de difícil implementação, sendo necessária uma simplificação, que será feita a partir das curvas estabelecidas na figura (3.1.).

Assim, por inspeção, verifica-se que esse conjunto de curvas pode ser apresentado, com boa aproximação, pela equação (3.4.), a seguir:

$$V = K_1 \cdot f_s + K_2 \cdot f_r \quad (3.4.)$$

Sendo:

K_1 - a inclinação das retas

K_2 - fator multiplicativo da frequência do rotor

Para obtenção de K_1 , faz-se $f_r = 0$, daí:

$$K_1 = \frac{V}{f_s}$$

$$K_1 = \frac{220}{60}$$

$$K_1 = 3,66$$

Como, por inspeção da figura (3.1.), $K_2 = 10$, vem:

$$V = 3,66 f_s + 10 f_r \quad (3.6.)$$

A equação (3.6.) é a lei tensão-frequência de alimentação simplificada, para manter o fluxo constante.

Com essa lei, estabelece-se em seguida, novas características de torque em função da velocidade do motor.

3.4. Características Torque-Velocidade, com a Lei Tensão-Frequência de Alimentação para Fluxo Constante:

Observa-se nas curvas da figura (2.2.), que para determinadas frequências de alimentação, a velocidade mecânica nominal é atingida numa região de pouca estabilidade.

Substituindo na equação (2.12.), a variável V , pela expressão (3.6.), tem-se a equação do torque para a nova lei tensão-frequência de alimentação (3.9.)

Com a equação (3.9.) e os parâmetros do motor utilizado, traça-se as curvas da figura (3.2.), ver Apêndice (C-3).

$$T = \frac{n\lambda m_{sr}^2 (3,66f_s + 10f_r)^2}{\omega} \left\{ \frac{n_1 R_r \{X_r^2 [1-n_1^2] - R_r^2\}}{\{R_s [R_r^2 + X_r^2(n_1^2-1)] + R_r^2 [\lambda m_{sr}^2 - 2X_s X_r]\}^2 + \{X_s [R_r^2 + X_r^2(n_1^2-1)] + X_r [\lambda m_{sr}^2 (1-n_1^2) - 2R_s R_r]\}^2} \right\} \quad (3.9.)$$

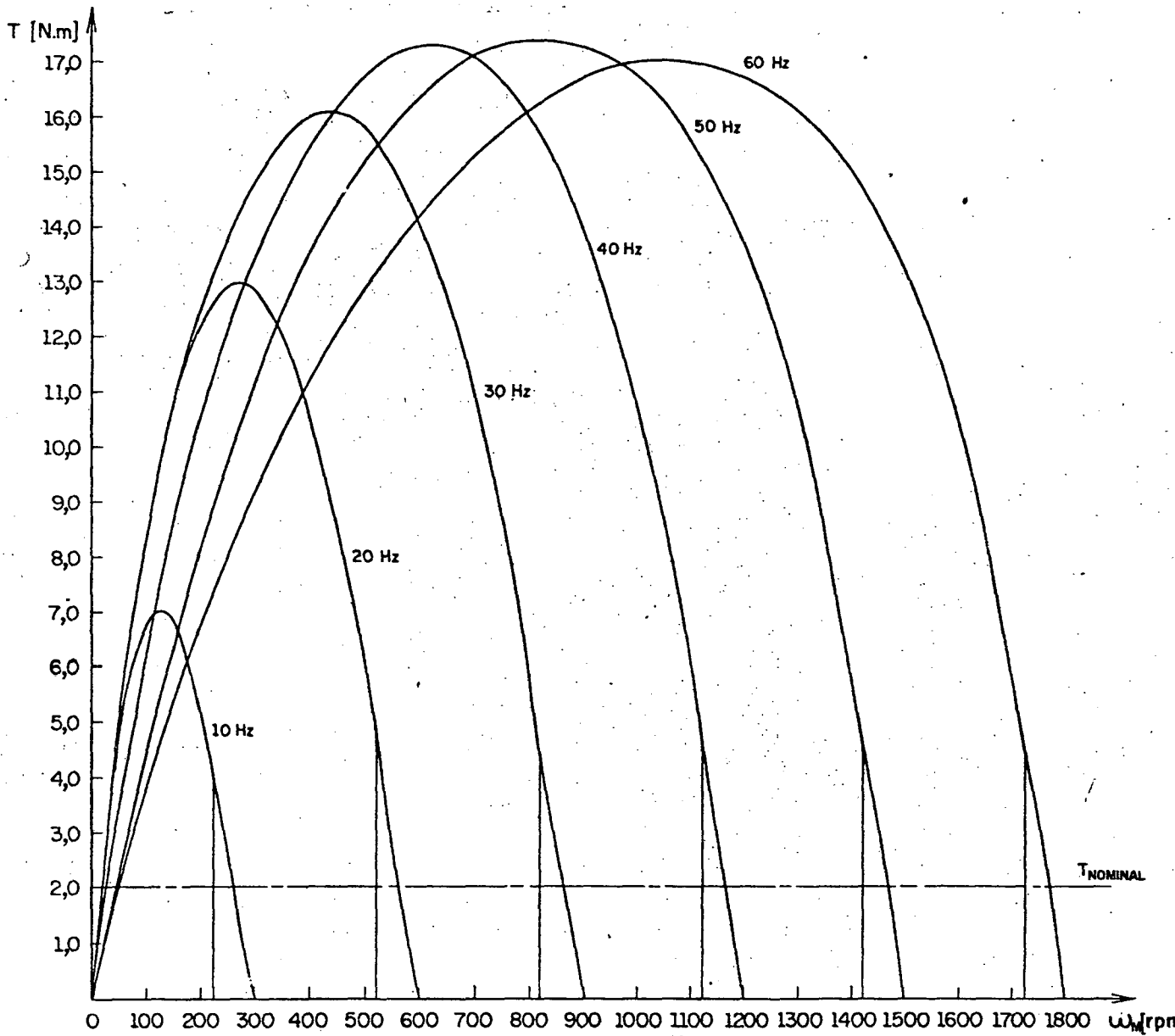


Figura 3.2. - Características torque-velocidade sendo $T = f(v)$ e $V = 3,66 f + 10$ fr.

Com a nova lei tensão-frequência de alimentação, as características de torque em função da velocidade, figura (3.2.), se tornaram quase perpendiculares, fornecendo uma faixa ampla e segura de operação para o motor. Podendo fornecer torque nominal pelo menos até 10Hz de frequência de alimentação com margem garantida de estabilidade.

O torque máximo, para a nova lei é elevado, não sendo possível ao motor poder atingi-lo sem ser danificado pela corrente de alimentação solicitada.

O máximo torque que o motor vai fornecer, é o correspondente à velocidade nominal para cada frequência de alimentação.

3.5. Conclusões:

A lei tensão-frequência de alimentação, para manter o fluxo constante, equação (3.3.) é complexa e praticamente impossível de ser implementada.

A lei simplificada, equação (3.6.) pode ser implementada com facilidade, sem prejudicar os resultados finais.

Com essa lei, consegue-se melhorar as características de torque-velocidade, permitindo a obtenção de torque nominal, para baixas velocidades, sem correr o risco de perder a estabilidade.

CAPÍTULO 4

COMPORTAMENTO EM REGIME PERMANENTE, ALIMENTAÇÃO RETANGULAR, FREQUÊN- CIA VARIÁVEL

4.1. Introdução:

Toda análise até este ponto, foi feita com motor monofásico de indução em regime permanente, alimentação senoidal, frequência variável.

A partir desse capítulo, será analisado o comportamento do motor, quando alimentado pela onda de tensão retangular, produzida pelo inversor.

É de interesse, agora, não os valores eficaz da corrente e médio do torque, mas, os seus valores instantâneos que serão obtidos através de simulação digital.

Com a simulação será possível observar os valores de pico da corrente do estator, para várias frequências de alimentação. Essas correntes, são de importância fundamental na escolha dos transistores ou tiristores do inversor.

4.2. Tensão na saída do inversor:

Deve-se aplicar na entrada do inversor um nível de tensão contínua que produza na sua saída uma onda retangular, cuja componente fundamental tenha valor eficaz igual ao da tensão de alimentação nominal do motor.

No caso do motor utilizado, sua tensão de alimentação é de 220 volts.

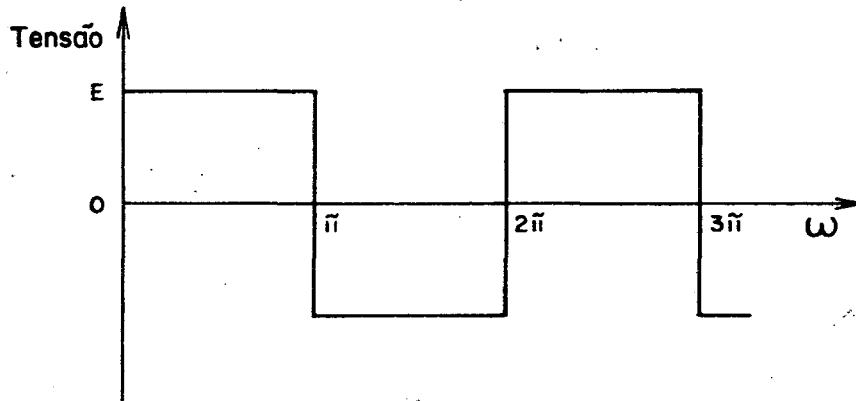


Figura 4.1. - Tensão na saída do inversor.

A seguir, a tensão de saída do inversor é decomposta em Série de Fourier.

$$f(t) = a_0 + \sum_{n=1}^{\infty} (a_n \cdot \cos n \omega_0 t + b_n \cdot \text{sen } n \omega_0 t)$$

Dai:

$$a_0 = \frac{1}{T} \int_0^T f(t) dt = 0$$

$$a_n = \frac{2}{T} \int_0^T f(t) \cdot \cos n \omega_0 t dt = 0$$

$$b_n = \frac{2}{T} \int_0^T f(t) \cdot \text{sen } n \omega_0 t dt$$

Como só se interessa pela fundamental:

$$b_1 = \frac{8}{T} \int_0^T E \cdot \text{sen } \omega_0 t dt$$

Daí:

$$E = \frac{b_1 \cdot \pi}{4}$$

$$\text{como } b_1 = 220 \sqrt{2} \text{ volts}$$

$$E = \frac{220 \cdot \sqrt{2} \cdot \pi}{4}$$

$$E = 244,35 \text{ volts}$$

Este é o nível de tensão contínua que deve ser aplicado na entrada do inversor, para que a onda retangular na saída tenha uma componente fundamental cujo valor eficaz é 220 volts.

4.3. Obtenção do modelo de estado do motor monofásico de indução:

Serão estabelecidas as equações das correntes do motor em forma de variáveis de estado, com vistas à simulação.

Tomando o modelo do motor monofásico de indução, para regime transitório, equações (1.2.a) e (1.2.b):

$$\begin{bmatrix} v_s^d \\ 0 \\ 0 \end{bmatrix} = \begin{bmatrix} R_s + pL_s & pm_{sr} & -m_{sr} \psi' \\ pm_{sr}(\psi' - \theta') & R_r + pL_r & -nL_r(\psi' - \theta') \\ n m_{sr}(\psi' - \theta') & nL_r(\psi' - \theta') & R_r + pL_r \end{bmatrix} \begin{bmatrix} i_s^d \\ i_r^d \\ i_r^q \end{bmatrix} \quad (4.3.a)$$

$$T = n m_{sr} (i_s^d \ i_r^q) \quad (4.3.b)$$

Colocando a referência no estator ($\psi = 0$), fazendo $\theta' = \omega_m$ e derivando em relação ao tempo, tem-se a equação (4.4.a):

$$\begin{bmatrix} v_s^d \\ 0 \\ 0 \end{bmatrix} = \begin{bmatrix} (R_s + \frac{d}{dt} L_s) & \frac{d}{dt} m_{sr} & 0 \\ \frac{d}{dt} m_{sr} & (R_r + \frac{d}{dt} L_r) & n\omega_m L_r \\ -n \cdot \omega_m \cdot m_{sr} & -n \cdot \omega_m \cdot L_r & (R_r + \frac{d}{dt} L_r) \end{bmatrix} \begin{bmatrix} i_s^d \\ i_r^d \\ i_r^q \end{bmatrix} \quad (4.4.a)$$

$$T = n \cdot m_{sr} (i_s^d \ i_r^q) \quad (4.4.b)$$

Mas:

$$n = \frac{\omega_m}{\omega_s} \quad (4.5.)$$

$$n_1 = \frac{\omega_m}{\omega_s} \quad (4.6.)$$

Substituindo (4.5.) e (4.6.) na equação (4.4.a), tem-se a equação (4.7.a):

$$\begin{bmatrix} v_s^d \\ 0 \\ 0 \end{bmatrix} = \begin{bmatrix} (R_s + \frac{d}{dt}L_s) & \frac{d}{dt}m_{sr} & 0 \\ \frac{d}{dt}m_{sr} & (R_r + \frac{d}{dt}L_r) & n_1 X_r \\ -n_1 X_m_{sr} & -n_1 X_r & (R_r + \frac{d}{dt}L_r) \end{bmatrix} \begin{bmatrix} i_s^d \\ i_r^d \\ i_r^q \end{bmatrix} \quad (4.7.a)$$

$$T = n m_{sr} (i_s^d \quad i_r^q) \quad (4.7.b)$$

Fazendo, $v_s^d = v$ e $i_s^d = i_s$, na equação (4.7.a) vem:

$$v = R_s i_s + L_s \left(\frac{d}{dt}\right) i_s + m_{sr} \left(\frac{d}{dt}\right) i_r^d$$

$$0 = m_{sr} \left(\frac{d}{dt}\right) i_s + R_r i_r^d + L_r \left(\frac{d}{dt}\right) i_r^d + n_1 X_r i_r^q$$

$$0 = -n_1 X_m_{sr} i_s - n_1 X_r i_r^d + R_r i_r^q + L_r \left(\frac{d}{dt}\right) i_r^q$$

Isolando-se as variáveis de estado, resulta:

$$\left(\frac{d}{dt}\right) i_s = -\left(\frac{R_s}{L_s}\right) i_s - \frac{m_{sr}}{L_s} \left(\frac{d}{dt}\right) i_r^d + \frac{v}{L_s} \quad (4.8.)$$

$$\left(\frac{d}{dt}\right) i_r^d = -\frac{m_{sr}}{L_r} \left(\frac{d}{dt}\right) i_s - \frac{R_r}{L_r} i_r^d - \frac{n_1 X_r}{L_r} i_r^q \quad (4.9.)$$

$$\left(\frac{d}{dt}\right) i_r^q = \frac{n_1 X_m_{sr}}{L_r} i_s + \frac{n_1 X_r}{L_r} i_r^d - \frac{R_r}{L_r} i_r^q \quad (4.10.)$$

Substituindo a equação (4.8.) em (4.9.), vem:

$$\left(\frac{d}{dt}\right) i_r^d = -\frac{m_{sr}}{L_r} \left[-\frac{R_r}{L_s} i_s = \frac{m_{sr}}{L_s} \left(\frac{d}{dt}\right) i_r^d + \frac{v}{L_s} \right] - \frac{R_r}{L_s} i_r^d - \frac{n_1 X_r}{L_r} i_r^q$$

$$\left(\frac{d}{dt}\right) i_r^d = \frac{m_{sr} R_s}{L_r L_s} i_s + \frac{m_{sr}^2}{L_r L_s} \left(\frac{d}{dt}\right) i_r^d - \frac{m_{sr}}{L_r L_s} v - \frac{R_r}{L_r} i_r^d - \frac{n_1 X_r}{L_r} i_r^q$$

$$\begin{aligned} \left(\frac{d}{dt}\right) i_r^d &= \left(\frac{L_r L_s}{L_r L_s - m_{sr}^2}\right) \left(\frac{m_{sr} R_s}{L_r L_s}\right) i_s - \left(\frac{L_r L_s}{L_r L_s - m_{sr}^2}\right) \frac{R_r}{L_r} i_r^d - \left(\frac{L_r L_s}{L_r L_s - m_{sr}^2}\right) \frac{n_1 X_r}{L_r} i_r^q - \\ &- \left(\frac{L_r L_s}{L_r L_s - m_{sr}^2}\right) \frac{m_{sr}}{L_r L_s} v \end{aligned}$$

Daí:

$$\left(\frac{d}{dt}\right) i_r^d = \left(\frac{1}{L_r L_s - m_{sr}^2}\right) (m_{sr} R_s i_s - L_s R_r i_r^d - n_1 X_r L_s i_r^q - m_{sr} v)$$

fazendo, $(L_r L_s - m_{sr}^2) = \sigma$, vem a equação (4.11.), a seguir:

$$\left(\frac{d}{dt}\right) i_r^d = \left(\frac{m_{sr} R_s}{\sigma}\right) i_s - \left(\frac{L_s R_r}{\sigma}\right) i_r^d - \left(\frac{n_1 L_s X_r}{\sigma}\right) i_r^q - \left(\frac{m_{sr}}{\sigma}\right) v \quad (4.11)$$

Substituindo a equação (4.11.) em (4.8.), vem:

$$\begin{aligned} \left(\frac{d}{dt}\right) i_s &= -\frac{R_s}{L_s} i_s - \frac{m_{sr}}{L_s} \left[\left(\frac{m_{sr} R_s}{\sigma}\right) i_s - \left(\frac{L_s R_r}{\sigma}\right) i_r^d - \left(\frac{L_s n_1 X_r}{\sigma}\right) i_r^q - \right. \\ &\left. - \frac{m_{sr}}{\sigma} \right] + \frac{v}{L_s} \end{aligned}$$

$$\begin{aligned} \left(\frac{d}{dt}\right) i_s &= -\frac{R_s}{L_s} i_s - \left(\frac{m_{sr}^2}{L_s \cdot \sigma}\right) i_s + \left(\frac{m_{sr} R_r}{\sigma}\right) i_r^d + \left(\frac{n_1 X_r m_{sr}}{\sigma}\right) i_r^q + \\ &+ \left(\frac{m_{sr}^2}{L_s \cdot \sigma}\right) v + \frac{v}{L_s} \end{aligned}$$

$$\left(\frac{d}{dt}\right) i_s = - \left(\frac{R_s}{L_s} + \frac{m_{sr}^2 R_s}{L_s \sigma} \right) i_s + \left(\frac{m_{sr} R_r}{\sigma} \right) i_r^d + \left(\frac{n_1 X_r m_{sr}}{\sigma} \right) i_r^q +$$

$$\left(\frac{m_{sr}^2}{L_s \sigma} + \frac{1}{L_s} \right) v$$

$$\left(\frac{d}{dt}\right) i_s = \left(\frac{\sigma R_s + m_{sr}^2 R_s}{\sigma \cdot L_s} \right) i_s + \left(\frac{m_{sr} R_r}{\sigma} \right) i_r^d + \left(\frac{n_1 X_r m_{sr}}{\sigma} \right) i_r^q +$$

$$\left(\frac{m_{sr}^2 + \sigma}{\sigma L_s} \right) v$$

Como, $\sigma = L_r L_s - m_{sr}^2$, vem que:

$$\left(\frac{d}{dt}\right) i_s = - \left(\frac{R_s L_r}{\sigma} \right) i_s + \left(\frac{m_{sr} R_r}{\sigma} \right) i_r^d + \left(\frac{n_1 X_r m_{sr}}{\sigma} \right) i_r^d + \left(\frac{L_r}{\sigma} \right) v \quad (4.12.)$$

Juntando as equações, (4.10.), (4.11.) e (4.12.), na forma matricial, tem-se a equação (4.13.a) e (4.13.b):

$$\frac{d}{dt} \begin{bmatrix} i_s \\ i_r^d \\ i_r^q \end{bmatrix} = \begin{bmatrix} -\frac{R_s L_r}{\sigma} & \frac{m_{sr} R_r}{\sigma} & \frac{n_1 X_r m_{sr}}{\sigma} \\ \frac{m_{sr} R_s}{\sigma} & -\frac{L_s R_r}{\sigma} & -\frac{L_s n_1 X_r}{\sigma} \\ \frac{n_1 X_r m_{sr}}{L_r} & \frac{n_1 X_r}{L_r} & -\frac{R_r}{L_r} \end{bmatrix} \begin{bmatrix} i_s \\ i_r^d \\ i_r^q \end{bmatrix} + \begin{bmatrix} \frac{L_r}{\sigma} \\ \frac{m_{sr}}{\sigma} \\ 0 \end{bmatrix} v \quad (4.13.)$$

$$T = n \cdot m_{sr} (i_s^d \ i_r^q) \quad (4.13.b)$$

4.4. Simulação das equações do motor:

Utilizando a equação (4.13.a), como se apresenta, em forma de variáveis de estado, juntamente com a equação (4.13.b), faz-se a simulação do motor monofásico de indução. Para essa simulação numérica, utilizou-se o método de Runge-Kutta para a solução das equações diferenciais, juntamente com os métodos auxiliares de convergência de Adams-Bashforth (preditor) e Adams-Moulton (corretor). O programa denominado SIMULA WATFIV, é apresentado no Apêndice (B-4).

Os valores instantâneos de tensão de alimentação, corrente do estator e torque apresentados, são para uma relação tensão-frequência de alimentação linear.

4.4.1. Simulação do motor monofásico de indução, alimentação senoidal:

Com o objetivo de testar o programa utilizado, fez-se algumas simulações com tensão de alimentação senoidal, frequência de alimentação de 60 Hz, que apresentaram os seguintes resultados:

- Para frequência do rotor nula, figura (4.2.), o torque médio é praticamente nulo, com uma pequena tendência a um valor negativo.

O motor se comporta como um circuito altamente reativo, com a corrente do estator atrasada quase 90° com relação à tensão de alimentação.

- Para frequência do rotor igual a frequência do estator, rotor travado, o torque instantâneo é nulo.

- Para frequência do rotor nominal, figura (4.3.), o torque médio é elevado. Assumindo valores instantâneos negativos. O torque traçado em função do tempo não é constante, apresentando uma frequência igual a duas vezes a frequência da tensão de alimentação.

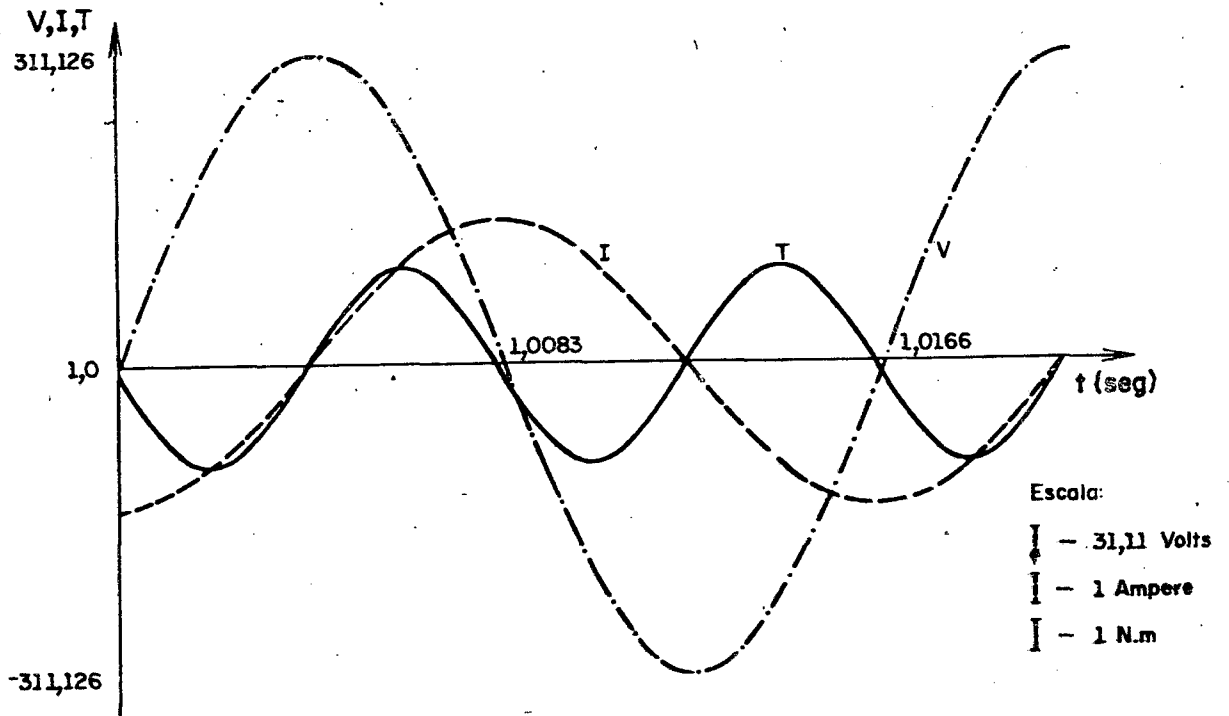


Figura 4.2. - Tensão de alimentação senoidal, frequência de alimentação 60Hz, frequência do rotor nula

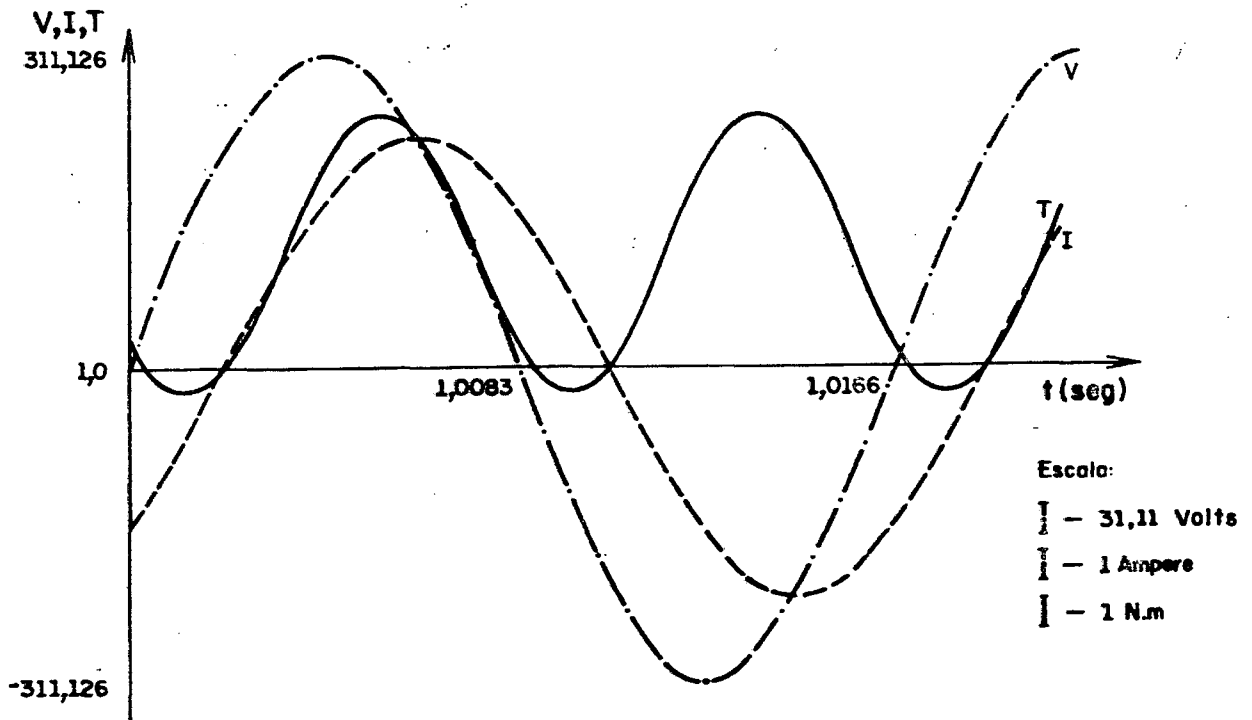


Figura 4.3. - Tensão de alimentação senoidal, frequência de alimentação, 60 Hz, frequência do rotor nominal (2,5 Hz)

4.4.2. Simulação do motor monofásico de indução alimentado por inversor:

Utilizando o programa SIMULA WATFIV, Apêndice (C-4), com as equações (4.13.a) e (4.13.b) obtem-se a simulação do motor monofásico de indução alimentado por inversor.

A relação tensão-frequência de alimentação é linear.

Para cada frequência de alimentação de 10 a 60 Hz, foram obtidas curvas para várias frequências do rotor, sendo apresentadas nas figuras (4.4.) a (4.15.) as frequências do rotor nula e nominal, que mostra o comportamento do motor monofásico de indução alimentado por inversor.

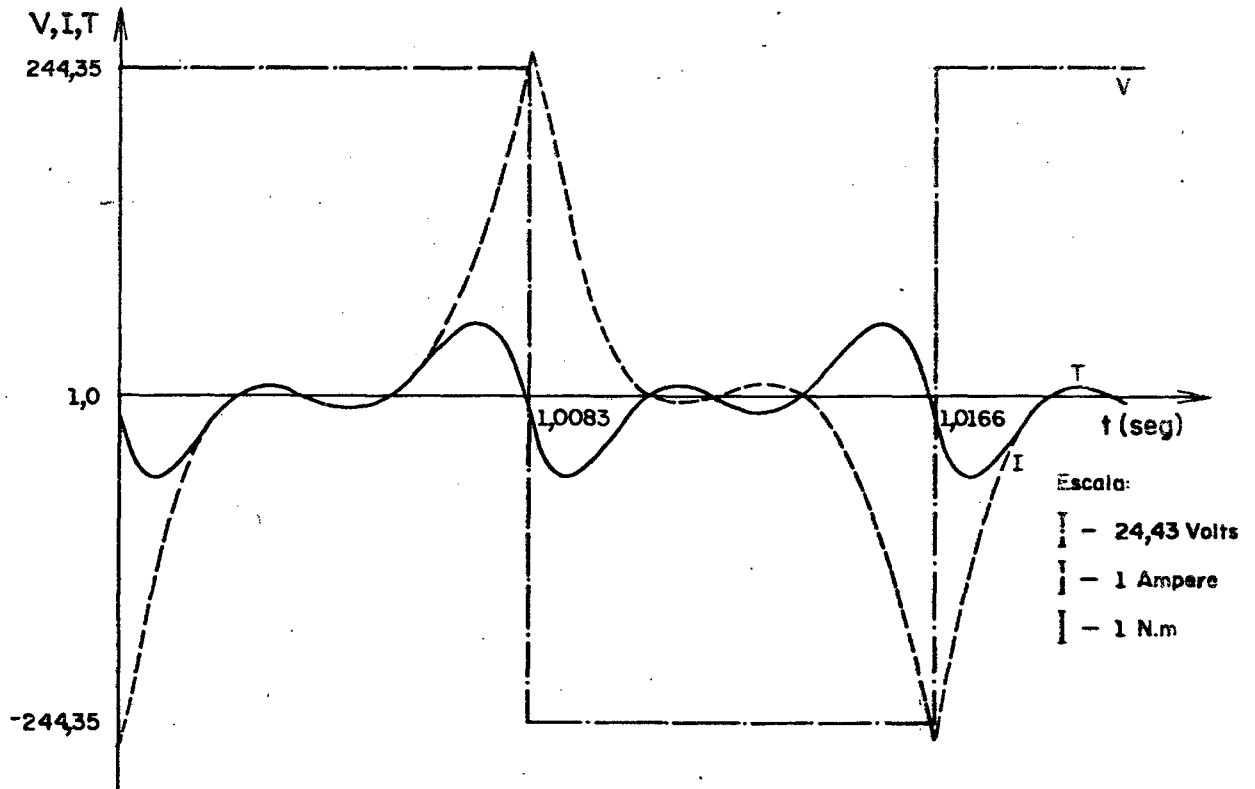


Figura 4.4. - Tensão de alimentação retangular, freqüência de alimentação 60Hz, freqüência do rotor nula.

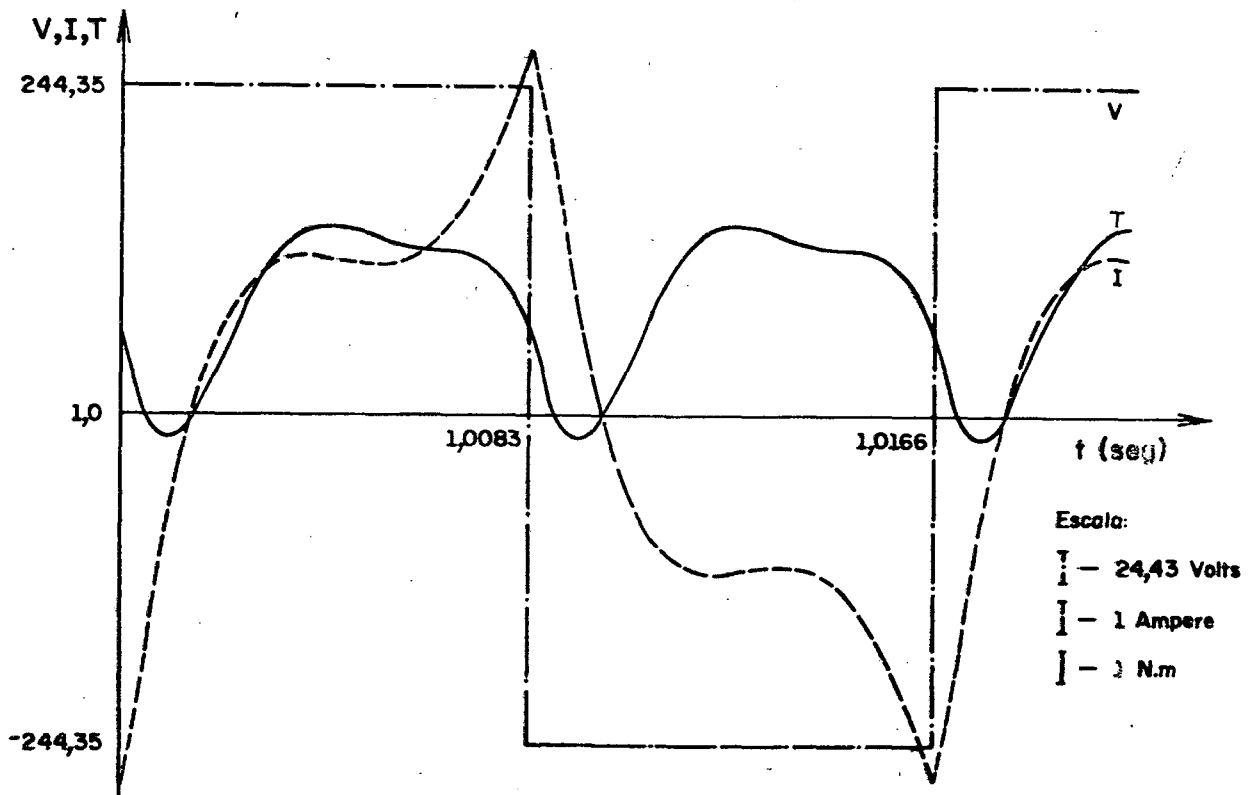


Figura 4.5. - Tensão de alimentação retangular, freqüência de alimentação 60Hz, freqüência do rotor nominal (2,5Hz) - Lei tensão-freqüência de alimentação linear.

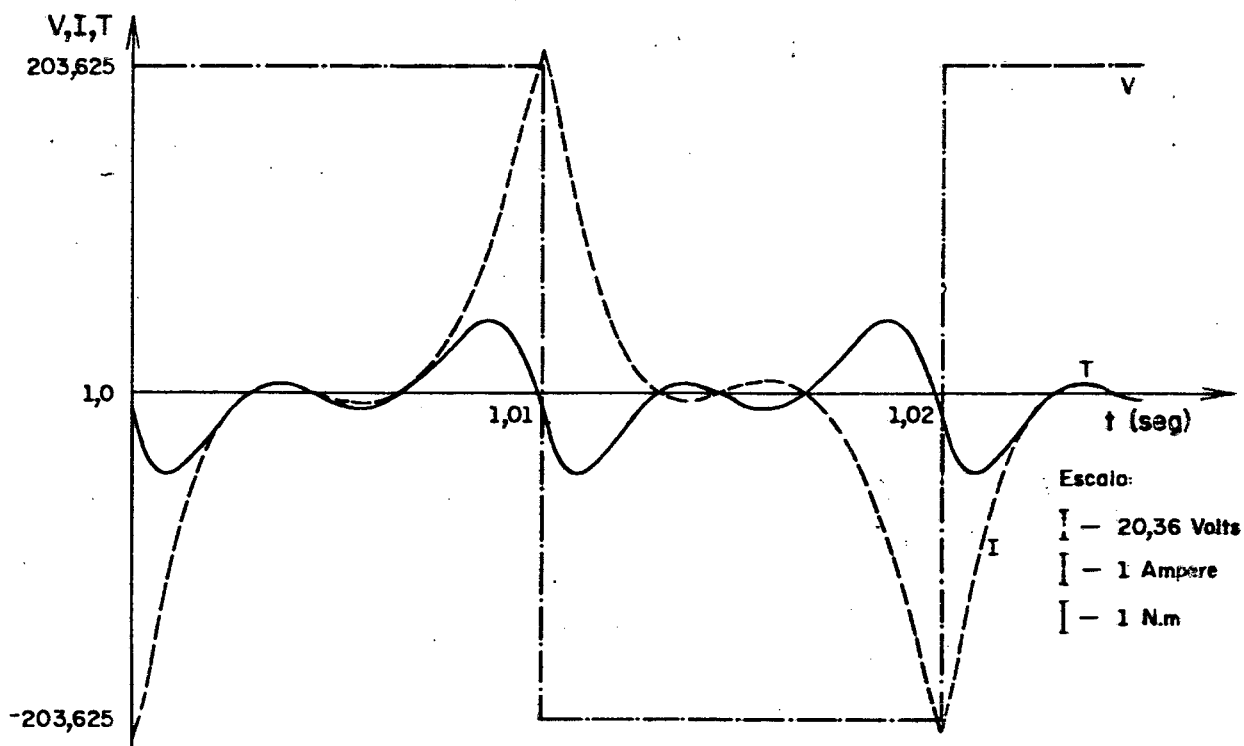


Figura 4.6. Tensão de alimentação retangular, freqüência de alimentação 50 Hz, freqüência do rotor nula - Lei tensão de alimentação linear.

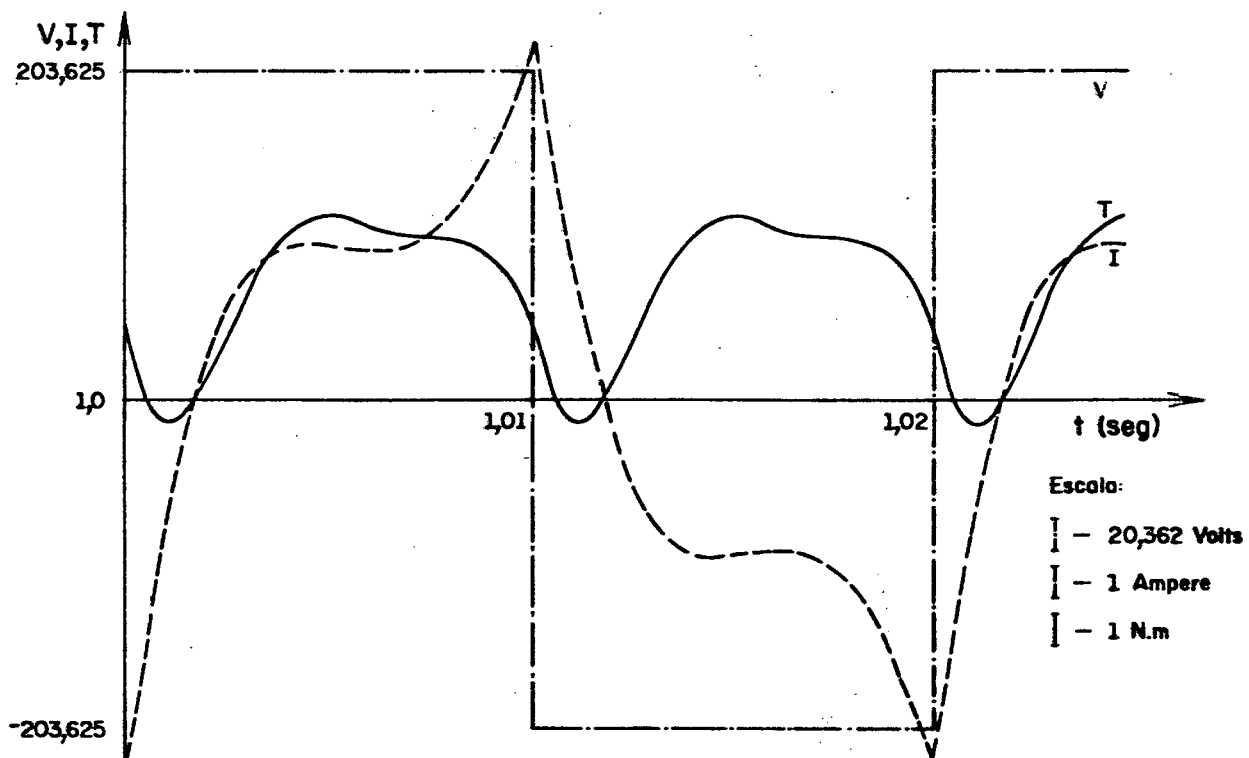


Figura 4.7. - Tensão de alimentação retangular, freqüência de alimentação 50 Hz freqüência do rotor nominal (2,5 Hz). Lei tensão-freqüência de alimentação linear.

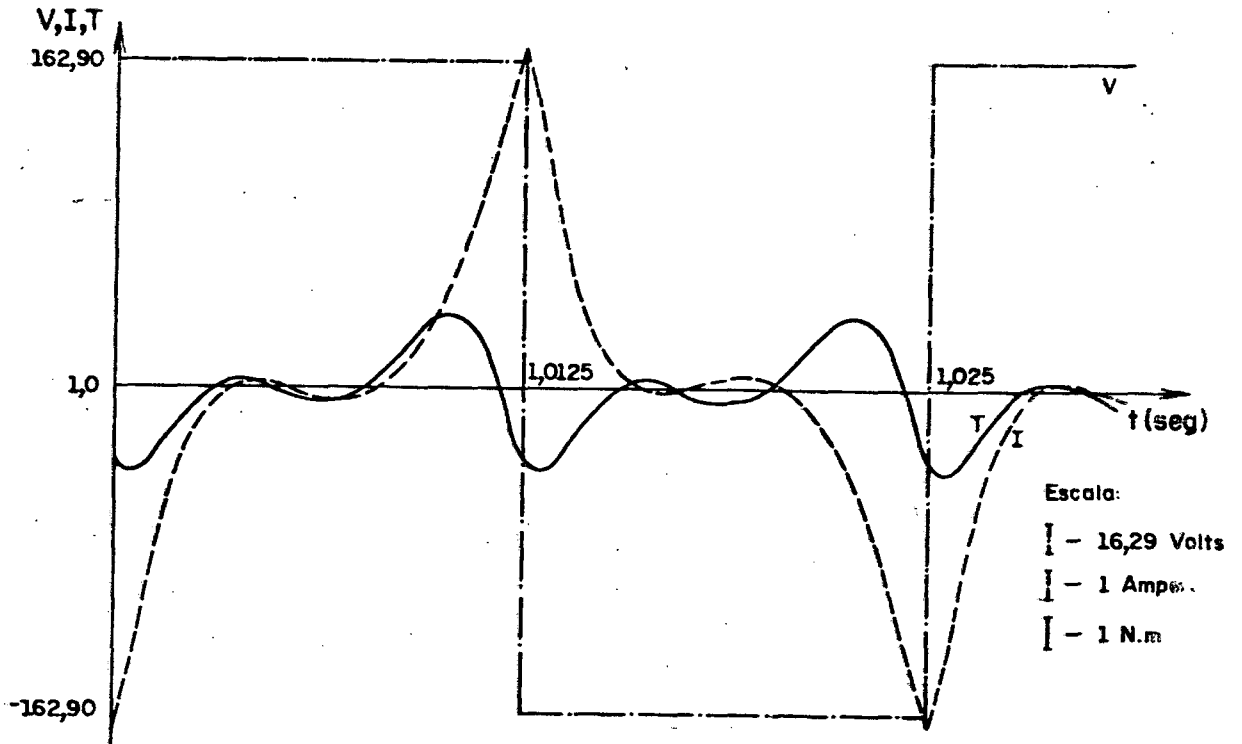


Figura 4.8. - Tensão de alimentação retangular, freqüência de alimentação 40 Hz, freqüência do rotor nula - Lei tensão-freqüência de alimentação Linear.

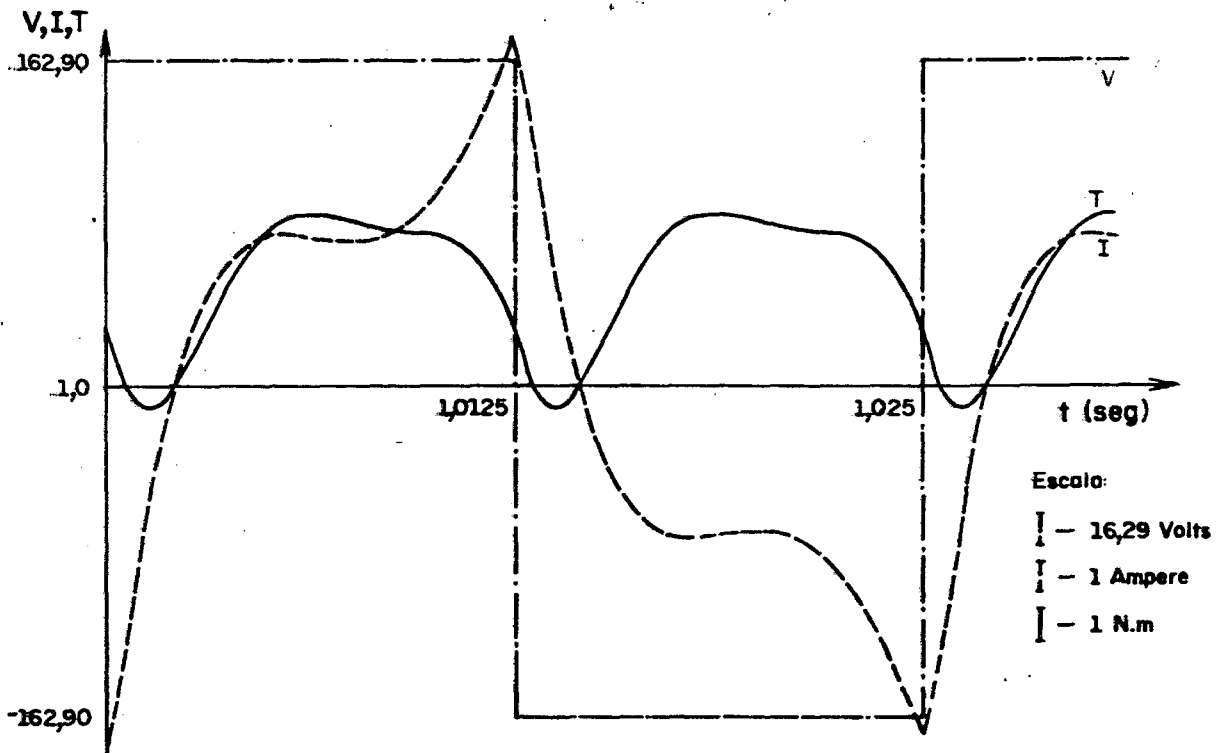


Figura 4.9. - Tensão de alimentação retangular, freqüência de alimentação 40 Hz Tensão do rotor nominal (2,5 Hz) Lei tensão-freqüência de alimentação linear.

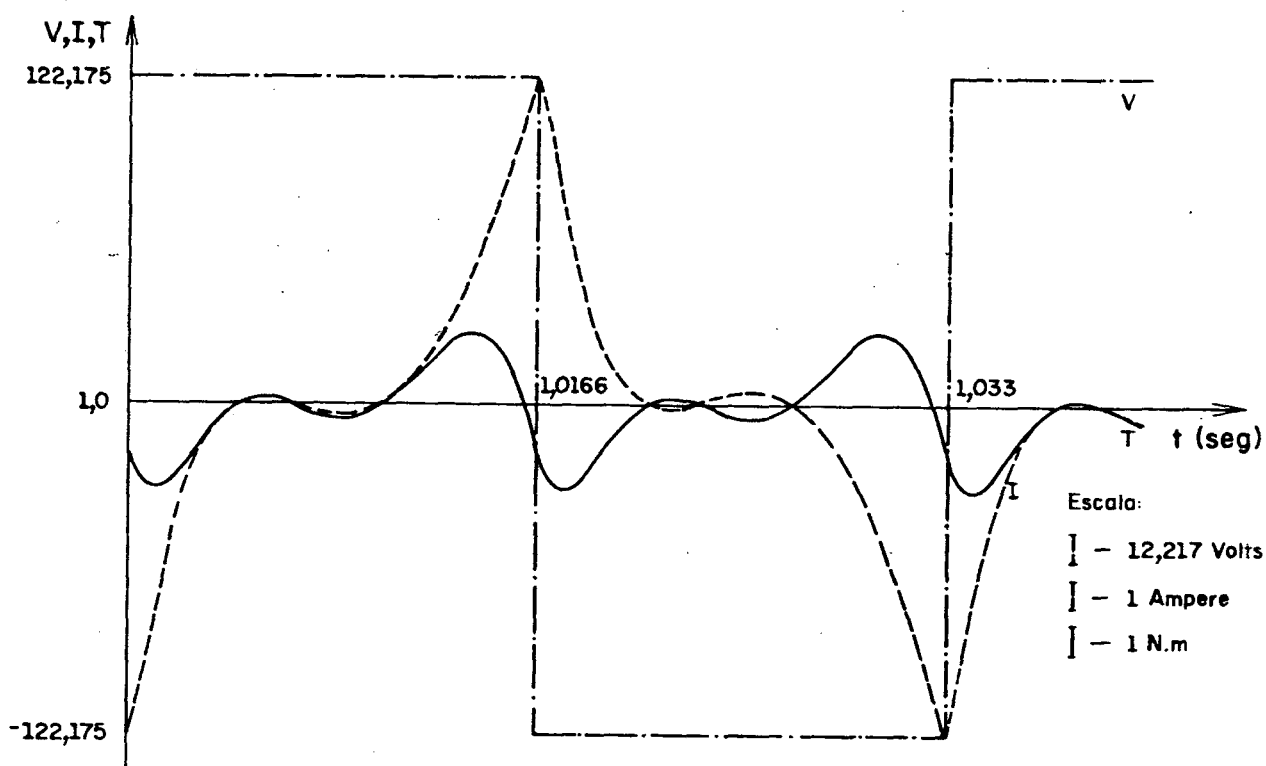


Figura 4.10. - Tensão de alimentação retangular, freqüência de alimentação 30 Hz, freqüência do rotor nula - Lei tensão-freqüência de alimentação linear.

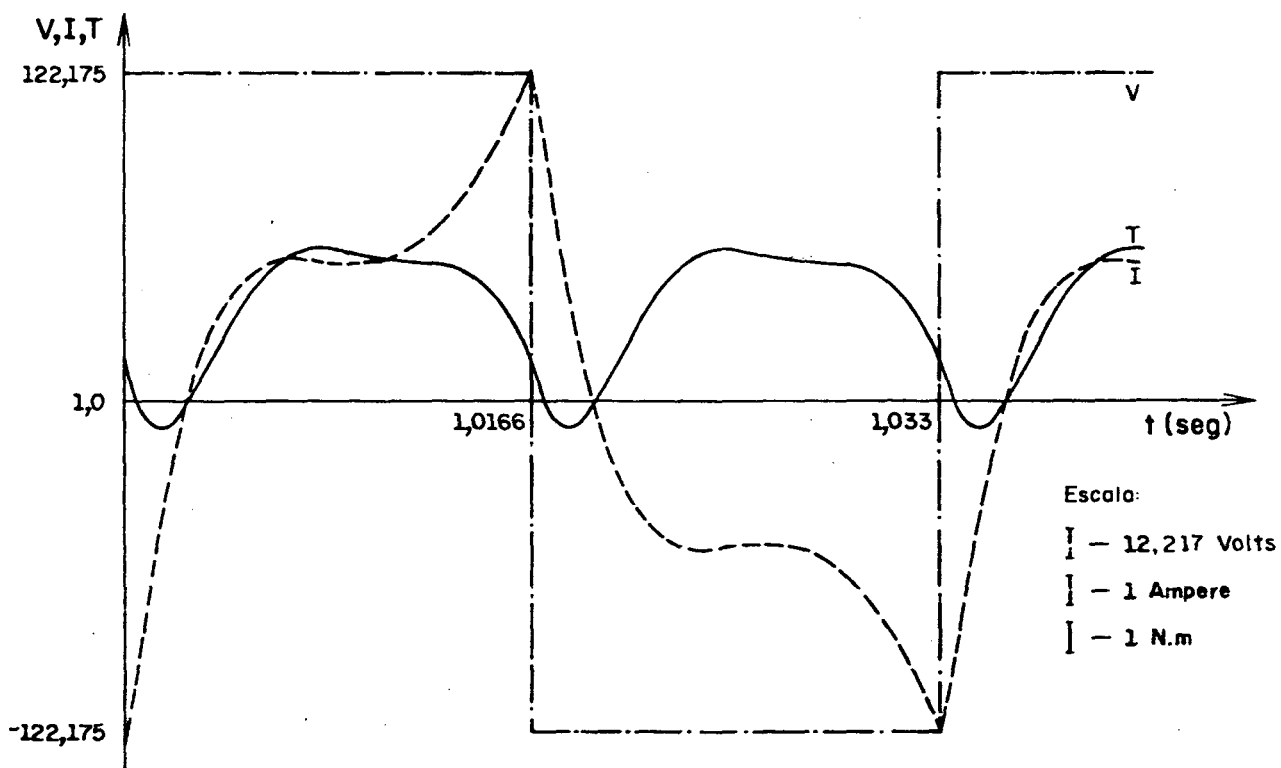


Figura 4.11. - Tensão de alimentação retangular, freqüência de alimentação 30 Hz, freqüência do rotor nominal (2,5Hz) - Lei tensão-freqüência de alimentação linear.

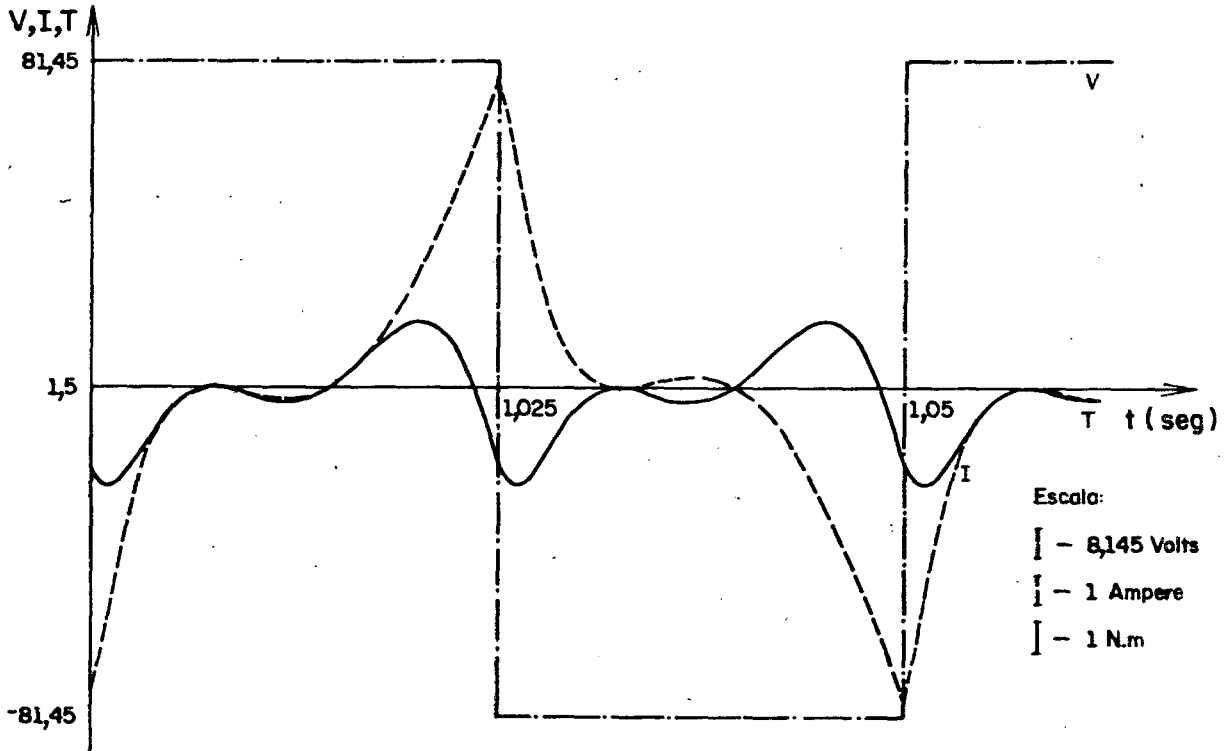


Figura 4.12. Tensão de alimentação retangular, frequência de alimentação 20 Hz, frequência do rotor nula - Lei tensão-freqüência de alimentação linear.

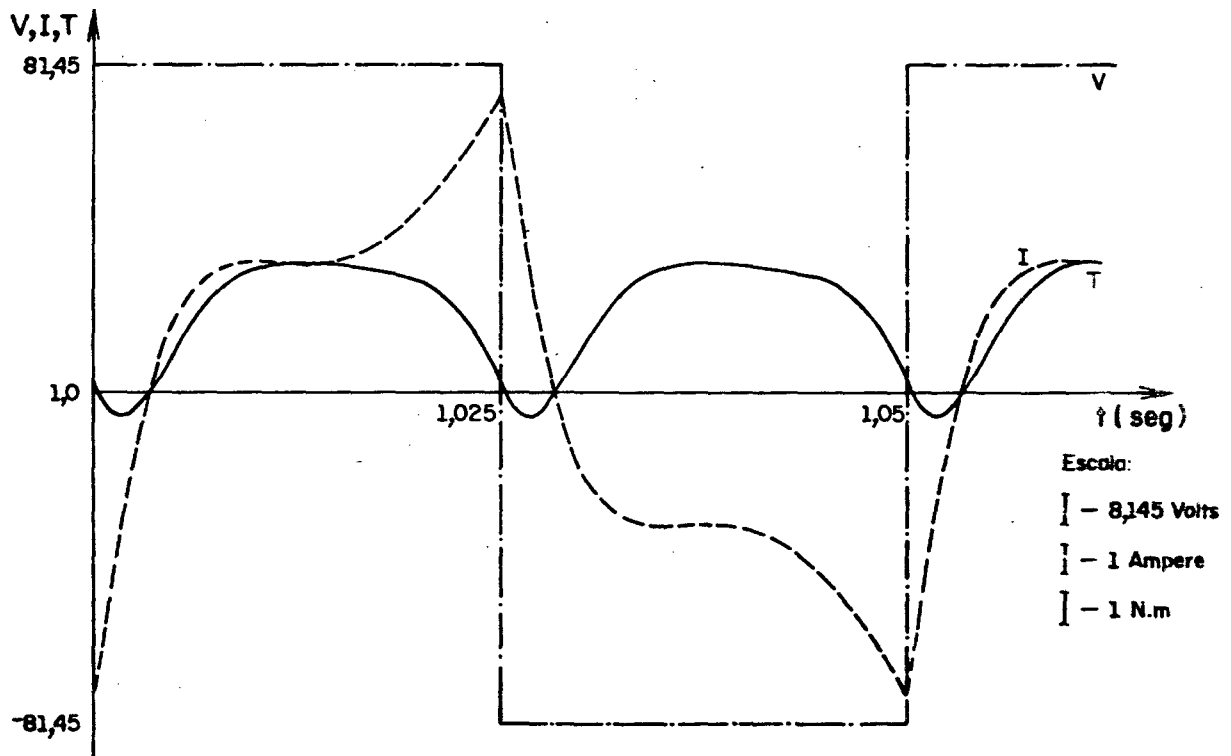


Figura 4.13. - Tensão de alimentação retangular, frequência de alimentação 20 Hz, frequência do rotor nominal (2,5Hz) - Lei tensão-freqüência de alimentação linear.

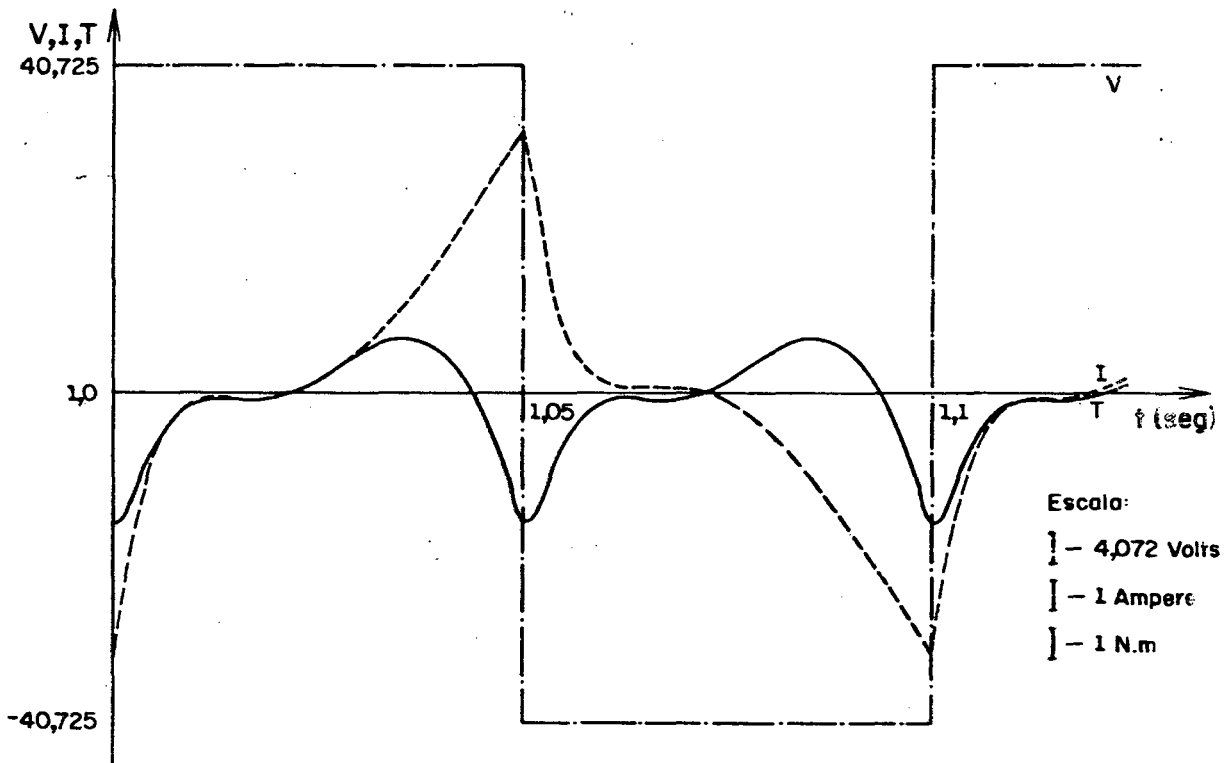


Figura 4.14. Tensão de alimentação retangular, freqüência de alimentação 10 Hz
freqüência do rotor nula, Lei tensão-freqüência de alimentação
linear.

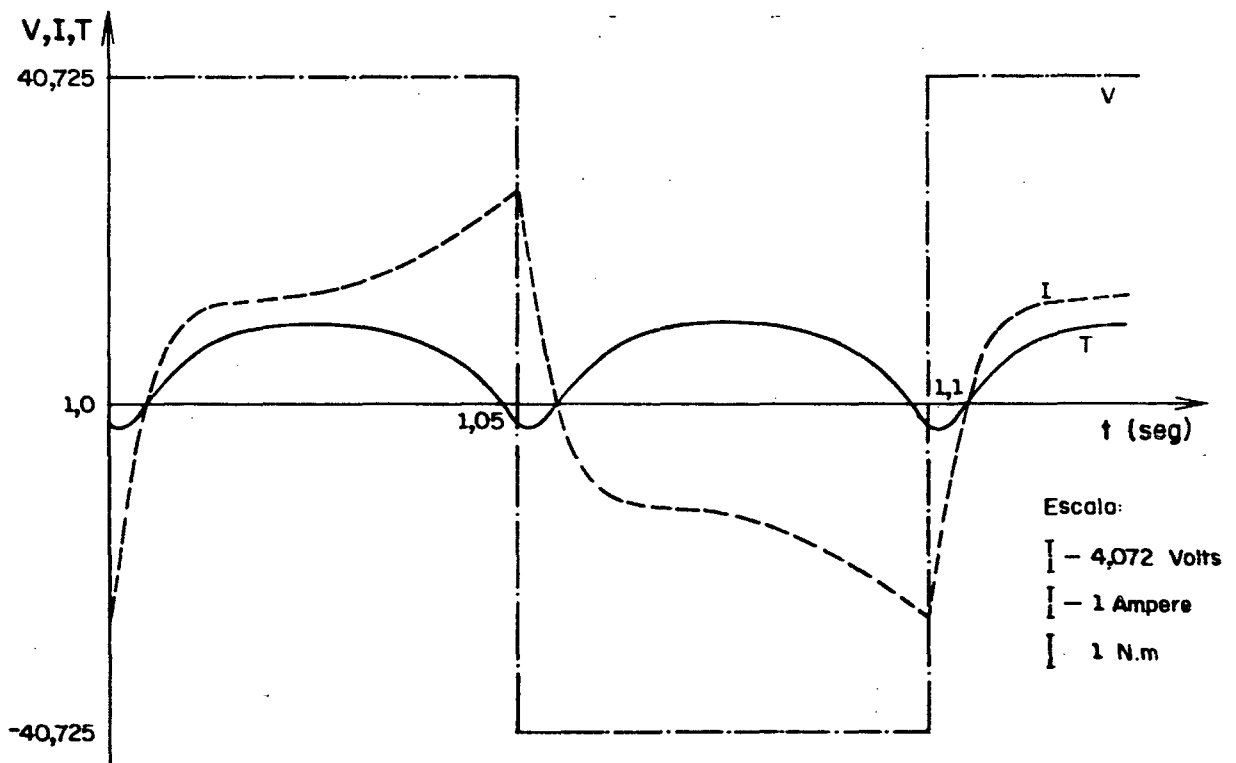


Figura 4.15. Tensão de alimentação retangular, freqüência de alimentação 10 Hz
freqüência do rotor nominal (2,5 Hz) - Lei tensão-freqüência de
alimentação linear

4.5. Análise dos resultados obtidos na simulação:

As figuras (4.4. a 4.15), mostram as simulações para tensão de alimentação retangular, lei tensão-frequência de alimentação linear. Para cada frequência de alimentação de 10 a 60Hz, foram apresentadas nestas figuras, as simulações para frequências do rotor nula e nominal (2,5Hz).

Para cada frequência de alimentação, observa-se que a corrente do estator possui valor médio nulo e que o seu valor eficaz aumenta com a frequência do rotor.

O torque médio para frequência do rotor nula, é nulo. Seu valor cresce com a frequência do rotor, para uma mesma frequência de alimentação.

O torque instantâneo para essa mesma condição não é nulo. Ele é produzido pelas harmônicas da corrente do rotor, que criam campo girante com velocidade diferente da velocidade síncrona.

Observa-se ainda, que o torque médio cai com a frequência de alimentação. Isso ocorre devido ao fluxo não ser constante, já que a lei tensão-frequência de alimentação usada na simulação é linear.

4.6. Obtenção da corrente do estator em laboratório:

Para se conseguir a forma de onda da corrente do estator em laboratório utilizou-se o sistema representado na figura (4.16.).

As figuras (4.17.) e (4.18.) são fotografias das formas de onda da corrente do estator, com frequência de alimentação de 60Hz e frequências do rotor nula e nominal (2,5Hz), respectivamente, para uma tensão de alimentação retangular e lei tensão-frequência de alimentação linear.

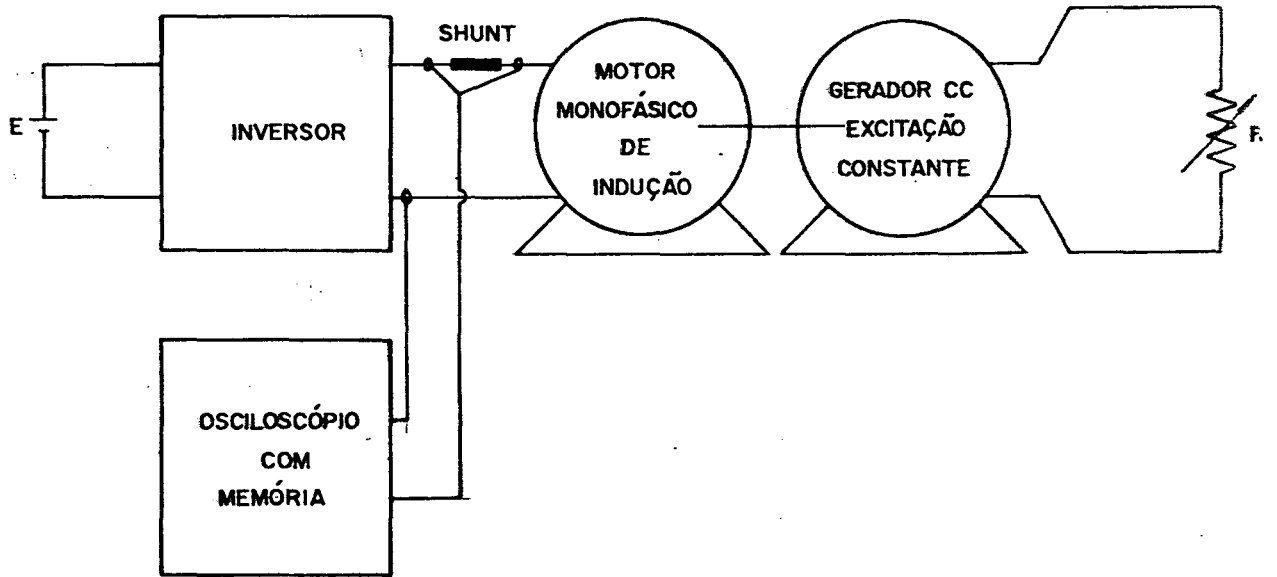


Figura 4.16. Sistema utilizado para obtenção da corrente do estator

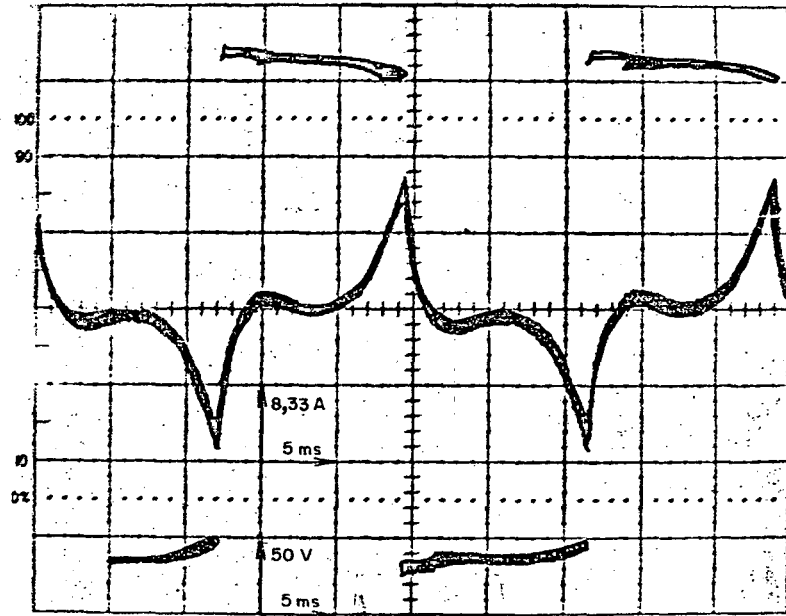


Figura 4.17. - Tensão e corrente do estator para frequência do rotor nula.

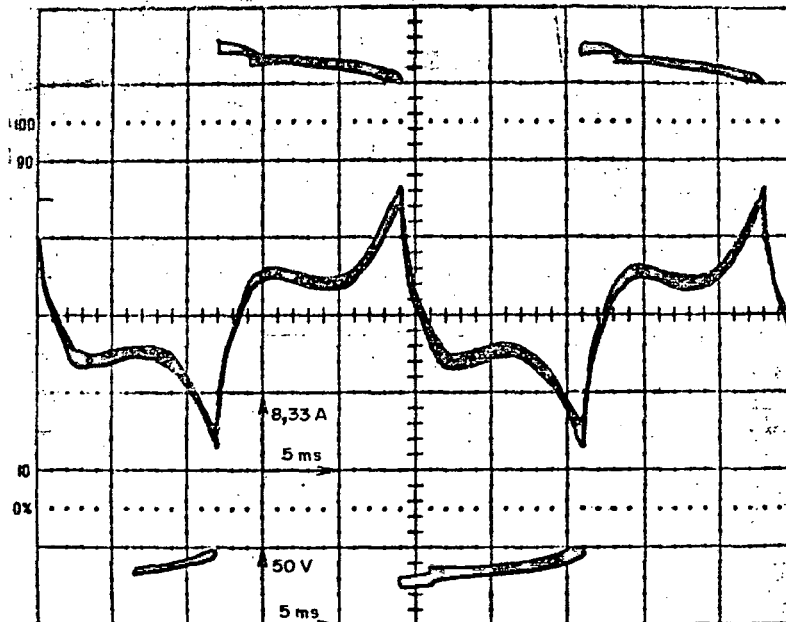


Figura 4.18. - Tensão e corrente do estator para frequência do rotor nominal (2,5Hz)

As figuras (4.17.) e (4.18.), obtidas experimentalmente, foram estabelecidas para as mesmas condições das figuras (4.4.) e (4.5.) obtidas por simulação. Comparando-se as formas da corrente do estator verifica-se a validade do modelo e da simulação empregada.

4.7. Valor de pico da corrente do estator:

Tomando os valores de pico da corrente do estator para várias frequências de alimentação e vários valores de frequência do rotor, obtêm-se as curvas da figura (4.19.) que são fundamentais no projeto dos inversores.

As curvas pontilhadas representam os valores obtidos em laboratório.

4.8. Conclusões:

Uma análise dos resultados obtidos na simulação mostra que o motor monofásico de indução possui torque instantâneo até mesmo para a velocidade de sincronismo ($f_r=0$), que seja alimentado por tensão senoidal ou retangular.

Quando o motor é alimentado por tensão senoidal e se encontra bloqueado, tanto o torque instantâneo quanto o torque médio, são nulos. Esse fenômeno, explicado pela teoria clássica das máquinas de indução, se deve ao fato de o campo de sequência positiva ser igual ao campo de sequência negativa. [1] , [2] , [3] .

Observa-se ainda, que o torque instantâneo é ondulado, o que poderia provocar em baixas frequências de alimentação, um movimento rotativo pulsante no eixo do motor, sobretudo para motores com baixo momento de inércia.

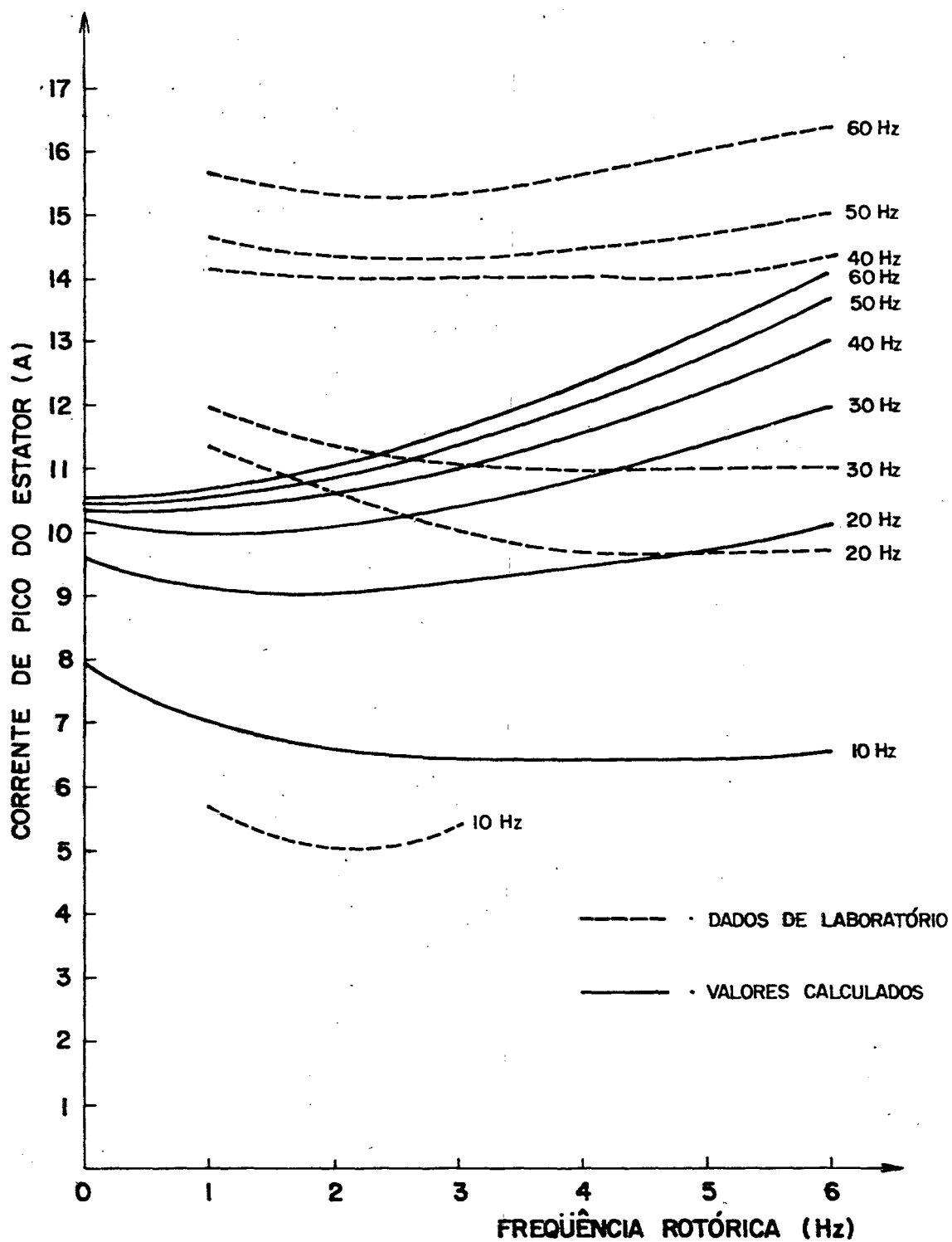


Figura 4.19 - Corrente do estator em função da frequência rotórica para várias frequências de alimentação. (Dados de laboratório e valores calculados).

Na figura (4.19), para uma mesma frequência de alimentação, verifica-se que o pico da corrente do estator sofre uma pequena variação com a frequência do rotor, e que o seu máximo valor ocorre para maior frequência de alimentação e maior frequência do rotor.

Se o fluxo do motor fosse constante, para todas as frequências de alimentação, as curvas da figura (4.19), tenderiam a ser iguais.

Uma comparação entre os valores calculados e os obtidos em laboratório é prejudicada pela imprecisão da leitura do valor de pico da corrente do estator no osciloscópio e ainda devido às elevadas perdas no inversor que não são consideradas nos valores calculados.

CAPÍTULO 5

ESTUDO DO CONTROLE DO TORQUE MÁXIMO5.1. Introdução:

Seja a figura(5.1.); na qual se representa duas curvas de torque em função da velocidade do motor monofásico de indução, para duas freqüências de alimentação diferentes.

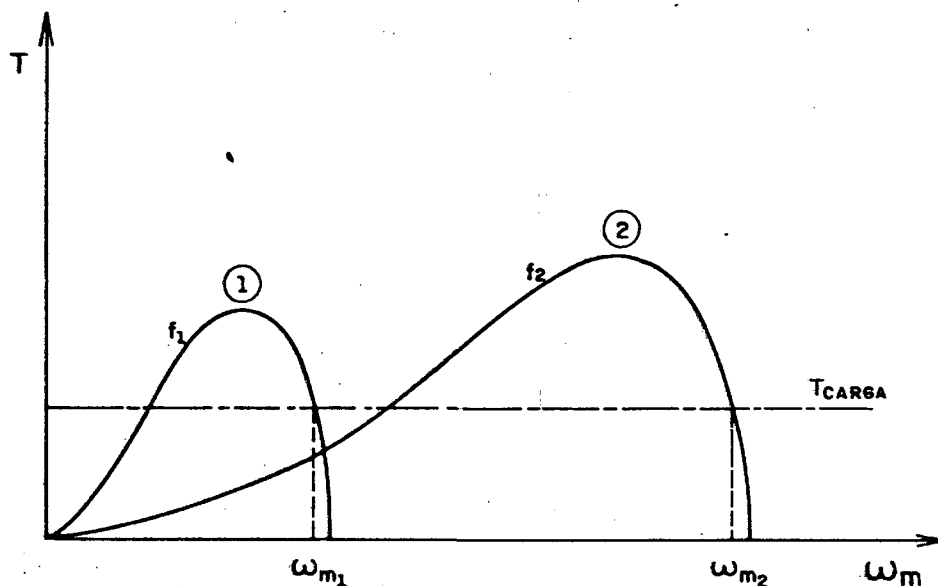


Figura 5.1. - Curvas de torque em função da velocidade para duas freqüências de alimentação diferentes e curva de carga.

Inicialmente o motor opera com freqüência f_1 e com velocidade de ω_{m1} . Deseja-se fazer com que o motor passe a operar com velocidade ω_{m2} . Para isto, deve-se fazer com que a freqüência de alimentação aumente de f_1 para f_2 .

Imagina-se que ocorra uma variação brusca na frequência de alimentação. Por ser a constante de tempo mecânica do motor elevada em relação à constante de tempo elétrica, a velocidade permanecerá instantaneamente igual a ω_{m1} . Como o motor passa a operar com a característica (2), na região vizinha de ω_{m1} , o torque de carga torna-se maior que o torque do motor. Ao invés dele sofrer um aumento de velocidade, sofrerá uma redução, até atingir a velocidade nula.

Este fato, mostra a necessidade de se aumentar a frequência de alimentação de uma maneira progressiva, de modo a se evitar a situação apresentada na figura (5.1.).

Considera-se, em seguida, a figura (5.2.).

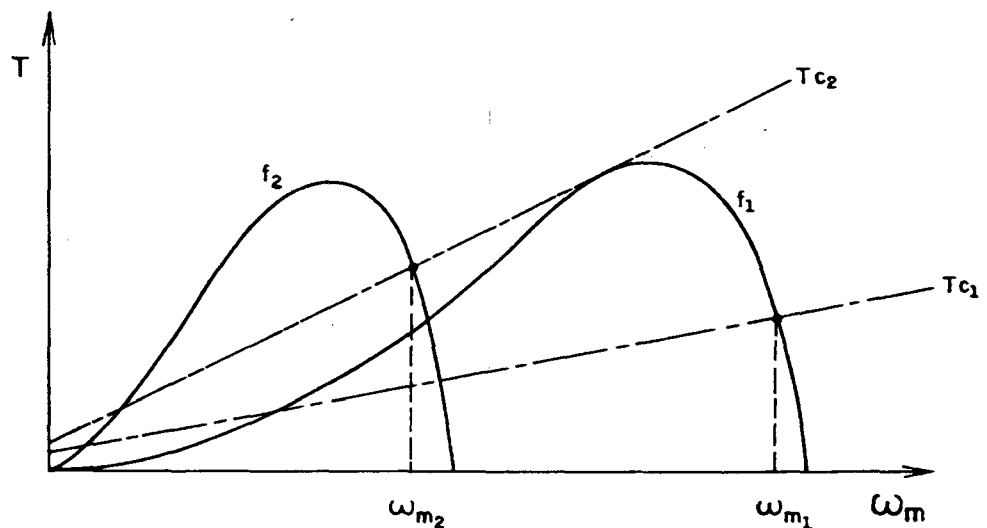


Figura 5.2. - Curvas de torque em função da velocidade para duas frequências de alimentação e variação da curva de carga.

Considera-se o motor alimentado inicialmente com frequência f_1 , acionando uma carga com característica torque em função da velocidade representada por T_{c1} . O motor opera, portanto, com velocidade ω_{m1} .

Considera-se em seguida, que a carga passe a apresentar a característica torque-velocidade representada na figura Tc_2 . A interseção com a curva f_1 ocorre numa região de instabilidade e a velocidade do motor se reduz a zero. Nesse caso o conversor não exercerá mais nenhum controle sobre o motor.

Porém, se imediatamente o motor passar a operar com a frequência de alimentação f_2 , a nova curva de torque fará com que sua velocidade seja ω_{m2} , numa região estável e sem risco de perda de controle.

As duas situações apresentadas nas figuras (5.1.) e (5.2.), mostram a necessidade de se exercer um controle do torque máximo que a carga pode solicitar do motor sem risco de perda de controle ou de estabilidade.

O objetivo deste capítulo é estabelecer métodos que permitam, de uma maneira simples, realizar este controle.

5.2. Relação entre o torque e a corrente contínua na entrada do inversor:

Considere o esquema representado na figura (5.3.):

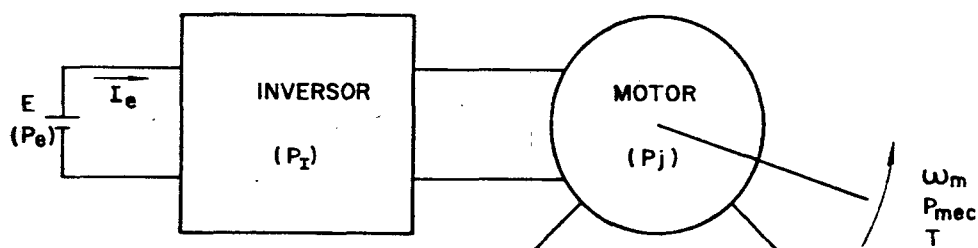


Figura 5.3. - Diagrama do motor monofásico de indução alimentado por inversor.

Onde:

P_e - potência da fonte de tensão contínua

P_i - perdas no inversor

P_j - perdas Joules no motor monofásico de indução.

P_{mec} - potência mecânica desenvolvida no eixo do motor

ω_m - velocidade mecânica do motor

T - torque desenvolvido no eixo do motor

Então:

$$P_e = P_i + P_j + P_{mec}$$

$$P_{mec} = P_e - P_i - P_j \quad (5.1.)$$

Como:

$$P_{mec} = T \cdot \omega_m$$

$$P_{mec} = T (\omega_s - \omega_r) \quad (5.2.)$$

$$P_e = E \cdot I_e \quad (5.3.)$$

Substituindo (5.2.) e (5.3.) em (5.1.) resulta:

$$T (\omega_s - \omega_r) = E \cdot I_e - P_i - P_j \quad (5.4.)$$

Para lei tensão-frequência de alimentação linear, tem-se:

$$\omega_s = K'E$$

Substituindo (5.5.) em (5.4.), vem que:

$$T (K'E - \omega_r) = E \cdot I_e - P_i - P_j$$

$$T = \frac{E \cdot I_e}{(K'E - \omega_r)} - \frac{P_i}{(K'E - \omega_r)} - \frac{P_j}{(K'E - \omega_r)} \quad (5.6.)$$

Como o motor opera com frequências do rotor muito pequenas fazendo $\omega_r \approx 0$ na expressão (5.6.) tem-se:

$$T = KI_e - \frac{K}{E} (P_e - P_j) \quad (5.7.)$$

Desprezando-se as perdas do inversor e do motor na expressão (5.7.), verifica-se que o torque é diretamente proporcional à corrente de entrada do inversor e independente da frequência de alimentação.

5.3. Relação entre o torque e a frequência do rotor:

A análise será feita a partir do circuito equivalente do motor monofásico de indução apresentado na figura (5.4.).

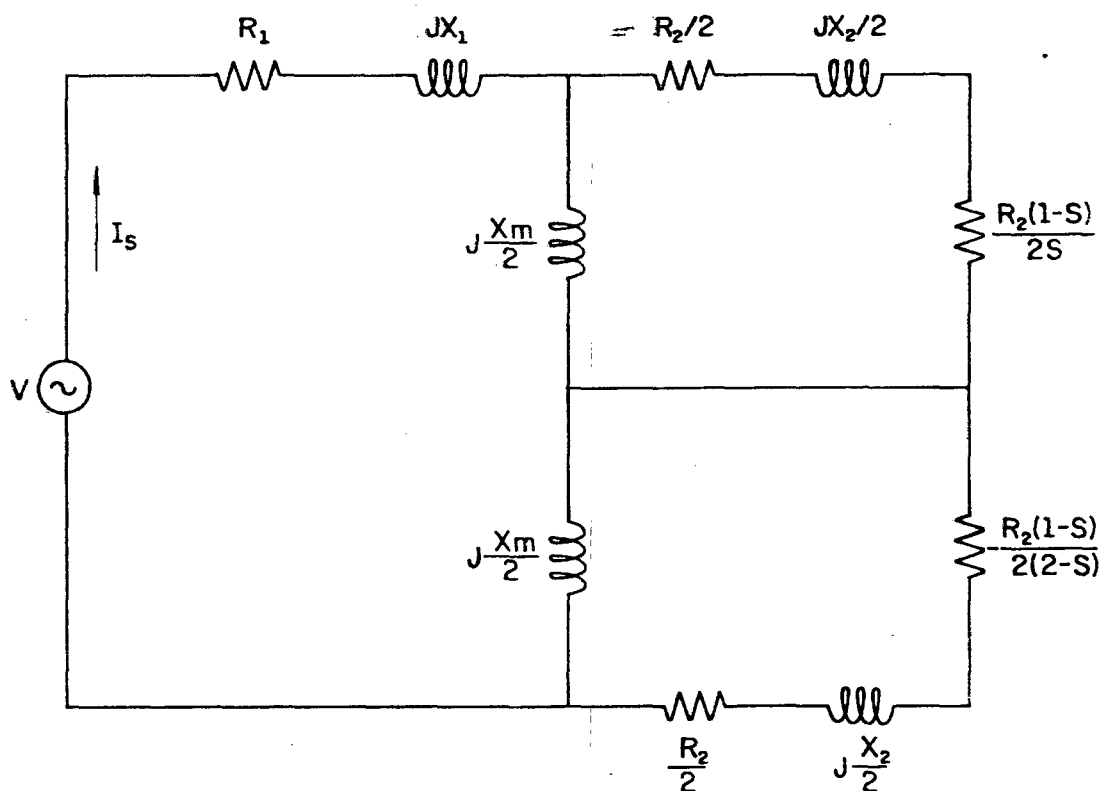


Figura 5.4. - Circuito equivalente do motor monofásico de indução.

Considera-se para efeito de simplificação que a resistência do estator é nula, daí:

$$R_1 = 0$$

Como o motor monofásico de indução opera em regime permanente com frequências do rotor muito baixas, considera-se que:

$$s = \frac{\omega_r}{\omega_s} \approx 0$$

Assim,

$$\frac{R_2 (1-s)}{2s} + \frac{R_2}{2} = \frac{R_2}{2s} = \frac{R_2}{2} \cdot \frac{\omega_r}{\omega_s}$$

e ainda:

$$-\frac{R_2 (1-s)}{2(2-s)} \approx -\frac{R_2}{2} \cdot \frac{1}{2 - \frac{\omega_r}{\omega_s}} \approx -\frac{R_2}{4}$$

$$-\frac{R_2}{4} + \frac{R_2}{2} = \frac{R_2}{4}$$

Então para $s \approx 0$ o circuito equivalente da figura (5.4.) se torna o da figura (5.5.).

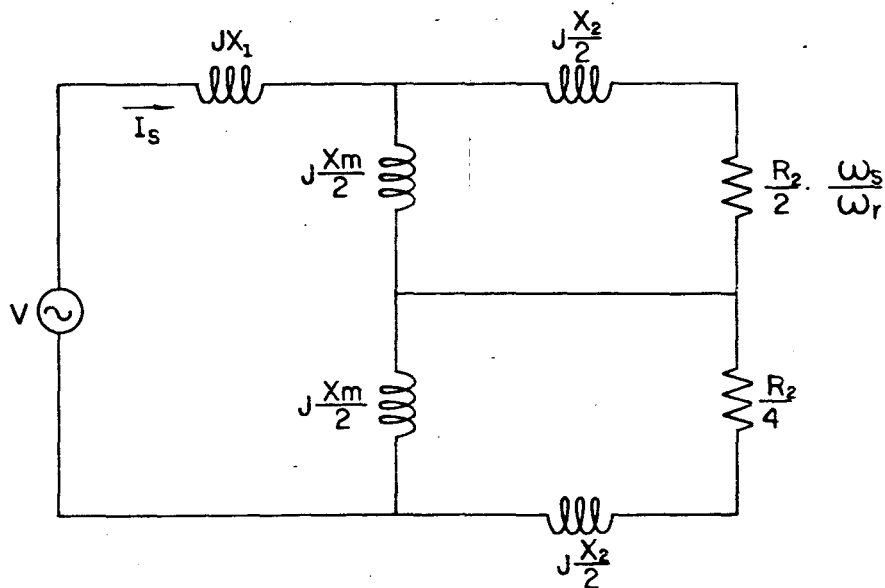


Figura 5.5. - Circuito equivalente aproximado para escorregamento e resistência do estator nulos.

Na figura (5.5.), vê-se que:

$$1) \frac{R_2}{2} \cdot \frac{\omega_s}{\omega_r} \gg \left| j\frac{X_2}{2} \right|$$

$$2) \left| j\frac{X_m}{2} \right| \gg \left| \frac{R_2}{2} \cdot \frac{\omega_s}{\omega_r} \right|$$

$$3) \left(\frac{R_2}{2} \cdot \frac{\omega_s}{\omega_r} \right) // \left| j\frac{X_m}{2} \right| \approx \left(\frac{R_2}{2} \cdot \frac{\omega_s}{\omega_r} \right)$$

$$4) \left(\frac{R_2}{2} \cdot \frac{\omega_s}{\omega_r} \right) \gg \left| \left(\frac{R_2}{4} + j\frac{X_2}{2} \right) \right| // \left| j\frac{X_m}{2} \right|$$

$$5) \left(\frac{R_2}{2} \cdot \frac{\omega_s}{\omega_r} \right) \gg \left| jX_1 \right|$$

Então, $\left(\frac{R_2}{2} \cdot \frac{\omega_s}{\omega_r} \right)$ é o único elemento do circuito que impede a circulação da corrente I_s , daí:

$$T = \frac{\text{Potência}}{\text{Velocidade}}$$

$$T = \frac{1}{\omega_m} \cdot \left(\frac{R_2}{2} \cdot \frac{\omega_s}{\omega_r} \right) \cdot I_s^2$$

$$T = \frac{1}{\omega_m} \cdot \left(\frac{R_2}{2} \cdot \frac{\omega_s}{\omega_r} \right) \cdot \frac{V^2}{\left(\frac{R_2}{2} \cdot \frac{\omega_s}{\omega_r} \right)^2}$$

$$T = \frac{1}{\omega_m} \cdot \frac{V^2 \cdot \omega_r}{\left(\frac{R_2}{2} \cdot \frac{\omega_s}{\omega_r} \right)}$$

$$T = \frac{1}{\omega_m} \cdot \frac{V^2 \cdot \omega_r}{\frac{R_2}{2} \cdot \omega_s}$$

Como:

$$\omega_m = \omega_s - \omega_r$$

$$\text{Para } \omega_r \approx 0,$$

$$\omega_m = \omega_s$$

Daí:

$$T = \frac{V}{\omega_s}^2 \cdot \frac{2}{R_2} \cdot \omega_r$$

Para uma lei tensão-freqüência de alimentação linear, a relação entre a tensão e a freqüência de sincronismo é constante:

$$\frac{V}{\omega_s} = K'$$

Então:

$$T = K'' \cdot \omega_r \quad (5.8.)$$

A expressão (5.8.) pode ser verificada na figura (5.1.), onde para baixos escorregamentos o torque é aproximadamente proporcional à freqüência rotórica para cada freqüência de alimentação. Ou seja, a freqüência do rotor é uma imagem aproximada do torque, para torque de carga menor ou igual ao torque nominal do motor.

5.4. Estudo experimental do torque em função da corrente contínua na entrada do inversor:

O sistema empregado para levantar as curvas características do torque em função da corrente contínua na entrada do inversor, é o que se apresenta na figura (5.6.).

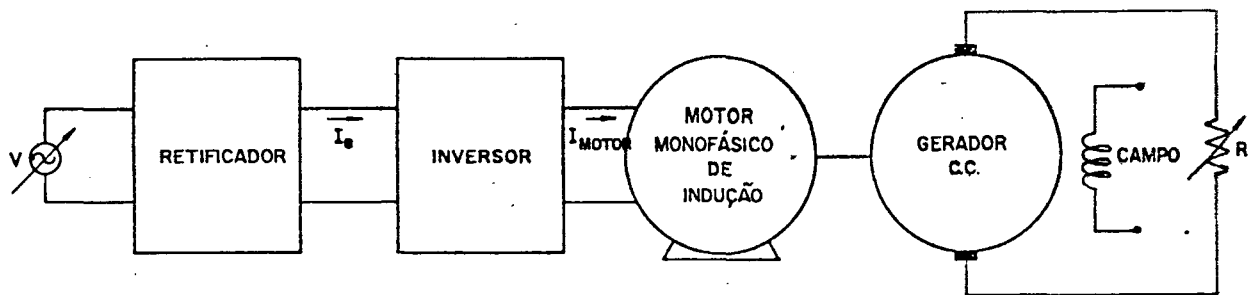


Figura 5.6. - Sistema empregado para levantar curvas características do torque.

O objetivo é verificar experimentalmente que a corrente contínua na entrada do inversor, representa o torque do motor.

Foi visto na expressão (5.8.) que a frequência do rotor é a imagem do torque, para baixos escorregamentos.

Traçando-se as curvas características da frequência do rotor em função da corrente contínua na entrada do inversor, para cada frequência de alimentação, tem-se indiretamente a relação entre o torque e essa corrente.

Se as curvas para cada frequência de alimentação se tornarem coincidentes, a corrente contínua na entrada do inversor poderá ser uma imagem do torque independente da frequência de alimentação.

Assim, utilizando o sistema da figura (5.6.) e obedecendo a lei tensão-frequência de alimentação linear, aplica-se uma determinada tensão através do transformador com variação contínua de tensão, coloca-se uma carga no eixo do motor através do gerador C.C. (excitação constante), mede-se a velocidade no eixo do sistema, lê-se a corrente I_e na entrada do inversor.

A carga no eixo do motor é variada com a carga do gerador C.C. Dessa maneira, obtêm-se as curvas da figura (5.7.).

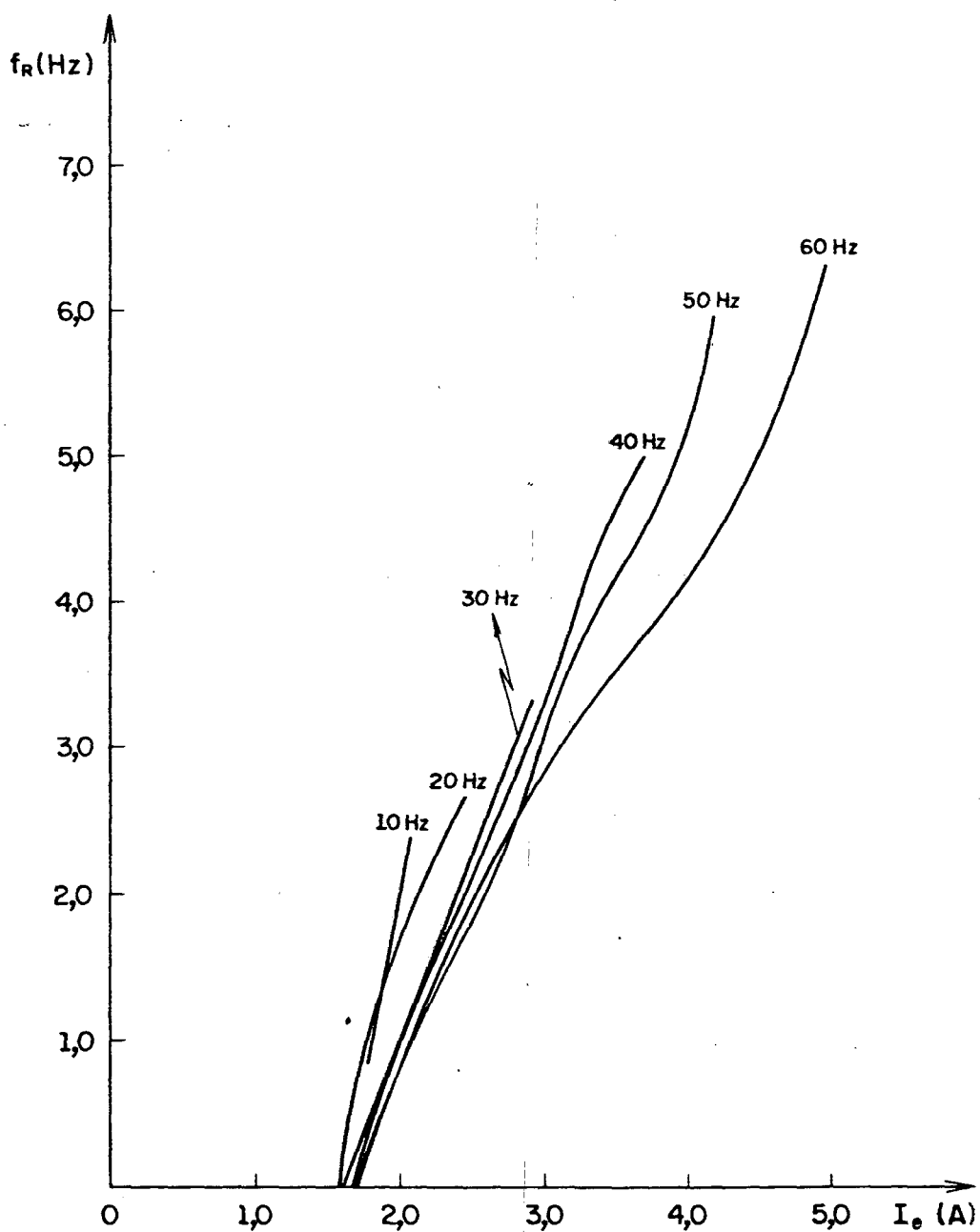


Figura 5.7 - Frequência do rotor em função da corrente contínua na entrada do inversor. Lei tensão-frequência de alimentação linear. (Dados de laboratório).

Observa-se na figura (5.7.) uma convergência de todas as curvas para um valor aproximado de I_e igual a 1,6 Ampères, quando o torque é nulo ($f_r = 0$).

Essa é a corrente consumida em perdas joulicas pelo inversor McMurray-Redforf utilizado. Ver apêndice B.

Nota-se, que as curvas para as várias frequências de alimentação, quando o torque e a corrente do inversor são mais elevados, se param-se.

Isso se deve ao fluxo não permanecer constante para todas as frequências de **alimentação**. Uma correção do fluxo pode aproximar mais essas curvas entre si.

5.5 - Torque em função da corrente contínua na entrada do inversor, para fluxo corrigido:

Utiliza-se a lei tensão-frequência de alimentação para correção do fluxo dada pela expressão (5.9.):

$$V = \frac{244,35}{60} f_s + 10 f_r$$

$$V = 4.072 f_s + 10 f_r \quad (5.9)$$

porque a tensão de alimentação é retangular e igual a 244,35 volts, para que sua componente fundamental tenha valor eficaz de 220 volts, ítem (4.2.) do capítulo 4.

Essa lei possibilita uma operação do motor com fluxo constante, para todas as frequências de alimentação, tornando possível o controle do torque através da corrente contínua na entrada do inversor.

O sistema empregado é apresentado na figura (5.6.).

Neste sistema, fixa-se a tensão da alimentação com o vari-
volt, impõe-se uma frequência do rotor, através da carga do gerador
C.C. e utilizando-se a expressão (5.9.) calcula-se a frequência de
alimentação, com a equação (5.10.):

$$f_s = \frac{V - 10f_r}{4,072} \quad (5.10.)$$

Assim, traça-se as curvas da figura (5.8.)

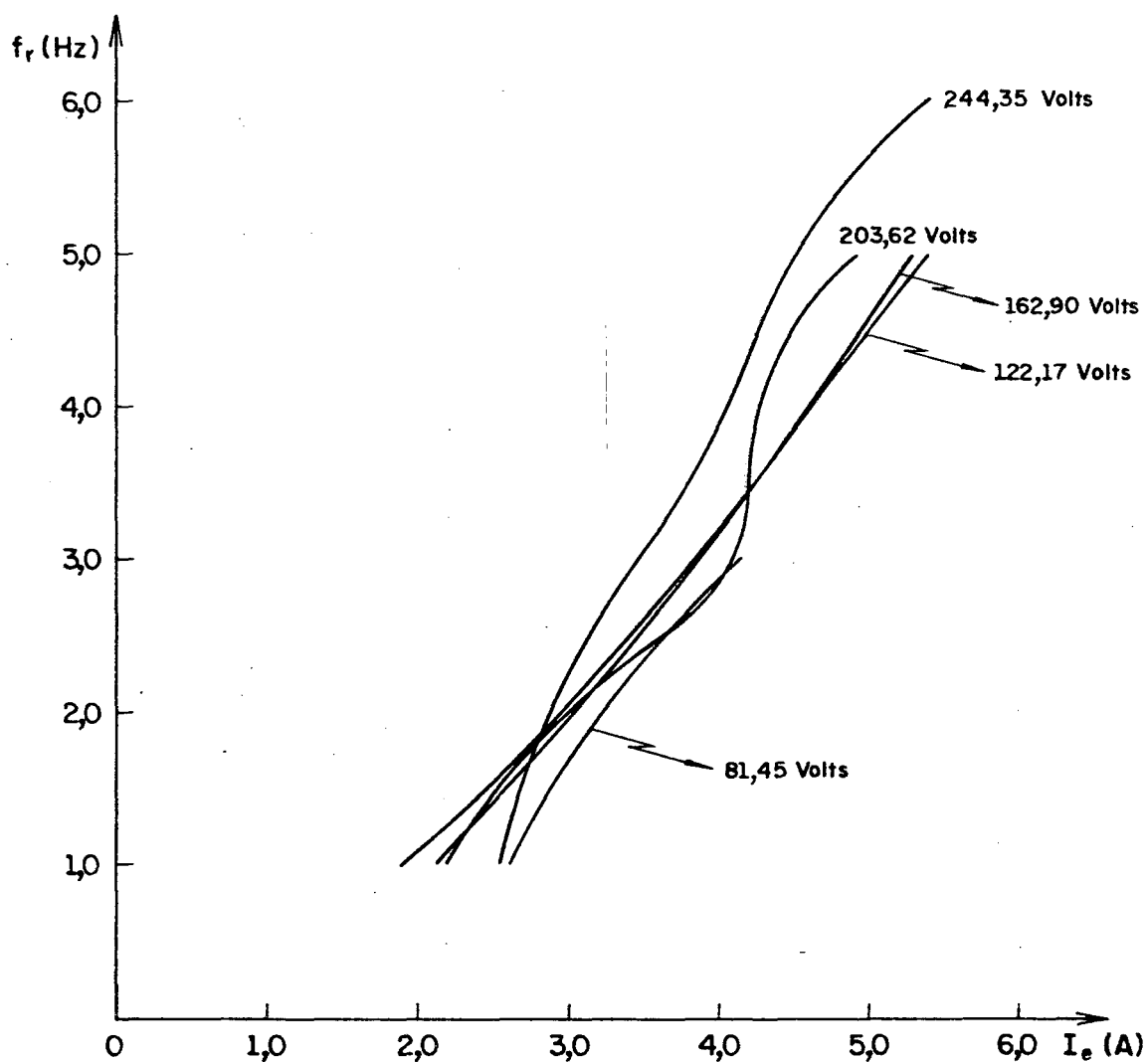


Figura 5.8 - Frequência do rotor em função da corrente contínua na entrada do inversor para fluxo corrigido. Lei ' tensão-frequência linear. (Dados do laboratório).

Com o fluxo corrigido, observa-se que há uma tendência das curvas, para os vários níveis de tensão de alimentação retangular, de se superporem.

Assim, como exemplo, tornando-se na figura (5.8.) o valor de corrente na entrada do inversor igual a 3 Ampêres, verifica-se que para todas as curvas o torque máximo e mínimo estão dentro de $\pm 15\%$ do valor central, obedecendo aproximadamente a expressão (5.7.), estabelecida no item (5.2.).

Com a correção do fluxo, o torque pode ser monitorado pela corrente contínua na entrada do inversor, numa faixa mais ampla de operação do motor.

5.6. Conclusões:

Como se pode verificar através das curvas apresentadas, figuras (5.7.) e (5.8.), o torque pode ser controlado pela corrente contínua na entrada do inversor e para valores mais elevados de torque e corrente, o fluxo do motor deve ser corrigido.

Como no caso, por exemplo, de se querer acelerar o motor, de que maneira se deve aumentar a frequência, para que o torque de carga não seja maior que o seu torque. Ou quando há uma variação da curva de carga, de que maneira se deve apresentar a frequência de alimentação para que a nova curva de carga, intercepte a curva de torque do motor numa região de estabilidade.

Assim, com o conhecimento do torque a cada momento do acionamento, é possível evitar todos os problemas de estabilidade apresentados na introdução deste capítulo.

CAPÍTULO 6

ESTUDO EXPERIMENTAL DO CONTROLE DO TORQUE SOB CONDIÇÕES TRANSITÓRIAS6.1. Introdução:

O objetivo deste capítulo é verificar como se comporta dinamicamente no plano experimental, o motor monofásico de indução quando alimentado por inversor, com lei tensão-frequência de alimentação linear, com controle indireto do torque, através da limitação automática da corrente na entrada do inversor.

6.2. Descrição do ensaio e resultados:

O sistema empregado para o ensaio dinâmico é o que se apresenta na figura (6.1.).

Material utilizado:

- Uma fonte de tensão regulada, com controle automático da corrente máxima de carga;
- Inversor de Mc Murray-Bedford;
- Um shunt de 60mv - 10 A;
- Osciloscópio duplo traço com memória;
- O motor monofásico de indução especificado no capítulo 2, acoplado a um gerador C.C. de 1,5 C.V;
- Uma carga resistiva (6 resistências de 120 Ω e 10 A cada uma);
- Uma fonte de tensão contínua para excitação do campo do gerador C.C.;

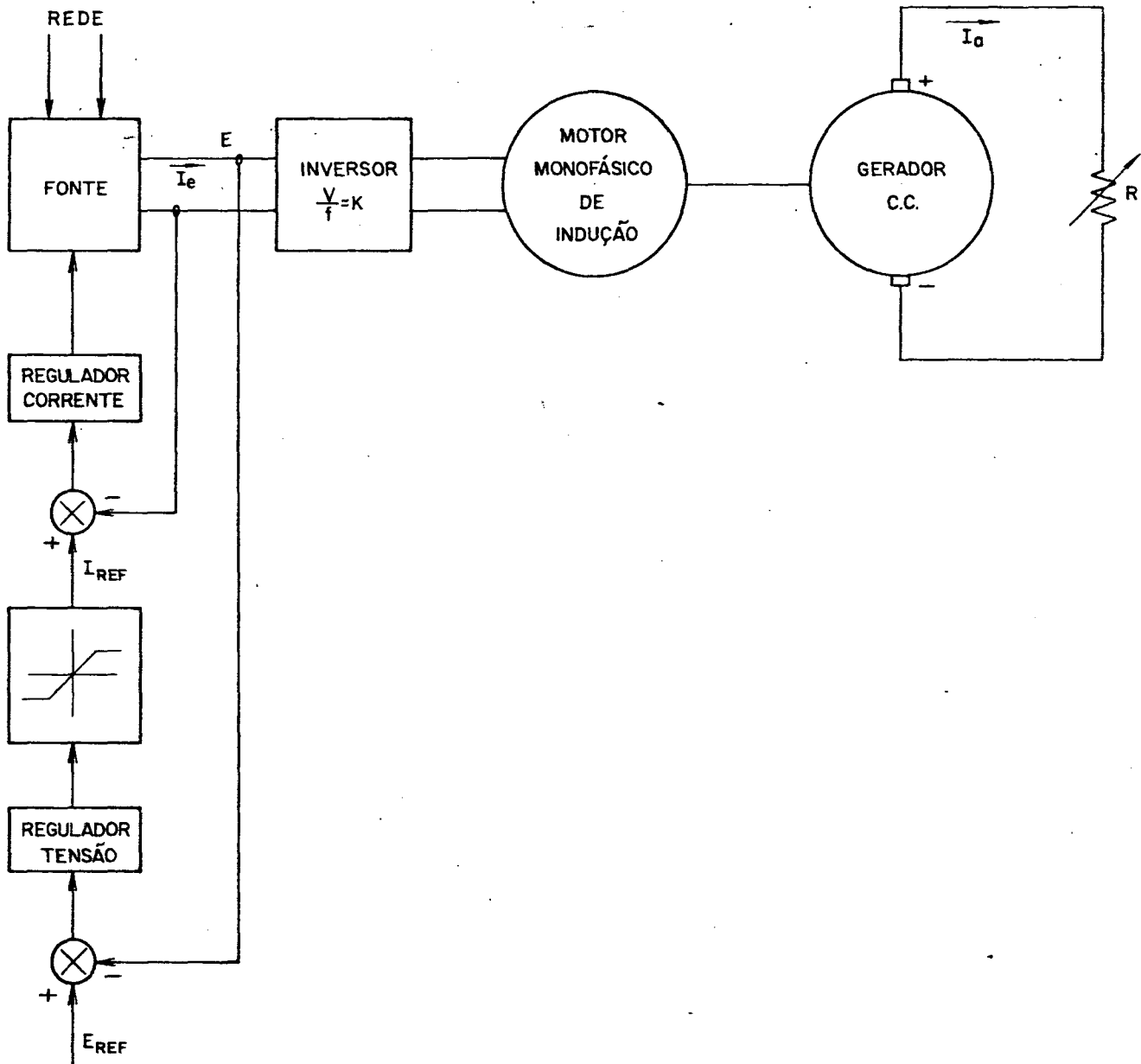


Figura 6.1. - Sistema empregado para limitação do torque do motor.

Utilizando uma excitação independente e constante para o gerador C.C., sua tensão gerada passa a ser uma imagem da velocidade do motor, pois:

$$E_g = K \phi \omega_m$$

Como

ϕ - constante

Vem que:

$$E_g = K' \cdot \omega_m$$

Em seguida deve-se obter uma tensão gerada e uma corrente da armadura do gerador C.C. para que o torque fornecido pelo motor seja o nominal.

Sabe-se que:

$$T = \frac{\text{Potência}}{\text{Velocidade}}$$

Então:

$$T = \frac{\text{Potência do gerador C.C.}}{\text{Velocidade no eixo do motor}}$$

Daí, como o torque nominal do motor é 2,03 N.m, vem que:

$$T_{\text{nom}} = \frac{E_g \cdot I_a}{\omega_m}$$

$$2,03 = \frac{E_g \cdot 2,4}{121,47 \text{ (rad/s)}}$$

$$E_g = 102,74 \text{ volts}$$

Esse é o valor da tensão na saída do gerador C.C., quando o motor está fornecendo torque nominal e a fonte de tensão regulada está fornecendo a máxima tensão. Essa tensão gerada, corresponde a uma velocidade de 1.160 rpm medida no eixo do conjunto motor-gerador.

Assim, nas figuras (6.2.), (6.3.) e (6.4.), observá-se o comportamento do conjunto apresentado na figura (6.1.) quando uma variação brusca na tensão de referência é aplicada no sistema para provocar uma aceleração do motor, a partir de uma velocidade inicial baixa.

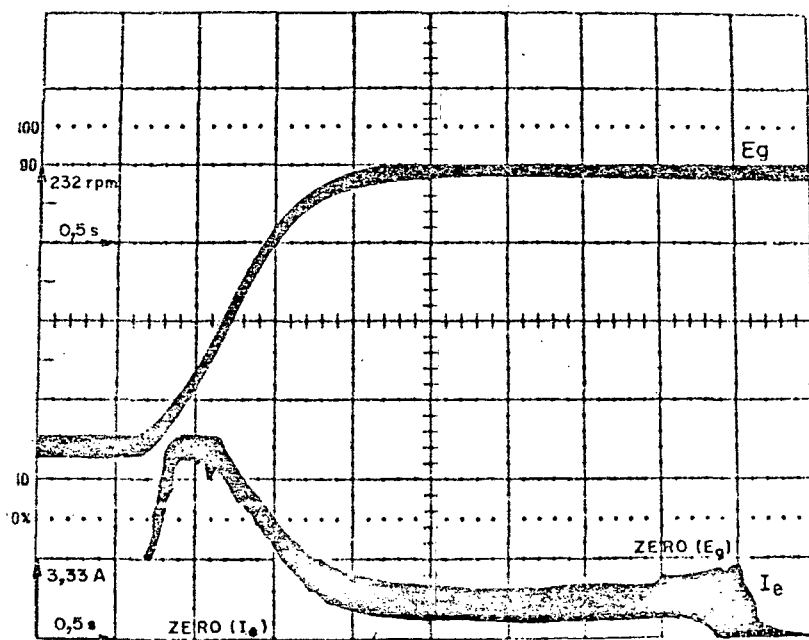


Figura 6.2. -Curvas da corrente contínua na entrada do inversor(torque) e da tensão gerada (velocidade) para grande variação da tensão de referência.

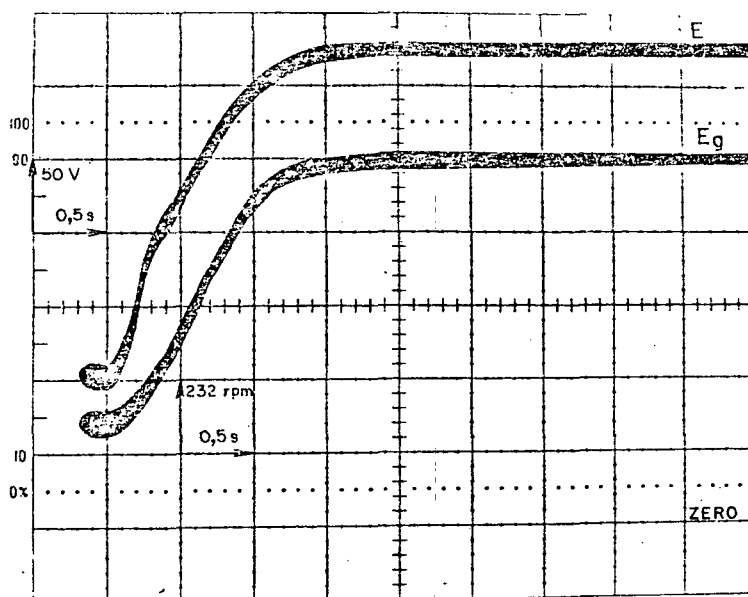


Figura 6.3. - Curvas da tensão da fonte E e tensão gerada E_g (velocidade)

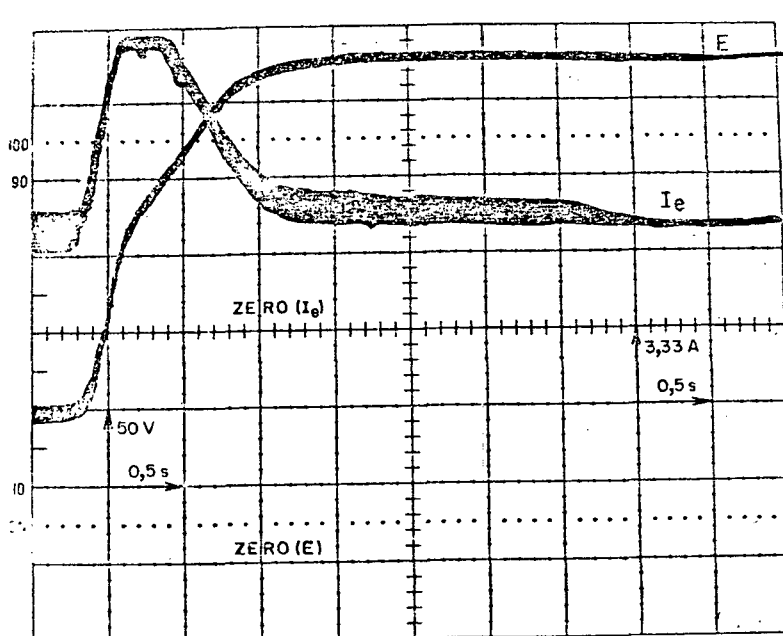


Figura 6.4. - Tensão na fonte E e corrente contínua na entrada do inversor I_e (torque)

6.3. Interpretação dos resultados experimentais:

Esse sistema para limitação do torque, figura (6.1.), garante uma aceleração do motor, sem que haja a possibilidade de perda de estabilidade.

Por mais elevado que seja a variação da tensão de referência, a corrente na entrada do inversor aumenta até o valor determinado pelo regulador de corrente.

Durante o tempo que a corrente na entrada do inversor permanece constante, o motor ganha velocidade com aceleração constante. Quando o motor se aproxima da velocidade de regime permanente, a corrente na entrada do inversor cai, atingindo um valor constante de manutenção da velocidade.

Esses fenômenos podem ser todos observados nas figuras (6.2.), (6.3.) e (6.4.).

A faixa de variação da velocidade, medida no eixo do motor, foi de 368 a 1.160 rpm, a partir do momento em que a variação de tensão é aplicada até o motor atingir o regime permanente.

6.4. Conclusões:

A partir dos resultados experimentais descritos no parágrafo precedente, conclui-se que o controle indireto do torque do motor, através da corrente contínua na entrada do inversor, permite operação estável, mesmo para as situações mais críticas, como a aceleração a partir de baixas velocidades.

CONCLUSÕES

A partir dos estudos realizados no desenvolvimento do trabalho apresentado, podemos concluir que:

- 1 - O motor monofásico de indução pode ser empregado em processos que exigem velocidade variável, quando alimentado por fonte de frequência variável.
- 2 - É possível mantê-lo em operação estável, controlando-se o torque indiretamente, por meio do controle da corrente contínua na entrada do inversor.
- 3 - É possível controlá-lo, utilizando-se uma lei tensão-frequência simplificada, de fácil implementação.
- 4 - O conversor utilizado é mais simples, mais compacto e mais confiável que o trifásico.

É importante salientar que o problema da partida não foi estudado e se impõe como prioridade na continuação do presente estudo, para complementá-lo e permitir a realização de um protótipo final com o grau de operacionalidade exigido em aplicações industriais.

APÊNDICE A

DETERMINAÇÃO APROXIMADA DOS PARÂMETROS DO MOTOR MONOFÁSICO DE INDUÇÃO

O circuito do motor monofásico de indução é o da figura(1-A):

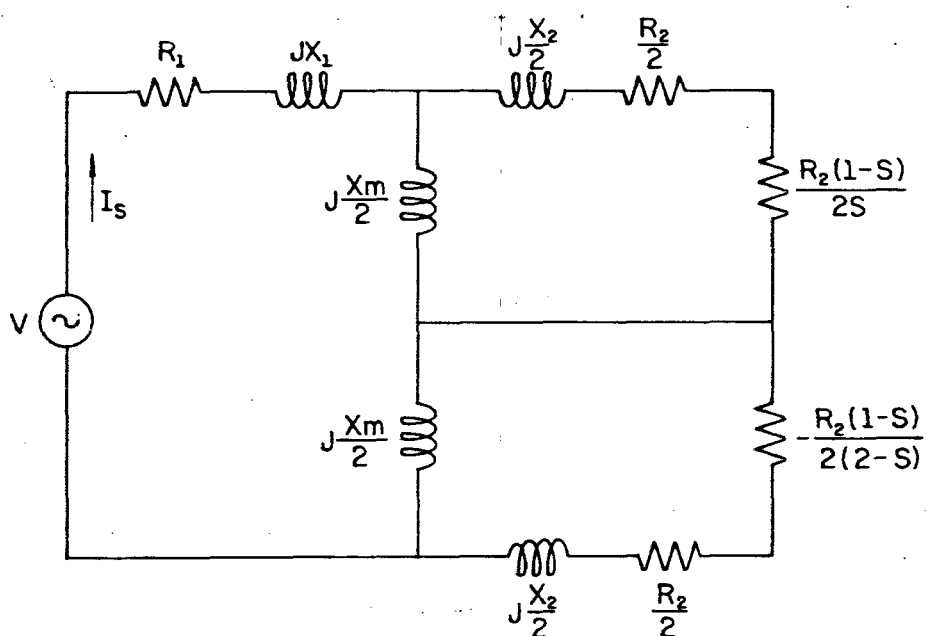


Figura 1-A- Circuito equivalente do motor monofásico de indução em termos dos parâmetros de dispersão.

Para determinação dos parâmetros de dispersão apresentados no circuito equivalente da figura (1), devem ser realizados dois ensaios:

- 1 - Ensaio com rotor travado;
- 2 - Ensaio com motor a vazio

1 - Ensaio com rotor travado

A determinação dos parâmetros do motor é aproximada, porque se considera que, para $s = 1$ (rotor travado), a impedância da reatância magnetizante (X_m), é muito grande se comparada com:

$$\frac{R_2}{2s} + j\left(\frac{X_2}{2}\right)$$

podendo, dessa maneira, ser desprezada.

Assim, o circuito equivalente para o motor monofásico de indução com rotor travado é apresentado na figura (2-A).

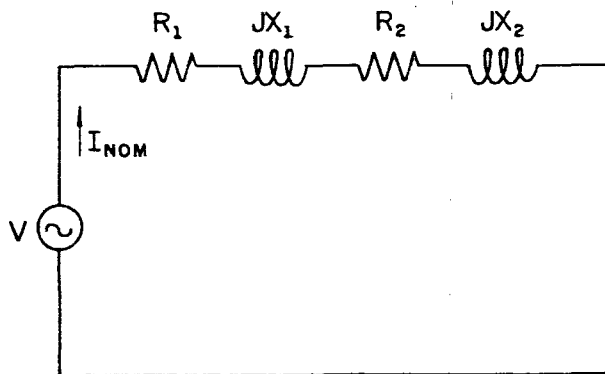


Figura 2-A - Circuito equivalente do motor de indução monofásico com rotor travado.

O procedimento para esse ensaio consiste em se travar o eixo do motor, aplicar tensão de alimentação com varivolt até fazer circular a sua corrente nominal.

As medidas obtidas em laboratório para o motor utilizado nesse trabalho, foram:

$$V_{rt} = 59,6 \text{ volts}$$

$$I_{rt} = 4,5 \text{ A}$$

$$P_{rt} = 142 \text{ watts}$$

Com os valores de tensão e corrente do estator, calcula-se a impedância equivalente referida ao estator:

$$Z_e = \frac{V_{rt}}{I_{rt}}$$

$$Z_e = \frac{59,6}{4,5}$$

$$Z_e = 13,244 \Omega$$

A resistência equivalente será:

$$R_e = \frac{P_{rt}}{I_{rt}^2}$$

$$R_e = \frac{142}{(4,5)^2}$$

$$R_e = 7,0123 \Omega$$

Para se determinar a resistência do estator, aplica-se tensão contínua no estator até que circule no máximo a corrente nominal do motor, logo:

$$R_1 = \frac{V_{cc}}{I_{cc}}$$

$$R_1 = \frac{10}{2,9}$$

$$R_1 = 3,448 \Omega$$

Assim, a resistência do rotor referida ao estator, será:

$$R_2 = R_e - R_1$$

$$R_2 = (7,0123) - (3,448)$$

$$R_2 = 3,564 \Omega$$

A reatância equivalente é dada por:

$$X_e = \sqrt{Z_e^2 - R_e^2}$$

Daí:

$$X_e = \sqrt{(13,224)^2 - (3,564)^2}$$

$$X_e = 11,235 \Omega$$

Como a reatância de dispersão do estator é igual a do rotor referida ao estator, tem-se:

$$X_1 = X_2 = \frac{X_e}{2}$$

$$X_1 = X_2 = 5,617 \Omega$$

2 - Ensaio do motor monofásico de indução a vazio

Quando o motor está a vazio, o seu escorregamento é próximo de zero, então, a resistência

$$\frac{R_2}{2} + \frac{R_2 (1-s)}{2s} = \frac{R_2}{2s}$$

se torna muito grande, podendo ser considerado um circuito aberto.

Na parte de seqüência negativa do circuito equivalente da figura (1), a resistência para escorregamento próximo de zero, será:

$$\frac{R_2}{2} + \frac{R_2(1-s)}{2(2-s)} = \frac{R_2}{4}$$

O circuito equivalente para o ensaio com o motor a vazio se apresenta na figura (3-A):

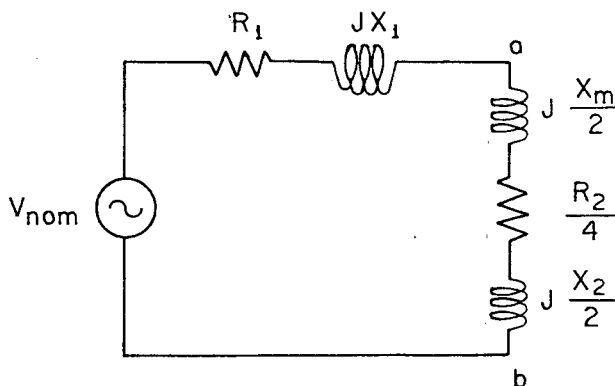


Figura 3-A - Circuito equivalente para o motor monofásico de indução a vazio.

As medidas para esse ensaio, foram:

$$I_v = 3,52 \text{ A}$$

$$V_{\text{nom}} = 220 \text{ volts}$$

Assim:

$$\Delta V = (R_1^2 + X_1^2) \cdot I_v$$

$$\Delta V = \sqrt{(3,448)^2 + (5,617)^2} \cdot (3,52)$$

$$\Delta V = 23,02 \text{ volts}$$

A tensão nos pontos a e b, será:

$$V_{ab} = V - \Delta V$$

$$V_{ab} = 220 - 23,02$$

$$V_{ab} = 196,797 \text{ volts}$$

A reatância de magnetização será calculada da seguinte maneira:

$$V_{ab} = \sqrt{\left(\frac{R_2}{4}\right)^2 + \left(\frac{X_m}{2} + \frac{X_2}{2}\right)^2} \cdot I_v$$

Então:

$$(196,797)^2 = \left(\frac{3,564}{4}\right)^2 + \left(\frac{X_m}{2} + \frac{5,617}{2}\right)^2 \cdot (3,52)^2$$

Daí:

$$X_m^2 + 11,26 X_m - 12.448,86 = 0$$

Resolvendo a equação do 2º grau, resulta:

$$X_m = 117,56 \Omega$$

3 - Cálculo dos parâmetros cíclicos do motor monofásico de indução:

Com os ensaios com rotor travado e a vazio, foram obtidos os parâmetros de dispersão do motor:

$$R_1 = 3,448 \Omega$$

$$R_2 = 3,564 \Omega$$

$$X_1 = X_2 = 5,617 \Omega$$

$$X_m = 117,56 \Omega$$

Como:

$$X_m = a X_{m_{sr}}$$

$$X_2 = a X_r - a X_{m_{sr}}$$

Sendo:

$$a = 1$$

Tem-se:

$$X_{m_{sr}} = X_m = 117,56$$

$$X_s = X_r = 5,617 + 117,56$$

$$X_s = X_r = 123,177 \Omega$$

Os parâmetros cíclicos do motor monofásico de indução, são:

$$R_s = 3,448 \Omega$$

$$R_r = 3,564 \Omega$$

$$X_S = X_R = 123,177 \Omega$$

$$X_{m_{SR}} = 117,56 \Omega$$

Em termos de indutância cíclica, tem-se:

$$L_S = L_R = \frac{X_S}{2 \cdot \pi \cdot f} = \frac{123,177}{2 \cdot \pi \cdot 60}$$

$$L_S = L_R = 0,3267 \text{ H}$$

$$m_{SR} = \frac{X_m}{2 \cdot \pi \cdot f} = \frac{117,5}{2 \cdot \pi \cdot 60}$$

$$m_{SR} = 0,3118 \text{ H}$$

APÊNDICE B

INVERSOR DE McMURRAY - BEDFORD

O inversor utilizado, McMURRAY-BEDFORD, apresenta a configuração da figura(1-B).

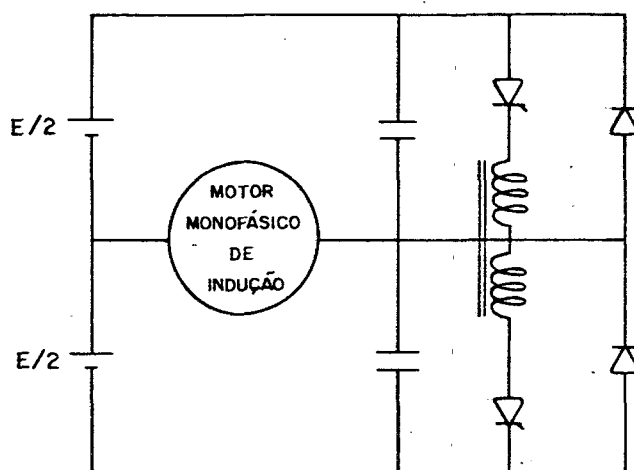


Figura 1-B - Uma fase do inversor de McMurray-Bedford, com ponto médio.

APÊNDICE C

PROGRAMAS UTILIZADOS

- 1 - KLEIBER FORTRAN - este programa calcula torque médio, corrente do estator (valor eficaz) e fluxo concatenado para várias frequências de alimentação, em função da velocidade do motor. Usado para traçar as curvas das figuras (2.1), (2.2), (2.3).
- 2 - DAVID FORTRAN - calcula a tensão para manter o fluxo constante. Usado para traçar as curvas da figura (3.1).
- 3 - TORQUE FORTRAN - calcula o torque para o fluxo corrigido. Traça as curvas da figura (3.2).
- 4 - SIMULA WATFIV - simula o motor de indução monofásico. Utilizado para traçar as curvas das figuras (4.2) a (4.15).

```

KLE00010
KLE00020
KLE00030
KLE00040
KLE00050
KLE00060
KLE00070
KLE00080
KLE00090
KLE00100
KLE00110
KLE00120
KLE00130
KLE00140
KLE00150
KLE00160
KLE00170
KLE00180
KLE00190
KLE00200
KLE00210
KLE00220
KLE00230
KLE00240
KLE00250
KLE00260
KLE00270
KLE00280
KLE00290
KLE00300
KLE00310
KLE00320
KLE00330
KLE00340
KLE00350
KLE00360
KLE00370
KLE00380
KLE00390
KLE00400
KLE00410
KLE00420
KLE00430
KLE00440
KLE00450
KLE00460
KLE00470
KLE00480
KLE00490
KLE00500
KLE00510
KLE00520
KLE00530
KLE00540
KLE00550

C      IMPLICIT REAL*8(A-H,D-Z)
C      ESTE PRGRAMA CALCULA O CORRENTE DO ESTATOR (EFICAZ),TORQUE MEDLJ
C      E FLUXO CONCATENADO, PARA VARIAS FREQUENCIAS DE ALIMENTACAO, EM
C      FUNCAO DA VELOCIDADE DO MOTOR(WH),USADO PARA TRACAR AS CURVAS DA
C      FIGURAS 2.1,2.2,2.3
      REAL IS,IR,LR,LS,LM
      DIMENSICN F(50),WS(50),T(100),IS(100),FL(100),*H(100),XR(50),
      *XM(50),XS(50),WREDE(50),DR(50),DI(50),DIL(50),ANMT(50),
      *DEN(50),ANMI(50),IR(50),AD(50),ANIS(50),ANIR(50),FLR(100),FLI(100),
      *,AIS(50),AIR(50),TIS(50),TIR(50),TADI(50),FLR1(50),FLR2(50),FLI1(50),
      *,FLI2(50)
      LEI=1
      IMP=3
      PI=ARCS(-1.)
C      LEITURA DO NUMERO DE FREQUENCIAS
      READ(LEI,5)NF
C      5  FORMAT(I5)
C      LEITURA DOS PARAMETROS DO MOTOR MONOFASICO
      READ(LEI,10)RS,LS,LM,RR,LR
C      10  FORMAT(5F10.6)
      WRITE(IMP,15)RS,LS,LM,RR,LR
C      15  FORMAT(/,1X,*RS=,F10.6/,1X,*LS=,F10.6/,1X,*LM=,F10.6/,1X,*
      *,F10.6/,1X,*LR=,F10.6)
      DO 100 I=1,NF
C
C      LEITURA DA FREQUENCIA DE ALIMENTACAO
      READ(LEI,25)F(1)
C      25  FORMAT(F5.2)
      WRITE(IMP,28)
C      28  FORMAT(/,1X,84(,*))
      WRITE(IMP,30)F(1)
C      30  FORMAT(/,15,'FREQUENCIA DE ALIMENTACAO =',F6.2,' HERTZ')
      S=0.0
      WREDE(I)=2.*F(1)*PI
C      CALCULO DAS REATANCIAS CICLICAS
      XR(I)=2.*PI*F(I)*LR
      XS(I)=2.*PI*F(I)*LS
      XM(I)=2.*PI*F(I)*LM
      WRITE(IMP,32)
C      32  FORMAT(/,14X,*XR,18X,*XS,20X,*XM,/)
      WRITE(IMP,33)XR(I),XS(I),XM(I)
C      33  FORMAT(5X,E15.8,7X,E15.8,7X,E15.8)
      KONT=0.0
      J=0.0
      WS(I)=PI*F(I)
C      40  A=(1.-S)
      J=KONT+1
      OR(I)=RS*(RR**2-XR(I)**2+(A**2)*(XR(I)**2))
      DR1(I)=RR*(XM(I)**2-2*XS(I)*XR(I))
      DR(I)=XS(I)*(RR**2-XR(I)**2+(A**2)*(XR(I)**2))
      DI(I)=XR(I)*(XM(I)**2-(A**2)*(XM(I)**2)+2*RS*RR)
      ANMT(I)=-A*RR*(XR(I)**2*(1-A**2)-RR**2)
      GENI(I)=JCR(I)+DR1(I)*(DR(I)+DR1(I))+DI(I)*(DI(I)+DI1(I))
      AD(I)=-JCR(I)+DR1(I)/(DI(I)+DI1(I))
      AD(I)=1/AD(I)

```

```

KLE00560
KLE00570
KLE00580
KLE00580
KLE00590
KLE00600
KLE00610
KLE00620
KLE00630
KLE00640
KLE00650
KLE00660
KLE00670
KLE00680
KLE00690
KLE00700
KLE00710
KLE00720
KLE00730
KLE00740
KLE00750
KLE00760
KLE00770
KLE00780
KLE00790
KLE00800
KLE00810
KLE00820
KLE00830
KLE00840
KLE00850
KLE00860
KLE00870
KLE00880
KLE00890
KLE00900
KLE00910
KLE00920
KLE00930
KLE00940
KLE00950
KLE00960
KLE00970
KLE00980
KLE00990
KLE01000
KLE01010
KLE01020
KLE01030
KLE01040
KLE01050
KLE01060
KLE01070
KLE01080

TAD(I)=CATAN(AD(I))
TAD(I)=TAD(I)+PI
C
C
CALCULO DO TORQUE
T(I)={(40.58356812000)**2}*WREDE(I)*KX(I)**2)*ANMT(I)/DEN(I)
NUMERO DE PARES DE POLOS=2
T(J)=T(I)*2.
C
C
CALCULO DA CORRENTE DO ESTATOR (IS)
ANMT(I)=(RR**2-XR(I)**2)*(A**2)*(XR(I)**2)*{RR**2-XR(I)**2+(A**2)}*KLE00650
*(XR(I)**2)+(2*RR*XR(I))**2
AIS(I)=(RR**2-XR(I)**2+(A**2))*(XR(I)**2)
AIS(I)=AIS(I)/(2*RR*XR(I))
TIS(I)=(1/AIS(I))
ANIS(I)=CATAN(TIS(I))
IF(A.EQ.1)GO TO 333
ANIS(I)=(ANIS(I)+PI)-TAD(I)
GO TO 334
333 ANIS(I)=ANIS(I)-TAD(I)
334 IS(I)=DSQRT(ANMI(I)/DEN(I))*0.58356812000*WREDE(I)
C
CALCULO CA CORRENTE DO ROTOR (IR)
IR(I)=X(I)*DSQRT(XR(I)*(1-A**2)*XR(I)*(1-A**2)+RR**2)/DEN(I)**
*0.58356812000*WREDE(I)
IF(A.EQ.1)GO TO 101
TIR(I)=(RR/XR(I))*{(1-(A**2))}
ANIR(I)=CATAN(TIR(I))
ANIR(I)=(2*PI+ANIR(I))-TAD(I)
GO TO 102
101 ANIR(I)=(43./2)*PI)-TAD(I)
C
CALCULO DO FLUXO (FL)
FLR(I)=LS*IS(I)*(DCOS(ANIS(I)))
FLR2(I)=LM*IR(I)*(DCOS(ANIR(I)))
FLR(I)=LS*IS(I)*(DCOS(ANIS(I)))+LM*IR(I)*DCOS(ANIR(I))
FLI(I)=LS*IS(I)*(DSIN(ANIS(I)))+LM*IR(I)*DSIN(ANIR(I))
FLI2(I)=LM*IR(I)*(DSIN(ANIR(I)))
FLI(I)=DSQRT(FLR(I)*FLI(I))*{FLR(I)+FLI(I)}
V(I)=(0.54/FL(I))*WREDE
WM(I)=A*(I)*30.000/PI
IF(J.NE.1)GO TO 60
WRITE(IAF,50)
50 FORMAT(/,5X,'VELOCIDADE(WM) (RPM)',3X,'TORQUE(T) (N*M)',3X,'CORRENTE(I) (A)',3X,'FLUXO (WEBER)*'
*FATEIS) (A)',3X,'CORRENTE(IR) (A)',3X,'FLUXO (WEBER)*'
60 WRITE(IMP,70)WM(I),T(I),IS(I),IR(I),FL(I)
70 FORMAT(/,10,F9.2,130,F9.2,148,F9.2,168,F9.2,188,E15.8)
S=S+0.05000
KONT=KONT+1
IF(S-1.0)40,40,99
99 WRITE(IMP,200)KONT
200 FORMAT(/,15,'NUMERO DE PONTOS =',I6,/)
100 CONTINUE
STOP
END

```


CLE00330
CLE00340
CLE00350

6	3.448	0.326700	0.311800	3.564	0.326700
60.0					
50.0					
40.0					
30.0					
20.0					
10.0					

```

C      IMPLICIT REAL*(A-H,O-Z)
C      ESTE PRGRAMA PERMITE CALCULAR A TENSÃO DE ALIMENTACAO EM FUNCAJ
C      DA FREQUENCIA DE ALIMENTACAO PARA VARIOS VALORES DE FREQUENCIA JJ
C      ROTOR(FR) PARA QUE O FLUXO PERMANECA CONST. E IGUAL AO VALOR DO
C      FLUXO A VAZIO (0.58222637 WEBER). USADO PARA TRACAR AS CURVAS DA
C      DA FIGURA 3.1
C      INTEGER FREDE
C      REAL LR,LS,LH
C      LEI=1
C      IMP=3
C      PIODO=ARCOS(-1.)
C
C      LEITURA DOS PARAMETROS DO MOTOR MONOFASICO
C      READ(LEI,10)IRR,LR,LM,RS,LS
C      10 FORMAT(5F10.6)
C      WRITE(IMP,15)RR,LR,LM,RS,LS
C      15 FORMAT(/,IX,*,RR=*,F10.6/,/,IX,*,LR=*,F10.6/,/,IX,*,LM=*,F10.6/,/,IX,*,RS=*,F10.6)
C      FR=0.0
C      20 WRITE(IMP,30)
C      30 FORMAT(/,IX,84(*,*))
C      WRITE(IMP,40)FR
C      40 FORMAT(/,T9,*,FREQUENCIA DO ROTOR=*,F5.2)
C      WRITE(IMP,50)
C      50 FORMAT(/,/,5X,*,FREQ. ALIMENT. (HZ)*,3X,*,TENSAD (VOLTS)*,
C      25 J=FR
C      IF(IFR-J)26,26,27
C      27 I=FR+0.5
C      GO TO 55
C      26 I=FR
C      55 DO 555 FREDE=1,60
C      IF(FREDE.LE.10)GO TO 60
C      FREDE=FREDE+9.0
C
C      CALCULO DA FREQUENCIA DE SINCRONISMO (FS)
C      60 FS=FREDE/2.
C      CALCULO DAS REATANCIAS CICLICAS
C      XR=2.*PIODO*FREDE*LR
C      XS=2.*PIODO*FREDE*LS
C      XM=2.*PIODO*FREDE*LM
C
C      CALCULO DO NUMERADOR DA EQUACAO DE TENSAD
C      A=(1.-(FR/FS))
C      SR=RS*(RR**2-(A**2))*(XR**2)
C      SRI=RR*(XM**2-2*XS*XR)
C      SI=XS*(RR**2-XR**2+(A**2))*(XR**2)
C      SII=XR*(XM**2-(A**2)*(XM**2)+2*RS*RR)
C      SUP=(SR+SRI)*(SI+SII)*(SI+SII)
C      DR=XS*(FR**2-XR**2+(A**2)*XR**2)+(XM**2)*XR*(1-(A**2))
C      DI=(2*RR*XS*XR-(XM**2)*RR)
C      DEN=(DR**2)+(DI**2)
C      WREDE=2.*PIODO*FREDE
C
C      CALCULO DA TENSAD

```

```

DAV00010
DAV00020
DAV00030
DAV00040
DAV00050
DAV00060
DAV00070
DAV00080
DAV00090
DAV00100
DAV00110
DAV00120
DAV00130
DAV00140
DAV00150
DAV00160
DAV00170
DAV00180
DAV00190
DAV00200
DAV00210
DAV00220
DAV00230
DAV00240
DAV00250
DAV00260
DAV00270
DAV00280
DAV00290
DAV00300
DAV00310
DAV00320
DAV00330
DAV00340
DAV00350
DAV00360
DAV00370
DAV00380
DAV00390
DAV00400
DAV00410
DAV00420
DAV00430
DAV00440
DAV00450
DAV00460
DAV00470
DAV00480
DAV00490
CAVG0500
DAV00510
DAV00520
DAV00530
DAV00540
DAV00550

```

DAV00560
DAV00570
DAV00580
DAV00590
DAV00600
DAV00610
DAV00620
DAV00630
DAV00640

V=DSQRT(SUP/DEN)*WREDE*0.58356812

WRITE(IMP,70)FREDE,V

70 FORMAT(1,110.15,130,F9.3)

555 CONTINUE

FR=FR+0.5

IF(FR-5.0)20,20,66

66 STOP

END

CLE00340

0.326700

3.564 0.326700 0.311800 3.448


```

DI2=XR*(IXM*XM)*(1-(A*A))+2*RS*RR)
DI=DI1+DI2
DEN=((DI*DI)+(DR*DR))
C  CALCULO DO NUMERADOR DA EQUACAO DO TORQUE
C  TN=A*RR*((XR**2)*(1-(A**2))-(RR**2))
C
C  CALCULO DA TENSAO
V=(3.666*FREDE)+(10*FK)
WREDE=2.*PI*FREDE
WS=WREDE/2
C  CALCULO DO TORQUE
T=TN/DEN
C  TORQ=T*(XM**2)/(V**2)/WREDE
C  NUMERO DE PARES DE POLDS=2
C  TORQ=TORQ*2
C
C  WM=A*WS*30./PI
WRITE(IMP,70)WM,TORQ
70 FORMAT(/,F10.8,2,T30,F11.4)
S=S+0.05
IF(S-1.)20,20,666
C
666 CONTINUE
IF(N2-60)80,100,100
80 N1=20
N2=60
N3=10
GO TO 500
100 STOP
C  END

```

3.564 0.326700 0.311800 3.448 0.326700 CLE00340

//CCGTESE JOB PGEEL000, 'EEL22, KLEIBER', CLASS=A, MSGLEVEL=1, MSGCLASS=V
 // EXEC WATFIV, CLASS=V
 //GO.SYSIN DD *
 \$JOB KLEIBER, KP=29, NOEXT

C SIMULACAO DE UM MOTOR DE INDUCAO-MONOFASICO

C EQUACAO DO SISTEMA

C D(I) = A*I + B*VSD

C T = N*HSR*ISD*IRO

C DADOS DE ENTRADA GERAIS

C N = NUMERO DE EQUACOES DIFERENCIAIS
 C NM = NUMERO DE CURVAS A SEREM PLCTADAS
 C X = VETOR ONDE SERAO INTRODUIZIDAS AS CONDICOOES
 C INICIAIS
 C CONT = MATRIZ DE IDENTIFICACAO DAS CURVAS
 C TO = TEMPO INICIAL
 C TF = TEMPO FINAL
 C H = PASSO DE INTEGRACAO
 C HI = NUMERO DE PONTOS IGNORADOS NO ARMAZENAMENTO
 C OBS - DEVEMOS TER ((TF-TO)/(H*HI)).LE.20C
 C F = FREQUENCIA DE ALIMENTACAO

C PARAMETROS DA MAQUINA

C RS = RESISTENCIA DO ESTADOR
 C RR = RESISTENCIA DO ROTOR
 C LS = INDUTANCIA DE DISPERSAO DO ESTATOR
 C LR = INDUTANCIA DE DISPERSAO DO ROTOR
 C LM = INDUTANCIA MUTUA
 C RN = RELACAO ENTRE VELOC. MECANICA E VELOC. SINCRONA

C DADOS DA TENSAO DE ALIMENTACAO

C IAL = FLAG DE ESCOLHA DA TENSAO DE ALIMENTACAO
 C TAL = 0 - ONDA RETANGULAR
 C TAL = 1 - ONDA SENCIDAL
 C AMP = AMPLITUDE DA TENSAO DE ALIMENTACAO
 C PER = PERIODO OU FREQUENCIA ANGULAR (DEPENDE DE IAL)
 C DEF = DEFASAGEM

C COMMON/DAD/N,NM,IAL,X
 C COMMON/GER/A,B,AMP,DEF,PER
 C COMMON/MON/RS,RR,LS,LR,LM,RN,F
 C DIMENSION A(3,3),B(3),X(5,201),CONT(5,5),ICURV(5)
 C DOUBLE PRECISION TO,TF,H,SPEC,HI,TINT,PER,FA
 C INTEGER R,W,HI,F
 C DATA CONT/25*
 C REAL LR,LS,LM
 C R=5

- STA00040
- SIM00020
- SIM00030
- SIM00040
- SIM00050
- SIM00060
- SIM00070
- SIM00080
- SIM00090
- SIM00100
- SIM00110
- SIM00120
- SIM00130
- SIM00140
- SIM00150
- SIM00160
- SIM00170
- SIM00180
- SIM00190
- SIM00200
- SIM00210
- SIM00220
- SIM00230
- SIM00240
- SIM00250
- SIM00260
- SIM00270
- SIM00280
- SIM00290
- SIM00300
- SIM00310
- SIM00320
- SIM00330
- SIM00340
- SIM00350
- SIM00360
- SIM00370
- SIM00380
- SIM00390
- SIM00400
- SIM00410
- SIM00420
- SIM00430
- SIM00440
- SIM00450
- SIM00460
- SIM00470
- SIM00480
- SIM00490
- SIM00500
- SIM00510
- SIM00520

```

W=6
C LEITURA DOS DADOS GERAIS
C SIM00530
C SIM00540
C SIM00550
C SIM00560
10 READ(R,10)N,NM,FA
  FORMAT(2I1,E11.4)
  F=FA
C
C TEMPO INICIAL E TEMPO FINAL
C SIM00600
C SIM00610
C SIM00620
20 FORMAT(2E11.4)
  TF=TINT+3.000*(1.000/FA)
C
C NO. DE PONTOS IGNORADOS E PASSO DE INTEGRACAO
C SIM00640
C SIM00650
C SIM00660
C SIM00670
C SIM00680
C
C IDENTIFICACAO DAS CURVAS
C SIM00690
C SIM00700
C SIM00710
C SIM00720
40 READ(R,40)((CONT(I,J),J=1,5),I=1,NM)
  FORMAT(5A4)
C
C CONDICAOES INICIAIS
C SIM00740
C SIM00750
C SIM00760
C SIM00770
50 READ(R,50)(X(I,1),I=1,NM)
  FORMAT(5F10.4)
C
C TESTE DA RESTRICAO SOBRE H E HI
C SIM00780
C SIM00790
C SIM00800
C SIM00810
C SIM00820
  IF((TF-TINT)/(H*HI))LE.200)GO TO 60
  HI=((TF-TINT)/(H*200))+1
C
C LEITURA DOS PARAMETROS DA MAQUINA
C SIM00830
C SIM00840
C SIM00850
C SIM00860
60 READ(R,70)RS,RR,LS,LR,LM,RN
70 FORMAT(5F10.4,F10.7)
C
C LEITURA DOS DADOS DA TENSAO DE ALIMENTACAO
C SIM00890
C SIM00900
C SIM00910
C
C PER=1.000/FA
80 READ(R,80)IAL
  FORMAT(I1)
  IF(IAL.NE.0)GO TO 100
  READ(R,90)AMP,DEF
  FORMAT(2F10.4)
  GO TO 110
100 READ(R,90)AMP,DEF
  PER=2.000*3.141592700*FA
110 CONTINUE
C
C CHAMADA A ROTINA PARA MONTAGEM DE A E B
C SIM00990
C SIM01000
C SIM01010
C SIM01020

```

```

SIM01030
SIM01040
SIM01050
SIM01060
SIM01070
SIM01080
SIM01090
SIM01100
SIM01110
SIM01120
SIM01130
SIM01140
SIM01150
SIM01160
SIM01170
SIM01180
SIM01190
SIM01200
SIM01210
SIM01220
SIM01230
SIM01240
SIM01250
SIM01260
SIM01270
SIM01280
SIM01290
SIM01300
SIM01310
SIM01320
SIM01330
SIM01340
SIM01350
SIM01360
SIM01370
SIM01380
SIM01390
SIM01400
SIM01410
SIM01420
SIM01430
SIM01440
SIM01450
SIM01460
SIM01470
SIM01480
SIM01490
SIM01500
SIM01510
SIM01520
SIM01530
SIM01540
SIM01550
SIM01560
SIM01570

CALL MONTA
C
C IMPRESSAO DOS DADOS
C
WRITE(W,120)N,NM,TINT,TF,H,H1,f
FORMAT(///,T40,'SIMULACAO DE UM MOTOR DE INDUCACAO MONOFASICO',//,T
*52,EQUACOES DO SISTEMA',//,T53,'D(I) = A*I + B*VSD',//,T54,'T = N*MSIMP
*SR*SD*IRQ',//,T45,'*** DADOS DE ENTRADA GERAIS ***',//,T48,'NUMSIMO
*EQUACOES DIFERENCIAIS =',IX,I2,/,T48,'NUM. DE CURVAS A SEREM PLOSI
* TADCS =',IX,I2,/,T48,'TEMPO INICIAL =',IX,F10.4,/,T48,'TEMPO FINAL
* =',IX,F10.4,/,T48,'PASSO DE INTEGRACAO =',IX,F10.4,/,T48,'NUM. DE
* PONTOS A SEREM IGNORADOS NO ARMAZENAMENTO =',IX,I2,/,T48,'FREQUEN
* CIA DE ALIMENTACAO =',IX,I2)
C
C FREQUENCIA DO DO ROTOR
FR=(1-RN)*60
C
WRITE(W,130)RS,RR,LS,LR,LM,FR
FORMAT(///,T48,'*** PARAMETROS DA MAQUINA ***',//,T48,'RESIST. DO
*STATOR =',IX,F10.4,/,T48,'RESIST. DO ROTOR =',IX,F10.4,/,T48,'IND
*UTANCIA CICLICA DO ESTATOR =',IX,F10.4,/,T48,'INDUTANCIA CICLICA
* DO ROTOR =',IX,F10.4,/,T48,'INDUTANCIA CICLICA MUTUA =',IX,F10.4,/,
* T48,'FREQUENCIA DO ROTOR (FR) EM HZ =',IX,F10.4)
C
WRITE(W,140)
FORMAT(//,T52,'*** MATRIZ A ***')
DO 300 I=1,N
WRITE(W,150)(A(I,J),J=1,N)
FORMAT(T44,3F10.4,/)
WRITE(W,160)
FORMAT(//,T52,'*** MATRIZ B ***')
DO 400 I=1,N
WRITE(W,150)B(I)
WRITE(W,170)IAL,AMP,PER,DEF
FORMAT(//,T41,'*** DADOS DA TENSAO DE ALIMENTACAO ***',//,T45,'FLAS
* G DE ESCOLHA DA TENSAO DE ALIMENTACAO =',IX,I1,/,T45,'AMPLITUDE
* TENSAO DE ALIMENTACAO =',IX,F10.4,/,T45,'PERICDO OU FREQUENCIA
* GULAR =',IX,E11.4,/,T45,'DEFASAGEM =',IX,F10.4,/)
C
C CHAMADA A ROTINA DE INTEGRACAO NUMERICA
C
H2=FLGAT(H1)
H3=DBLE(H2)
SPEC=H*H1
CALL SIAM4(H,SPEC,IO,IF,TINT)
C
C IMPRESSAO DA TABELA
C
H1=H*H2
T=TINT-H1
IA=(1TF-TINT)/(H*H1)+1
WRITE(W,500)
FORMAT(//,18X,'*** IMPRESSAO DA TABELA ***',//)
DO 510 I=1,IA
T=T+HI

```



```

510 WRITE(W,520)I,(J,X(J,I),J=1,NM)
520 FORMAT(3X,'TEMPO =',1X,F9.4,5(3X,'X(',12,') =',1X,F10.4),/)
C
C IMPRESSAO DAS CURVAS
C
530 DO 530 I=1,NM
ICURV(I)=0
DO 540 I=1,NM
ICURV(I)=1
CALL PLOTER(TINT,TF,HI,CONT,ICURV,W,SPEC)
ICURV(I)=0
540 CONTINUE
STOP
END
SUBROUTINE MONTA
COMMON/MON/RS,RR,LS,LR,LM,RN,F
COMMON/GER/A,B,AMP,DEF,PER
DOUBLE PRECISION PER
DIMENSION A(3,3),B(3)
INTEGER F
REAL LS,LR,LM
PI=3.1415927
OMEGA=2*PI*F
XR=OMEGA*LR
XMSR=OMEGA*LM
SIGMA=LR*LS-LM*LM
A(1,1)=-1/RS*LR/SIGMA
A(1,2)=(LM*RR)/SIGMA
A(1,3)=(RN*XR*LM)/SIGMA
A(2,1)=(LM*RS)/SIGMA
A(2,2)=-1/LS*RR/SIGMA
A(2,3)=-1/LS*RN*XR/SIGMA
A(3,1)=1/RN*XMSR/LR
A(3,2)=1/RN*XR/LR
A(3,3)=-RR/LR
B(1)=LR/SIGMA
B(2)=-LM/SIGMA
B(3)=0.
RETURN
END
SUBROUTINE SIAM4(CI,SPEC,II,TF,TINT)
COMMON/CAD/N,NM,IAL,X
COMMON/ENT/U
DIMENSION X(15,20),DER1(3),DER2(3),DER3(3),ELE1(3),ELE2(3)
DOUBLE PRECISION II,TF,SPEC,CI,DER1,DER2,DER3,ELE1,ELE2
DOUBLE PRECISION TEMP,SILVAR,VAR,CUVAR,DER,H,TO,U,DEL
DOUBLE PRECISION DELP,DELT,DH,DOUB,TINT,MULT
DIMENSION TEMP(3),SILVAR(4),VAR(4),CUVAR(4),DER(4)
MULT=1.0D0
VAR(1)=TI
DO 1 I=1,N
DER1(I)=0.0D0
DER2(I)=0.0D0
DER3(I)=0.0D0
VAR(I+1)=DBLE(X(I,I))

```

0
C
C

11)

```

SIM02120
SIM02130
SIM02140
SIM02150
SIM02160
SIM02170
SIM02180
SIM02190
SIM02200
SIM02210
SIM02220
SIM02230
SIM02240
SIM02250
SIM02260
SIM02270
SIM02280
SIM02290
SIM02300
SIM02310
SIM02320
SIM02330
SIM02340
SIM02350
SIM02360
SIM02370
SIM02380
SIM02390
SIM02400
SIM02410
SIM02420
SIM02430
SIM02440
SIM02450
SIM02460
SIM02470
SIM02480
SIM02490
SIM02500
SIM02510
SIM02520
SIM02530
SIM02540
SIM02550
SIM02560
SIM02570
SIM02580
SIM02590
SIM02600
SIM02610
SIM02620
SIM02630
SIM02640
SIM02650
SIM02660

N1=N+1
N2=N+2
IJ=1
II=0
2 T=0.00
  IF(I)6,6,17
C GUARDAR CI
C
C H=CI
6 T0=VAR(I)
  MODE=1
  II=1
  DO 7 J=1,N1
    CUVAR(J)=VAR{J}
  CONTINUE
C
C SECAO DE CALCULO
C
8 CALL DERSUB(CUVAR,DER,MULT)
  IF(MODE-LE.1)GO TO 2
  DO 10 J=1,N1
    VAR(J)=CUVAR(J)
  GO TO 14
10 VAR(J)=CUVAR(J)
11 IF(VAR(1)-LT.TINT)GO TO 30
  IJ=IJ+1
  DO 13 I=1,N
    X(I,IJ)=VAR(I+1)
  X(N,IJ)=U
  X(N2,IJ)=-0.6236*X(1,IJ)*X(3,IJ)
C
C TESTE SE T = TF
C
30 IF(VAR(1)-LT.TF)GO102
  RETURN
14 IF(SPEC)15,11,15
15 DEL=VAR(1)-T0
  DELP=DEL*(1.+CI/10.)
  IF(DABS(DEL)-DABS(SPEC))17,16,16
16 T0=VAR(1)
  GO1011
17 II=1
  IF(MODE-4)18,26,26
C
C RUNGE-KUTTA
C
18 DO19J=2,N1
  DER3(J-1)=DER2(J-1)
  DER2(J-1)=DER1(J-1)
  DER1(J-1)=DER(J)
  ELE1(J-1)=DER(J)
  CUVAR(J)=T
  DELT=0.400*ELE1(J-1)*H
  SIVAR(J)=VAR(J)
  CUVAR(J)=SIVAR(J)+DELT

```

```

19 CONTINUE
   SIVAR(1)=VAR(1)
   CUVAR(1)=SIVAR(1)+0.4D0*H
   CALLDERSUB(CUVAR,DER,MULT)
   CUVAR(1)=SIVAR(1)+C.45573725421879D0*H
   D021J=2,N1
   ELE2(J-1)=DER(J)
   DELT=(0.29697760924775D0*ELE1(J-1)+0.15875964497104D0*ELE2(J-1))*HSIM02740
   CUVAR(J)=VAR(J)+DELT
21 CONTINUE
   CALLDERSUB(CUVAR,DER,MULT)
   CUVAR(1)=SIVAR(1)+H
   D023J=2,N1
   TEMP(J-1)=DER(J)
   DELT=(0.21810038822592D0*ELE1(J-1)-3.0509651486929D0*ELE2(J-1)+
13.832864760467D0C*TEMP(J-1))*H
   CUVAR(J)=SIVAR(J)+DELT
23 CONTINUE
   CALLDERSUB(CUVAR,DER,MULT)
   DH=H
   CUVAR(1)=VAR(1)+DH
   G025J=2,N1
   DOUB=(0.17476028226269D0*ELE1(J-1)-0.55148066287873D0*ELE2(J-1)+
11.2055355993965D0*TEMP(J-1)+0.17118478121952D0*DER(J))
25 CONTINUE
   MODE=MODE+1
   G0T08
C ADAMS-MOULTON
C ADAMS-BASHFORTH PREDITOR
26 CUVAR(1)=VAR(1)+H
   DH=H/24.D0
   D027J=2,N1
   DOUB=(55.0D0*DER(J)-59.0D0*DER1(J-1)+37.0D0*DER2(J-1)
*-9.0D0*DER3(J-1))
   CUVAR(J)=VAR(J)+CH*DOUB
27 CONTINUE
   D028J=1,N
   DER3(J)=DER2(J)
   DER2(J)=DER1(J)
   DER1(J)=DER(J+1)
   CALLDERSUB(CUVAR,DER,MULT)
C ADAMS-MOULTON CORRETOR
C
   D029J=2,N1
   TEMP(1)=CUVAR(J)
   DOUB=(9.0D0*DER(J)+19.0D0*DER1(J-1)-5.0D0*DER2(J-1)+DER3(J-1))
   CUVAR(J)=VAR(J)+CH*DOUB
29 CONTINUE
   G0T08
   END
   SUBROUTINE DERSUB(CUVAR,DER,MULT)
   COMMON/DAD/N,NM,IAL,X
SIM02670
SIM02680
SIM02690
SIM02700
SIM02710
SIM02720
SIM02730
SIM02740
SIM02750
SIM02760
SIM02770
SIM02780
SIM02790
SIM02800
SIM02810
SIM02820
SIM02830
SIM02840
SIM02850
SIM02860
SIM02870
SIM02880
SIM02890
SIM02900
SIM02910
SIM02920
SIM02930
SIM02940
SIM02950
SIM02960
SIM02970
SIM02980
SIM02990
SIM03000
SIM03010
SIM03020
SIM03030
SIM03040
SIM03050
SIM03060
SIM03070
SIM03080
SIM03090
SIM03100
SIM03110
SIM03120
SIM03130
SIM03140
SIM03150
SIM03160
SIM03170
SIM03180
SIM03190
SIM03200
SIM03210

```

```

COMMON/GER/A,B,AMP,DEF,PER
COMMON/ENT/U
DIMENSION A(3,3),B(3),X(5,201)
DIMENSION CUVAR(4),DER(4)
DOUBLE PRECISION DER,CUVAR,TEP,U,PER,MULT
DO 50 I=1,N
DER(I+1)=0.00
DO 10 J=1,N
DER(I+1)=DER(I+1)+DBLE(A(I,J))*CUVAR(J+1)
C
C
C ALIMENTACAO
IF(IAL.EQ.1)GO TO 30
TEP=0.500*MULT*PER
IF(CUVAR(1).LE.TEP)GOTO20
MULT=MULT+1.000
AMP=-AMP
U=DBLE(AMP)
GO TO 40
30 U1=AMP*DSIN(PER*CUVAR(1)+DEF)
U=DBLE(U1)
DER(I+1)=DER(I+1)+DBLE(8(I))*U
40 CONTINUE
50 RETURN
END
SUBROUTINE PLOTTER(XI,XF,HI,CONT,ICURV,W,DELTA)
COMMON/DAD/KN,NC,KIAL,FUN
DIMENSION FUN(5,201),CONT(5,5),ICURV(5)
DOUBLE PRECISION XI,XF,HI,DELTA
INTEGER A(10),M
INTEGERRAN,PT,TV,II,SIG(5),AST
DATABRAN,PT,TV,II/
DATASIG/1,2,3,4,5/
NZ=0
C
C FAZ CONSISTENCIA DOS DADOS
C
C IF((XI+XF+DELTA).NE.00)GOTO2
WRITE(W,1)
FORMAT(18X,'FALTAM DADOS DOS LIMITES DE X NCS PARAMETROS DA PLOTTER',
1,/)
RETURN
C
C GERACAO DO NUMERO DE PONTOS A SEREM PLOTADOS
C
2 NL=((XF-XI)/DELTA+1)
XIS=XI
C
C PESCUISA OS VALORES DE MAXIMO E MINIMO DA FUNCAO
C
XMA=0.
XMI=0.
DO 20 N=1,NC
IF(ICURV(N).EQ.0)GOTO20
DO420N=1,NL

```

SIM03220
SIM03230
SIM03240
SIM03250
SIM03260
SIM03270
SIM03280
SIM03290
SIM03300
SIM03310
SIM03320
SIM03330
SIM03340
SIM03360
SIM03380
SIM03390
SIM03400
SIM03410
SIM03430
SIM03450
SIM03460
SIM03470
SIM03480
SIM03490
SIM03500
SIM03510
SIM03520
SIM03530
SIM03540
SIM03550
SIM03560
SIM03570
SIM03580
SIM03590
SIM03600
SIM03610
SIM03620
SIM03630
SIM03640
SIM03650
SIM03660
SIM03670
SIM03680
SIM03690
SIM03700
SIM03710
SIM03720
SIM03730
SIM03740
SIM03750
SIM03760
SIM03770
SIM03780
SIM03790

```

AAA=FUN(N,M)
IF(AAA.GT.XMA)XMA=FUN(N,M)
IF(AAA.LT.XMI)XMI=FUN(N,M)
CONTINUE
20 CONTINUE
XMULT=(XMA-XMI)/108
IF(XMULT.EQ.0.)RETURN
C POSICAO DO EIXO X=0
C
C IA=-XMI/XMULT+2
C IMPRESSAO DA ESCALA DE Y
C
WRITE(W,95)
95 FORMAT(T11,'ORDENADA',/,T11,'+',,108(' ',+))
CX=(XMA-XMI)/5
T2=XMI+DX
T3=XMI+2*DX
T4=XMI+3*DX
T5=XMI+4*DX
IF(DX.LT.0.001.OR.ABS(XMI).GE.1.E6)GOTO54
IF(DX.LT.0.001.OR.ABS(XMA).GE.1.E6)GOTO54
WRITE(W,53)XMI,T2,T3,T4,T5,XMA
53 FORMAT(T11,'-',F11.3,T24,F11.3,T47,F11.3,T91,F11.3,T109,
SIMO3800
SIMO3810
SIMO3820
SIMO3830
SIMO3840
SIMO3850
SIMO3860
SIMO3870
SIMO3880
SIMO3890
SIMO3900
SIMO3910
SIMO3920
SIMO3930
SIMO3940
SIMO3950
SIMO3960
SIMO3970
SIMO3980
SIMO3990
SIMO4000
SIMO4010
SIMO4020
SIMO4030
SIMO4040
SIMO4050
SIMO4060
SIMO4070
SIMO4080
SIMO4090
SIMO4100
SIMO4110
SIMO4120
SIMO4130
SIMO4140
SIMO4150
SIMO4160
SIMO4170
SIMO4180
SIMO4190
SIMO4200
SIMO4210
SIMO4220
SIMO4230
SIMO4240
SIMO4250
SIMO4260
SIMO4270
SIMO4280
SIMO4290
SIMO4300
SIMO4310
SIMO4320
SIMO4330
SIMO4340
GOTO56
54 WRITE(W,55)XMI,T2,T3,T4,T5,XMA
55 FORMAT(T11,'-',E11.4,T24,E11.4,T47,E11.4,T69,E11.4,T91,E11.4,T109,
E11.4,'-',)
56 WRITE(W,57)
57 FORMAT(1X,'ABSCISSA',T11,'+',,21(' ',+),,V',3(21(' ',+),,V'),20(' ',+),,
1')
C DETERMINA O TAMANHO DAS QUADRICULAS
C
IKH=11
IKV=7
C FORMACAO E IMPRESSAO DAS CURVAS
C
DO90M=1,NL
D059N=1,110
A(N)=BRAN
NZ=NZ+1
IF(NZ-IKV)70,60,70
D062N=1,110,2
A(N)=PT
NZ=0
GOTO73
70 D072N=1,110,IKH
72 A(N)=PT
73 A(I)=TV
A(110)=TV
A(IA)=II

```

```

C
C DETERMINA NOVOS PONTOS DA CURVA JA ENQUADRADOS
C
0075N=1,NC
IF(ICURV(N).EQ.0)GOTO75
LF=IFIX((FUN(N,M)-XMI)/XMULT+2)
A(LF)=SIG(N)
CONTINUE
75
C
C IMPRESSAG DA CURVA
C
WRITE(W,83)XIS,A
FORMAT(IX,F9.3,Y11,110A1)
XIS=XIS+DELTA
CONTINUE
90
C
C IMPRIME FINAL
C
WRITE(W,96)
FORMAT(T11,'+',21(' '),'+',3(21(' '),'+'),20(' '),'+')
WRITE(W,98)(SIG(N),(CONT(N,M),M=1,5),N=1,NC)
FORMAT(T11,'-',4(A1,'-',5A4,4X),T120,'-',/,T11,'-',4(A1,'-',5A4,4X),T120,'-',/,T11,'-',4(A1,'-',5A4,4X),T120,'-',/)
25A4,4X),T120,'-',)
WRITE(W,99)
FORMAT(T11,'+',108(' '),'+')
RETURN
END
$ENTRY
3560.CDO 1.000
2
CORRENTE ESTATOR
CORRENTE ROTOR Q
CORRENTE ROTOR Q
TENSAC ALIMENTACAO
TORQUE
0.0 0.0 0.0 0.0 0.0
3.448 3.564 0.3267 0.3267 0.3118 0.0600000
1
244.35 0.
$STOP
/*
//

```

REFERÊNCIAS

- 1 - BARBI, I. - Conversão Eletromecânica de Energia. Publicações internas. UFSC. 1981.
- 2 - DEL TORO, V. - Electromechanical Devices for Energy Conversion and Control Systems, Englewood Cliffs, New Jersey. Prentice-Hall, Inc. 1968 pp. 361/90.
- 3 - JEVONS, M. - Electrical Machine Teory. Glasgow London. Blakie. 1966.